

JAERI-M

7 5 5 2

連立非線形方程式の数値解法プログラム
(S S Lの拡充とベンチマーク・テスト №.6)

1978年3月

朝岡卓見

日本原子力研究所
Japan Atomic Energy Research Institute

この報告書は、日本原子力研究所がJAERI-Mレポートとして、不定期に刊行している研究報告書です。入手、複製などのお問い合わせは、日本原子力研究所技術情報部（茨城県那珂郡東海村）あて、お申しこしください。

JAERI-M reports, issued irregularly, describe the results of research works carried out in JAERI. Inquiries about the availability of reports and their reproduction should be addressed to Division of Technical Information, Japan Atomic Energy Research Institute, Tokai-mura, Naka-gun, Ibaraki-ken, Japan.

連立非線形方程式の数値解法プログラム
(SSL の拡充とベンチマーク・テスト No.6)

日本原子力研究所東海研究所原子炉工学部

朝 岡 卓 見

(1978年1月30日受理)

実変数の非線形実関数の連立方程式の1つの解を、推定値から求める数値解法として、準Newton法と射影法とを概観し、それによる計算プログラムの整備とベンチマーク・テストを実施した。

ヤコビアン行列の微分形を与えないよいルーチンとしては、PowellのNS01A、ヤコビアンが疎な系を対象としたReidのNS03A、及びBrownのNONLINの3つが取り扱われた。これらはいずれも準Newton法を用いているが、この中ではNONLINが最も安定したアルゴリズムをもっており、計算時間も短くて優れている。

ヤコビアンの微分形を与えるルーチンとしては、Boggsのアルゴリズムによる準Newton法のINTECHと、Georg & Kellerによる射影法のPROJA、及びNS03Aの1つのオプション、の3つを取り扱った。この結果、射影法はまだ、最適なアルゴリズムを与えるには研究が必要だが、線形変数のみを別個に扱えるINTECHが、この中では一応計算時間の点でも優れていることが示された。

Computer Programs for Solving Systems of Nonlinear Equations

(Development and Benchmark Test of SSL, No. 6)

Takumi ASAOKA

Division of Reactor Engineering, Tokai Research Establishment, JAERI

(Received January 30, 1978)

Computer programs to find a solution, usually the one closest to some guess, of a system of simultaneous nonlinear equations are provided for real functions of the real arguments. These are based on quasi-Newton methods or projection methods, which are briefly reviewed in the present report. Benchmark tests were performed on these subroutines to grasp their characteristics.

As the program not requiring analytical forms of the derivatives of the Jacobian matrix, we have dealt with NS01A of Powell, NS03A of Reid for a system with the sparse Jacobian and NONLIN of Brown. Of these three subroutines of quasi-Newton methods, NONLIN is shown to be the most useful because of its stable algorithm and short computation time.

On the other hand, as the subroutine for which the derivatives of the Jacobian are to be supplied analytically, we have tested INTECH of a quasi-Newton method based on the Boggs' algorithm, PROJA of Georg & Keller based on the projection method and an option of NS03A. The results have shown that INTECH, treating variables which appear only linearly in the functions separately, takes the shortest computation time, on the whole, while the projection method requires further research to find an optimal algorithm.

Keywords: Nonlinear Simultaneous Equations, Scientific Subroutine Library, Computer Program, Benchmark Test, Quasi-Newton Method, Projection Method, Powell's Algorithm, Reid's Algorithm, Brown's Algorithm, Boggs' Algorithm, Algorithm of Georg & Keller.

総論

ここ数年来、数値解析理論や新しいアルゴリズムばかりでなく、SSL (Scientific Subroutine Library, 科学用サブルーチン・ライブラリー) や、特定の問題により深く関係した数値解析プログラム (例えば、Comp. Phys. Comm.) の発表件数は、膨大なものがある。従ってこれらのルーチンを限なくサーベイし、且つ整備しておくことは不可能であるのは勿論、効率的利用という立場から見ても、労多くして、功少なしの感がある。そこで実用上は、各ルーチンの特徴の分析やベンチマークテスト、"stiff"な問題への使用経験など集約された情報が要求され、これらが充分蓄積された時に、ルーチン相互の位置づけや体系化が可能となる。

我々の研究室では、数値解析の広い分野にわたる、これまでのアルゴリズム調査を土台としてベンチマークテストなどの情報集約と評価を行った。対象としたのは、主に最近発表されたプログラムとアルゴリズムで、先に行つたアルゴリズム調査の延長という形でまとめたので御利用いただきたい。

(西田雄彦、藤村統一郎)

目 次

1. 序 論	1
2. 準Newton法ルーチン	1
3. 射影法(projection method)ルーチン	18
4. ベンチマーク・テストと検討	21
5. 結 論	33
謝 辞	35
参考文献	36
付録1 NS 01Aルーチンとテスト用プログラムのFORTRANリスト	38
付録2 NS 03A ルーチンとテスト用プログラム(HMAX=1)のFORTRANリスト	42
付録3 NS 03A ルーチンのテスト用プログラム(HMAX=0)のFORTRANリスト	53
付録4 NONLIN ルーチンとテスト用プログラムのFORTRANリスト	54
付録5 INTECH ルーチンとテスト用プログラムのFORTRANリスト	57
付録6 PROJA ルーチンのテスト用プログラムのFORTRANリスト	61

CONTENTS

1. Introduction	1
2. Subroutines of Quasi-Newton Methods	1
3. Subroutines of Projection Methods	18
4. Benchmark Tests and Discussions	21
5. Conclusions	33
Acknowledgments	35
References	36
Appendix 1 FORTRAN Lists of NS01A Subroutine and its Test Program	38
Appendix 2 FORTRAN Lists of NS03A Subroutine and its Test Program for HMAX=1	42
Appendix 3 FORTRAN List of Test Program for HMAX=0 of NS03A Subroutine	53
Appendix 4 FORTRAN Lists of NONLIN Subroutine and its Test Program	54
Appendix 5 FORTRAN Lists of INTECH Subroutine and its Test Program	57
Appendix 6 FORTRAN List of Test Program for PROJA Subroutine .	61

1. 序 論

代数方程式、超越方程式の数値解法のうち、高次代数方程式、すなわち多項式のすべての根を求めるための、逆補間法、Newton-Raphson法、Bairstow法、Jarrat法によるサブルーチンについて、すでに報告がまとめられている。¹⁾また、線形代数方程式、すなわち連立一次方程式を解くプログラムについても、別途まとめられているので、本報では連立非線形方程式の数値解法プログラムについて述べる。

連立非線形方程式

$$f_j(x_1, x_2, \dots, x_n) = 0, \quad j = 1 \sim n \quad (1)$$

の解を求める問題にはしばしば遭遇する。本報では実変数 x の実関数 f のみを扱うこととする。

(1)式はベクトル的に書くと

$$\underline{f}(\underline{x}) = 0 \quad (2)$$

となるが、1変数の1つの関数に対しても、前報でみたように、必ずしもすべての解を見付ける手法が確立されているとはいえない。連立方程式の際には、1つの推定値から出発して、1つの解を求めるのが精一杯の現状である。一般に解法としては、近似解の近くで(2)式を線形方程式で近似することにより、次の近似解を求める反復法が有用である。前報で述べたNewton-Raphson法は、まさにその典型的な手法であるが、これを実用に適するよう改良した準Newton法による数値解法ルーチンをまず次章で述べる。次いで第3章で連立一次方程式の一解法である射影法を非線形系へ適用したルーチンについて述べ、第4章でこれらサブルーチンのベンチマーク・テスト結果の検討を行う。付録には、これらプログラムのFORTRANリストを、テスト用の簡単な例題と共に示しておいた。

2. 準Newton法ルーチン

Newton法は一般に(2)式に対して以下のように書ける。

$$\underline{x}_{i+1} = \underline{x}_i - \underline{A}_i^{-1} \underline{f}(\underline{x}_i) \quad (3)$$

ここで \underline{A}_i は i 番目の反復近似解 \underline{x}_i でのヤコビアン行列 $\partial f_j / \partial x_k$ である。この実用上の問題は \underline{A}_i の計算である。たとえこの偏微分が解析的に求められても n^2 回の計算は大変で、数値的に求める際にはベクトル関数 \underline{f} を、独立変数の少くとも $(n+1)$ セットに対して計算しなければならない。もう1つの問題は、反復のための良い初期値を見付けることがしばしばむづかしく、そのため収束しなくなることである。

この改良として、ヤコビアン行列は各反復ステップでなく、2~3回毎に計算するとか、1度

1. 序論

代数方程式、超越方程式の数値解法のうち、高次代数方程式、すなわち多項式のすべての根を求めるための、逆補間法、Newton-Raphson法、Bairstow法、Jarrat法によるサブルーチンについて、すでに報告がまとめられている。¹⁾また、線形代数方程式、すなわち連立一次方程式を解くプログラムについても、別途まとめられているので、本報では連立非線形方程式の数値解法プログラムについて述べる。

連立非線形方程式

$$f_j(x_1, x_2, \dots, x_n) = 0, \quad j = 1 \sim n \quad (1)$$

の解を求める問題にはしばしば遭遇する。本報では実変数 x の実関数 f のみを扱うこととする。

(1)式はベクトル的に書くと

$$\underline{f}(\underline{x}) = 0 \quad (2)$$

となるが、1変数の1つの関数に対しても、前報でみたように、必ずしもすべての解を見付ける手法が確立されているとはいえない。連立方程式の際には、1つの推定値から出発して、1つの解を求めるのが精一杯の現状である。一般に解法としては、近似解の近くで(2)式を線形方程式で近似することにより、次の近似解を求める反復法が有用である。前報で述べたNewton-Raphson法は、まさにその典型的な手法であるが、これを実用に適するように改良した準Newton法による数値解法ルーチンをまず次章で述べる。次いで第3章で連立一次方程式の一解法である射影法を非線形系へ適用したルーチンについて述べ、第4章でこれらサブルーチンのベンチマーク・テスト結果の検討を行う。付録には、これらプログラムのFORTRANリストを、テスト用の簡単な例題と共に示しておいた。

2. 準Newton法ルーチン

Newton法は一般に(2)式に対して以下のように書ける。

$$\underline{x}_{i+1} = \underline{x}_i - \underline{A}_i^{-1} \underline{f}(\underline{x}_i) \quad (3)$$

ここで \underline{A}_i は i 番目の反復近似解 \underline{x}_i でのヤコビアン行列 $\partial f_j / \partial x_k$ である。この実用上の問題は \underline{A}_i の計算である。たとえこの偏微分が解析的に求められても n^2 回の計算は大変で、数値的に求める際にはベクトル関数 \underline{f} を、独立変数の少くとも $(n+1)$ セットに対して計算しなければならない。もう1つの問題は、反復のための良い初期値を見付けることがしばしばむづかしく、そのため収束しなくなることである。

この改良として、ヤコビアン行列は各反復ステップでなく、2~3回毎に計算するとか、1度

だけしか計算しないなどの方法が考えられる。Barnesは、ヤコビアンの近似値とこれに対する補正を、各繰り返しステップで関数値を計算した後に行うアルゴリズムを発表している。すなわち、³⁾

$$\begin{aligned}\underline{x}_{i+1} &= \underline{x}_i + \delta \underline{x}_i, \quad \delta \underline{x}_i = -\underline{B}_i^{-1} \underline{f}(\underline{x}_i), \\ \underline{B}_{i+1} &= \underline{B}_i + \underline{f}(\underline{x}_{i+1}) \underline{u}_i^T / [\underline{u}_i^T \delta \underline{x}_i]\end{aligned}\quad (4)$$

とし、これによりヤコビアンが以下の式を満足するようにしている。

$$\underline{f}(\underline{x}_{i+1}) = \underline{f}(\underline{x}_i) + \underline{B}_{i+1} \delta \underline{x}_i \quad (5)$$

\underline{u}_i は、線形系に対しては \underline{x}_{n+2} が解となるように、 $i \geq n$ ならばその前の $n+1$ ステップの $\delta \underline{x}_{i-n+1} \sim \delta \underline{x}_{i-1}$ と直交するように、 $i < n$ ならば $\delta \underline{x}_1 \sim \delta \underline{x}_{i-1}$ に直交するように選んでいる。すなわち(4)式より

$$\underline{B}_{i+1} \delta \underline{x}_j = \underline{B}_{j+1} \delta \underline{x}_j, \quad 1 \leq i-j < n \quad (6)$$

あるいは、 $i \geq n$ に対しては

$$\underline{B}_i \delta \underline{x}_{i-j} = \underline{f}(\underline{x}_{i-j+1}) - \underline{f}(\underline{x}_{i-j}), \quad j = 1 \sim n \quad (7)$$

(7)式は \underline{B}_i が $(n+1)$ 番目の \underline{x} と \underline{f} で定義される線形系 $\underline{f}(\underline{x}) = \underline{A}' \underline{x} - \underline{b}$ の A' の値になっていること、及びこの方法が一般化された secant 法になっていることを示している。

収束については、Newton-Raphson 法が 2 位の速さであるに対し、解を α とすると

$$|\underline{x}_{i+n+1} - \alpha| = c |\underline{x}_i - \alpha| \cdot |\underline{x}_{n+i} - \alpha| \quad (8)$$

である。

同様な方法として、Broyden は、ヤコビアンの逆行列の近似値への補正を \underline{f} から求めていく方法を提案している。すなわち Newton 法のアルゴリズム(3)を

$$\underline{x}_{i+1} = \underline{x}_i + t_i \underline{p}_i, \quad \underline{p}_i = -\underline{B}_i^{-1} \underline{f}(\underline{x}_i) \quad (9)$$

とし、発散を防ぐように選ばれる因子 t_i を導入している。 \underline{x} を t のみの関数と考えれば $d\underline{f}/dt = \underline{A} \underline{p}_i$ となるので、 \underline{f} の Taylor 展開の第 1 項を用いると、 \underline{A} の近似は

$$\underline{f}(t_i) - \underline{f}(t_i - s_i) = s_i \underline{B}_{i+1} \underline{p}_i \quad (10)$$

従って(9)の第 1 式の反復は以下と組み合わされる。

$$\begin{aligned}\underline{H}_{i+1} \underline{u}_i &= s_i \underline{p}_i, \quad \underline{p}_i = -\underline{H}_i \underline{f}(\underline{x}_i), \\ \underline{H}_i &= \underline{B}_i^{-1}, \quad \underline{u}_i = \underline{f}(t_i) - \underline{f}(t_i - s_i)\end{aligned}\quad (11)$$

(9)の第 1 式より、 $\underline{f}(t_i) = \underline{f}(\underline{x}_{i+1})$ 、又 $s_i = t_i$ (殆んどすべての場合にこのように選ばれる) で $\underline{f}(t_i - s_i) = \underline{f}(\underline{x}_i)$ なので、(11)式のように反復ステップ毎に \underline{H}_i は変るが、 $\underline{f}(\underline{x})$ の計算は特別には不要である。 $s_i = t_i$ と選ぶと、 \underline{H}_{i+1} は以下のように書ける。⁵⁾

$$\underline{H}_{i+1} = \underline{H}_i - \underline{H}_i \underline{u}_i \underline{v}_i^T + \underline{p}_i t_i \underline{q}_i^T, \\ \underline{q}_i^T \underline{u}_i = \underline{v}_i^T \underline{u}_i = 1 \quad (12)$$

結局アルゴリズムとしては、①解の近似 \underline{x}_0 を求める。② \underline{x}_0 でのヤコビアンを数値的にでも求め、これの逆行列として \underline{H}_0 を求める。③ $\underline{f}(\underline{x}_i)$ を計算。④ $\underline{p}_i = -\underline{H}_i \underline{f}(\underline{x}_i)$ を計算。⑤ $\underline{x}_{i+1} = \underline{x}_i + t_i \underline{p}_i$ のとき \underline{f} のユーリード・ノルムが $|\underline{f}(\underline{x}_{i+1})| < |\underline{f}(\underline{x}_i)|$ をみたすように t_i を選ぶ。⑥ $|\underline{f}(\underline{x}_{i+1})|$ が収束しているかテストし、⑦ 収束していなければ $\underline{u}_i = \underline{f}(\underline{x}_{i+1}) - \underline{f}(\underline{x}_i)$ を計算。

$$\underline{H}_{i+1} = \underline{H}_i - (\underline{H}_i \underline{u}_i - \underline{p}_i t_i) \underline{p}_i^T \underline{H}_i / (\underline{p}_i^T \underline{H}_i \underline{u}_i) \quad (13)$$

を計算。⑨ステップ④以後を繰返す。しかし t_i を⑤のようにえらぶと収束を妨げる場合があり、むしろ良い \underline{x}_0 と \underline{H}_0 が与えられていれば、 $t_i = 1$ とおく方がよい。

Shampine & Gordon は、 $t_i = 1$ とした(13)式によりヤコビアンの逆行列の近似値を補正していくプログラム QN を開発しているが、プログラムは公開されていないようである。なお、(9)式に基づく一解法の FORTRAN プログラムは、最近 McCue により発表されていることを付言しておこう。

Broyden の(9)式の考えを更に進めたのが Powell⁹⁾ である。非線形代数方程式を扱っているが、Newton 法はむしろ \underline{x}_i に対する補正方向 \underline{p}_i を求めるのに用い、

$$|\underline{f}(\underline{x}_i + t \delta \underline{x}_i)| < |\underline{f}(\underline{x}_i)|, \quad (14)$$

$$|\underline{f}| = \sum_{j=1}^n (f_j)^2.$$

となるようにパラメーター t を決めている。しかしこの Haselgrove 法は、ヤコビアンが特異 (singular) のときは使えないもので、(9)式を最小自乗形式にし、

$$\underline{B}_i^T \underline{B}_i \delta \underline{x}_i = -\underline{B}_i^T \underline{f}(\underline{x}_i) \quad (15)$$

これより単位マトリックス I を用いて

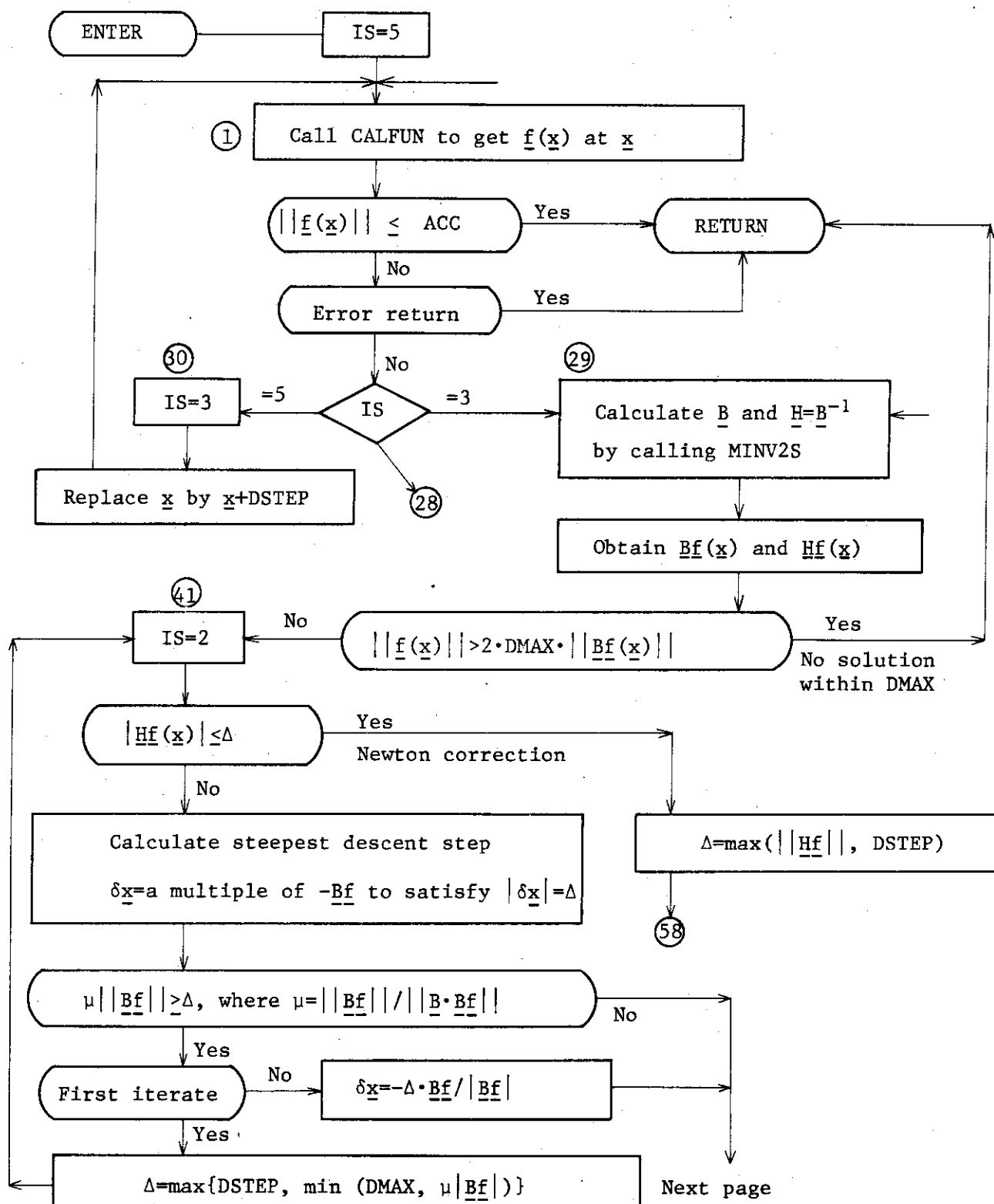
$$[t^* I + \underline{B}_i^T \underline{B}_i] \delta \underline{x}_i^* = -\underline{B}_i^T \underline{f}(\underline{x}_i) \quad (16)$$

により、パラメーター t^* を変えて

$$|\underline{f}(\underline{x}_i + \delta \underline{x}_i^*)| < |\underline{f}(\underline{x}_i)| \quad (17)$$

としている。この Levenberg/Marquardt 法は、 $|\underline{f}|$ の停留点以外は使える。それ故、この方法は $|\underline{f}|$ の最急降下の方向にステップをとる考え方になっているが、収束点が果して $|\underline{f}|$ の大域的最小になっているかは分らない。なおヤコビアン行列の扱いは Broyden⁴⁾⁵⁾ に基づいて効率良くしている。FORTRAN プログラム・リストと、その詳細な説明も付けられているので、我々はこの NS01A ルーチンを整備した。

このプログラム中の計算の流れを Fig. 1 に示したが、その第 1 ページの中央付近で $\underline{H} \underline{f}(\underline{x}) = \underline{B}^{-1} \underline{f}(\underline{x})$ の絶対値が Δ より小さければ Newton 法を用い、そうでなければ最急降下の方向に $\delta \underline{x}$

Fig. 1 Flow diagram of NS01A to solve $f(\underline{x})=0$ from an estimate of \underline{x}

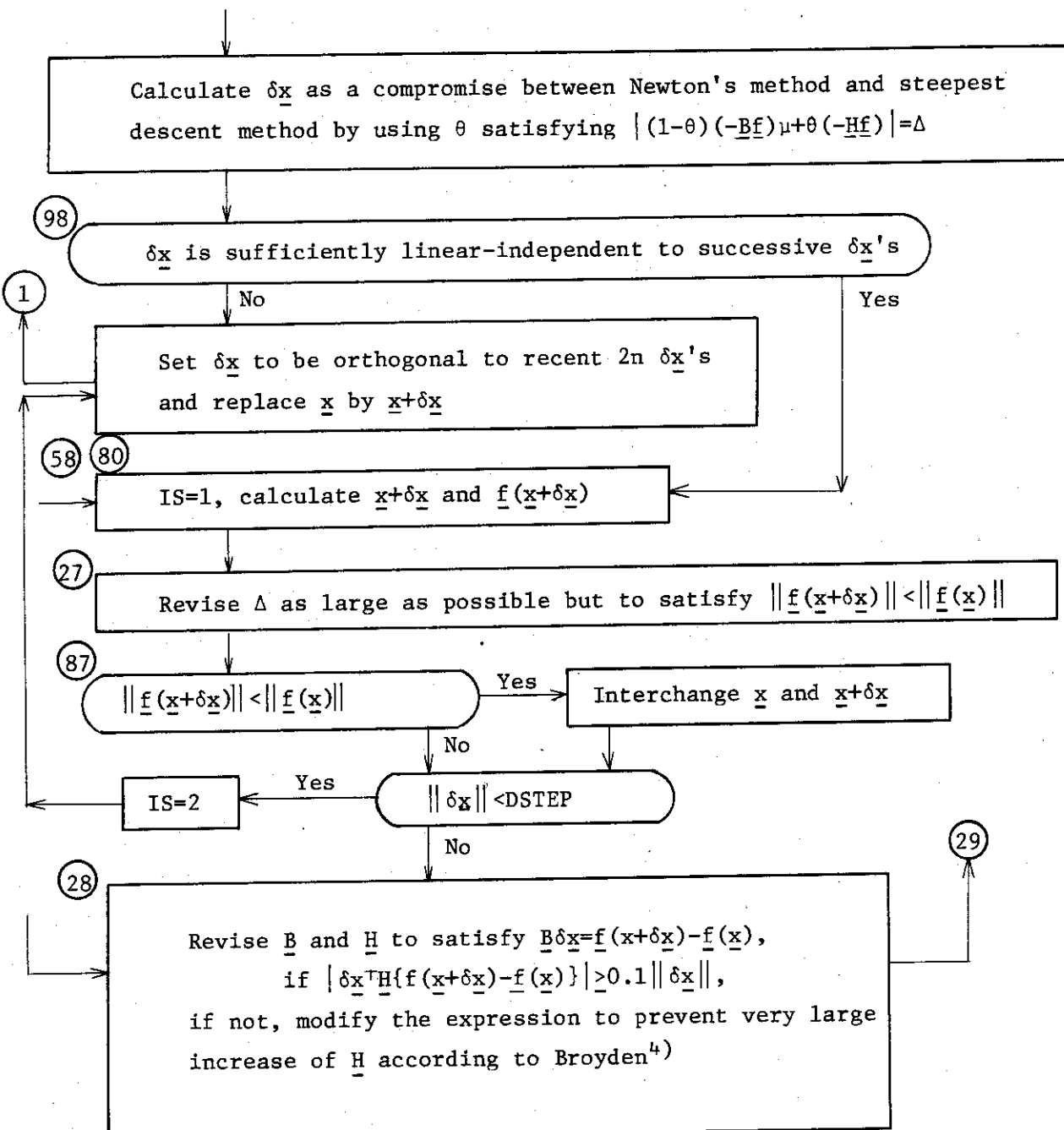


Fig. 1 (Continued)

をとっている。ここで A は、常に(17)式が成立するように、Fig. 1 の第 1 ページ下部で選ばれている。なおヤコビアンは 2 ページ目の下方で、(5)式を満足するように B 及び H を Broyden のアルゴリズムに従って補正している。⁴⁾ このルーチン NS01A の FORTRAN プログラム・リストを、テスト用のメイン・プログラム、及び関数値を求める CALFUN ルーチンと共に付録 1 に示した。

この NS01A の呼び出しが以下によりなされる。

CALL NS01A(N, X, F, AJINV, DSTEP, DMAX, ACC, MAXFUN, IPRINT, W)

ここで N は方程式の数 $n (> 1)$ であり、 X は大きさ N の 1 次元配列で、解の推定値が入力され、計算結果の解が出力される。DSTEP(付録 1 のメイン・プログラムでは STEP) は関数値から 1 階微分の近似値を求めるために使われる十分小さいステップで以下のように用いられる。

$$\frac{\partial f_1(\underline{x})}{\partial x_i} = [f_1(x_1 + DSTEP, x_2, \dots, x_n) - f_1(\underline{x})] / DSTEP \quad (18)$$

DSTEP はすべての変数に共通して使われる。DMAX は解の推定値と真値との間のユークリッド空間での推定距離で、各反復での $\delta \underline{x}$ の上限として用いられると共に、 $f(\underline{x})$ の勾配が小さくて DMAX より非常に遠くに解をもっていくようになった時、エラーとしてルーチンから戻るためにも使われている。この過程は Fig. 1 のフロー・チャートの第 1 ページの中央付近に示されている。ACC は解に要求する精度で、(14)式の $\|f\|$ を ACC 以下にするので、 $f_j(\underline{x})$ がすべての j に対して同程度の大きさをもつように scale することが望ましい。MAXFUN は $f_j(\underline{x})$, $j=1 \sim n$, の計算回数による打ち切りに用いられる。一般に $10n$ 回程度の計算が要求されるので、これより大きい値を入力すればよい。IPRINT はプリント出力に関し、0 の際にはエラーメッセージのみ、1 の際には $f(\underline{x})$ の計算毎に \underline{x} と関数値を出力する。F は大きさ N 以上の 1 次元配列で、一般に $f(\underline{x})$ のストアに使われ、AJINV は $N \times N$ の 2 次元配列で、ヤコビアンの逆行列が計算終了時にセットされ、必要に応じ(15)式に従い \underline{x} の誤差が $-B^{-1}f(\underline{x})$ によって計算できるようになっている。W は $n(2n+5)$ の大きさの 1 次元配列の作業領域で、計算終了時にはヤコビアンの値が最初の n^2 にセットされる。なお $f(\underline{x})$ の形は、付録 1 の例のように CALFUN(N, X, F) で定義されなくてはならない。N, X, F は NS01A と同様で、F(j) に $f_j(\underline{x})$ が与えられる。

なお上述の DSTEP と MAXFUN による計算打ち切りに加え、 $\|f\|$ が連続した $(n+4)$ 回の反復でも減少しない時、及び新しくヤコビアンが計算された後でも減少しない時にもエラーとして NS01A から戻される。逆行列の計算のためには、FACOM SSL の MINV2S(AJINV, KI, N, EPS, ILL) が、付録 1 の NS01A ルーチンの ISN=92 で呼ばれている。入力行列が AJINV(KI, KI) に入れられ、演算後の逆行列が AJINV(N, N) にセットされる。EPS は掃き出し法で解く時の軸の値がこれ以下になると誤差が大きくなるので演算を打ち切るために、単精度なので $10^{-5} \sim 10^{-30}$ が標準値である。ILL は MINV2S から正常に戻った時は 0、入力パラメータのエラーの時 30000、入力行列の絶対値が EPS 以下の時 29000、それ以外の値の時は、軸が EPS 以下になって演算を打ち切った時のスイープアウトの回数である。

この NS01A ルーチンと同様、Marquardt のアルゴリズムで、ヤコビアン行列が疎(sparse)¹²⁾ ときを、Reid は(16)式の右辺を Cholesky 分解し、

$$[t^* I + B_i^T B_i] \delta \underline{x}_i = L_i L_i^T \quad (19)$$

を前進消法及び後退代入法で解いている。 t^* は(17)式の両辺の差と、

$$\underline{f}(\underline{x}_i + \delta \underline{x}_i^*) = \underline{f}(\underline{x}_i) + \underline{B}_i \delta \underline{x}_i^* \quad (20)$$

と線形近似した時の補正

$$t^*(\delta \underline{x}_i^*)^T \delta \underline{x}_i^* - \underline{f}^T(\underline{x}_i) \underline{B}_i \delta \underline{x}_i^* \quad (21)$$

を比較し、この両者の比が 1 に近いときには(20)式の線形近似が成立するので、 t^* を減少して長いステップ $\delta \underline{x}_i^*$ をとり、そうでなければ逆に短いステップをとっている。又ヤコビアンの近似 \underline{B}_i は、求められた $\delta \underline{x}_i^*$ に対して(20)式を満足し、かつ疎の性質が保存されるように、それぞれの行について以下の式により補正を行っている。

$$\begin{aligned} \delta \underline{B}_i &= (\underline{u}_i - \underline{B}_i \delta \underline{x}_i^*)(\delta \underline{x}_i^*)^T / [(\delta \underline{x}_i^*)^T \delta \underline{x}_i^*], \\ \underline{u}_i &= \underline{f}(\underline{x}_i + \delta \underline{x}_i^*) - \underline{f}(\underline{x}_i) \end{aligned} \quad (22)$$

このアルゴリズムによる FORTRAN プログラム・リストと、その詳細な説明も記されているので、これの倍精度ルーチン NS03A の整備も行った。

このルーチンは付録 2 に示したテスト用のメイン・プログラムにみられるように以下により呼び出される。

```
CALL NS03A(QUNC, M, N, X, SAC, STPMIN, MAXFUN, IPRINT, W, IW, IRN,
           IP, A, IRNA, IPA, HMAX)
```

ここで QUNC は原典と異なりダミーとなっており、M は方程式の数、N は変数の数、X は大きさ N の 1 次元配列で、入力としては近似解、出力としては求められた解がセットされる。SAC は $\|\underline{f}\|$ に要求する精度で、 $\|\underline{f}\| \leq \text{SAC}$ となるまで計算がなされる。SAC = 0 の時には、計算の終了は、 \underline{x} に対する要求精度 STPMIN のみによる。 $|\delta \underline{x}| < \text{STPMIN}$ となるまで計算が行われるが、 $|\delta \underline{x}| \leq \text{EPS} * |\underline{x}|$ ($\text{EPS} = 1 \times 10^{-14}$) でもコントロールされるので、STPMIN = 0 とセットしてもよい。MAXFUN は

$$\underline{f}(\underline{x}) = \underline{r}(\underline{x}) + \underline{A}\underline{x} \quad (23)$$

と書いた時の r(x) を定義するサブルーチン FUNC(N, X, F, M, D) と呼ぶ上限回数である。FUNC 中の N, X, M は NS03A と同じで、大きさ M の F には r(x) が付録 2 のようにストアされる。 $\partial r_j / \partial x_k$ が解析的に求められる時 (HMAX(1) = 0) には、付録 3 に示したように 0 でない微分が D の配列にストアされる。

NS03A の引数の IPRINT はプリント出力の制御用で、0 の際はエラー・メッセージのみ、0 でない場合は最初と最後の結果、及びその間の $|IPRINT|$ 每の反復の結果がプリントされる。IPRINT > 0 の際は $\|\underline{f}\|$, $|\underline{x}|$, $|\delta \underline{x}|$, $|\underline{B}^T \underline{f}|$ が、IPRINT < 0 の際には、これに加え、 \underline{x} , \underline{f} , $\underline{B}^T \underline{f}$ も出力される。引数 W は大きさ IW の配列で、 $(3M + N)$ 個の変数、 $\underline{A} \neq \underline{0}$ の時は M 個の変数、 $\partial r_j / \partial r_k$ の 0 でない値、この微分形が与えられていない場合 (HMAX(1) ≠ 0) には $(N + 1)$ 個の変数、及び後述の MA17 ルーチンでの 3 角型の正規行列とそれに付随する整数行列が入

れられる。

IRN と IP は、 $\partial r_j / \partial x_k$ の sparsity の形を与える整数配列で、 0 でない微分を、 まず x_1 による微分、 次に x_2 によるものと並べたとき、 IP(K) が x_k による微分の最初の位置で、 IRN(J) が J 番目の r_j の j を表わしている。IP の配列の大きさは (N+1) で、 IP(N+1) - 1 が 0 でない微分の総数を与える、 これが IRN の配列の大きさになっている。この整数配列は後述の TD02B ルーチンを呼ぶことにより求めることもできる。A は 23 式の A の 0 でない要素 a_{jk} が、 まず $k = 1$ のものから順に入れられる。IRNA と IPA が a_{jk} の sparsity を与える整数配列で、 $\partial r_j / \partial x_k$ に対する IRN, IP と同様に定義されている。A = 0 の時には IPA(1) = 0 とすればよい。HMAX(1) はすでに述べたように、 $\partial r_j / \partial x_k$ が FUNC に定義されている時に 0、 そうでなければ差分による計算の際のステップの上限を入力する。

NS03A での計算が成功裡に終った後、 NS03A の entry を

CALL NS03F(I, V)

により呼ぶことにより、 variance-covariance 行列 (B^T B)⁻¹ を計算することができる。I は行列の列で、 大きさ N の配列 V に値がセットされる。

NS03A ルーチン中の計算の流れは Fig. 2 に示した。これはメイン・サブルーチンで、 Fig. 3 に書かれているように多くの補助サブルーチンを呼んでいる。NS03C, TD02A ルーチン中の計算の流れはそれぞれ Fig. 4 と 5 に示した。一方 MC09A(M, N, A, X, Y, TRANS, IRN, IP) は、 疎行列 A, ベクトル x, y に対して、 TRANS = false の時は Ax + y, true の時は A^T x + y を計算するルーチンである。ここで M が A の行数、 N が列の数で、 A に A の 0 でない要素が、 NS03A の引数 A と同様に入れられる。X には x, Y には y が入り、 計算結果は Y にセットされる。IRN, IP は NS03A の IRNA, IPA と同様に A の sparsity の形を与える配列である。一方 MC02AS(A, B, S, N) は 2 つのベクトル a と b の内積計算ルーチンで、 A に a, B に b が入れられ、 S に結果がセットされる。N は各ベクトルの次元数である。

Fig. 4 にフローチャートを示した NS03C は、 Fig. 3 からも分るように対称正定値疎行列の線形方程式系を解く MA17A ルーチンを呼んでいる。¹³⁾ このルーチンは、 すでに JSSL ¹⁴⁾ に登録されているが、 MA17A が使っている KB10AS(ITAB, INDX, N) は、 大きさ N の ITAB の列を、 ITAB の大きさの順に並べるために新しく作成されたルーチンである。付録 2 のプログラム・リストから分るように、 大きさ N の整数の列 INDX を、 ITAB(INDX) が小さい方から順に並べられるよう、 すなわち、 ITAB 中の I 番目に小さいものが ITAB(INDX(I)) になるように順序付けがなされる。

Fig. 5 に計算の流れを示した TD02A ルーチンは、 23 式の r(x) のヤコビアン行列を、 要素が 0 の値になる位置が分っている状態で有限差分をとって計算するルーチンである。この際の差分のステップは入力で与えられた範囲内で自動的に調整される。この TD02A には、 Fig. 5 にも示されているように 2 つの entry, TD02B, TD02C があるが、 これらはそれぞれ以下により呼び出される。

CALL TD02A(M, N, IRN, IP, QUNC, H, X, Y, F, HMAX, A, IG, W, Z)

CALL TD02B(M, N, IRN, IP, QUNC, H, X, Y, F, W, IA)

CALL TD02C(N, IRN, IP, IA, MBD)

ここで、 M, N, IRN, IP, QUNC は NS03A の引数と同じで、 M がヤコビアンの行数、 N が列の

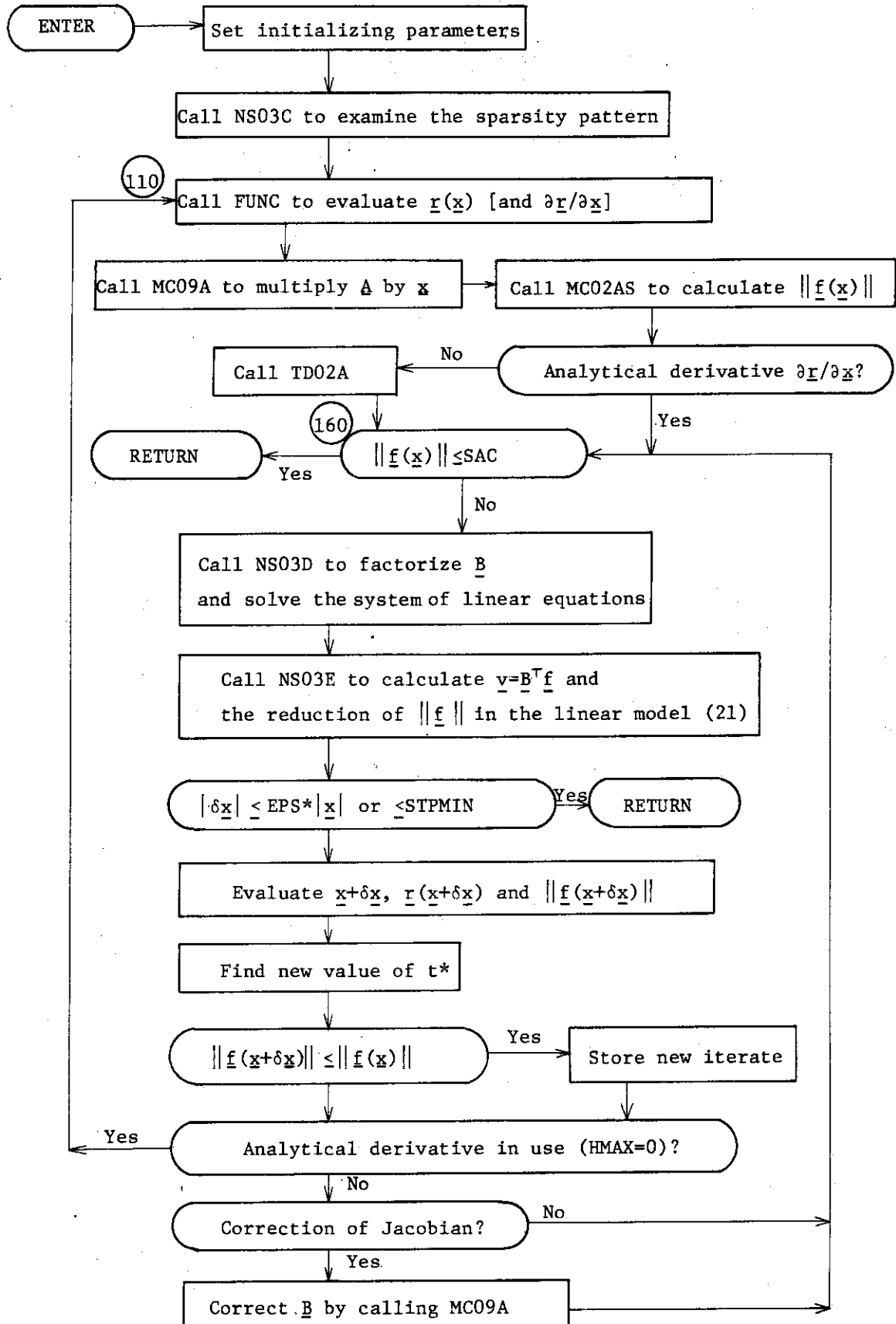


Fig. 2 Flow diagram of NS03A to solve $\underline{f}(\underline{x}) = \underline{r}(\underline{x}) + \underline{A}\underline{x}$ from an estimate of \underline{x} (with the entry NS03F at the end)

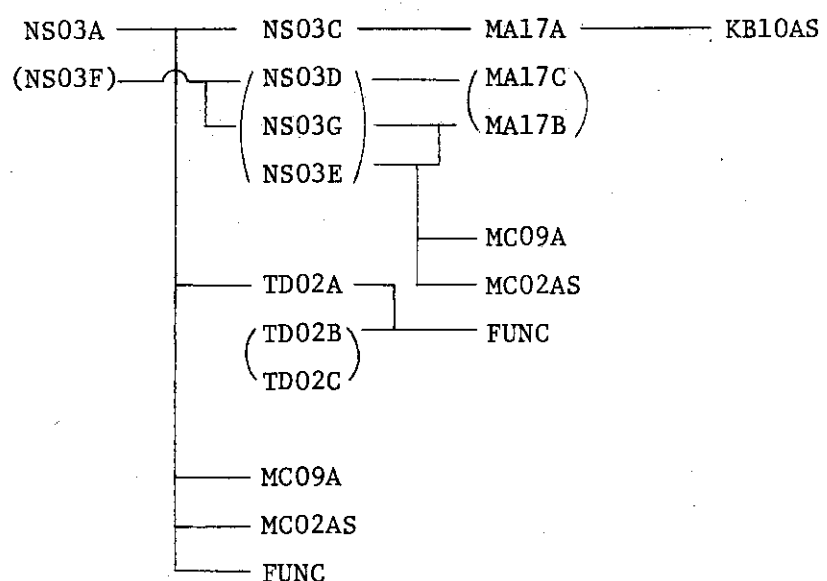


Fig. 3 Hierarchic structure of NS03A

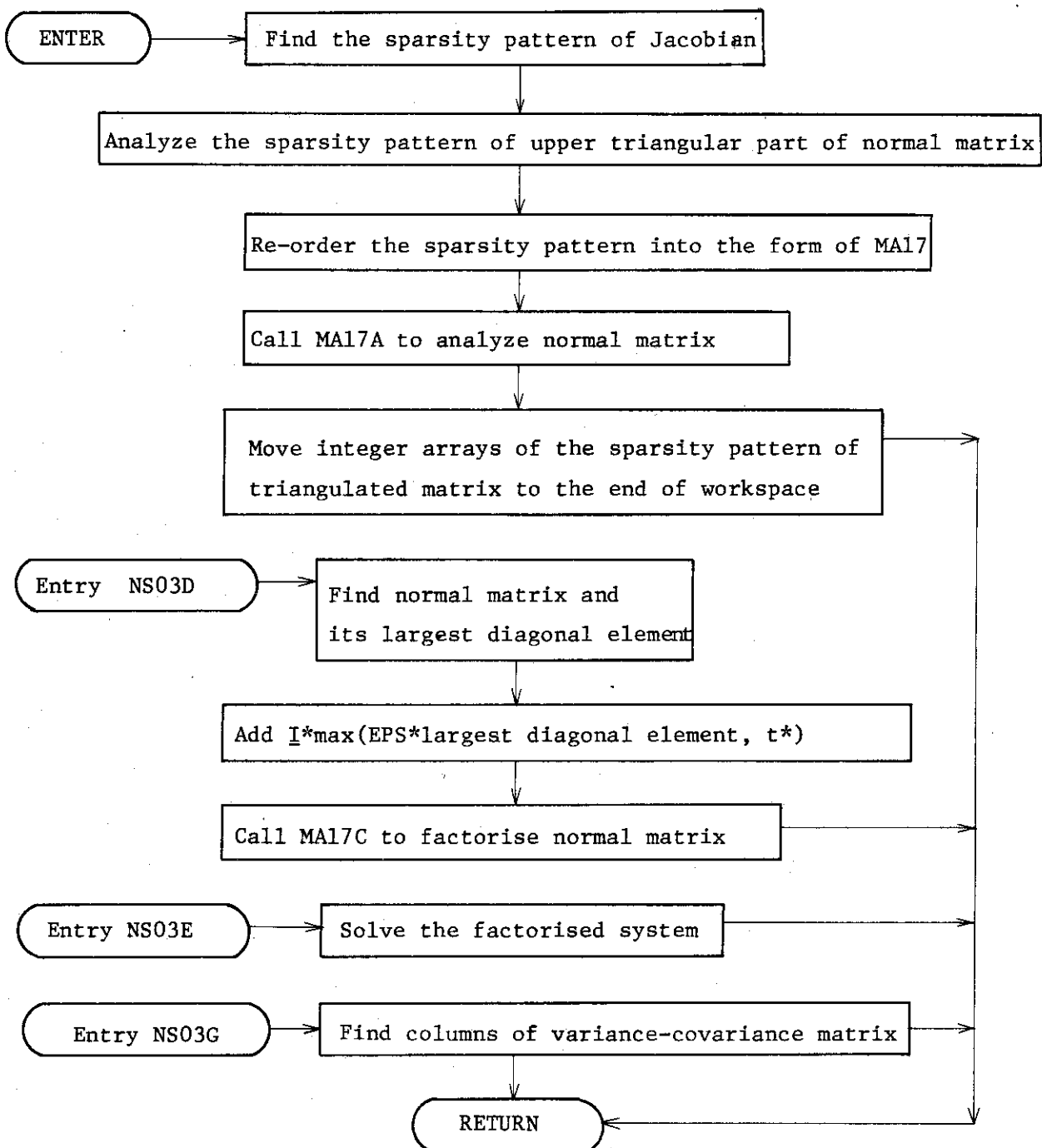


Fig. 4 Flow diagram of NS03C subsidiary to NS03A

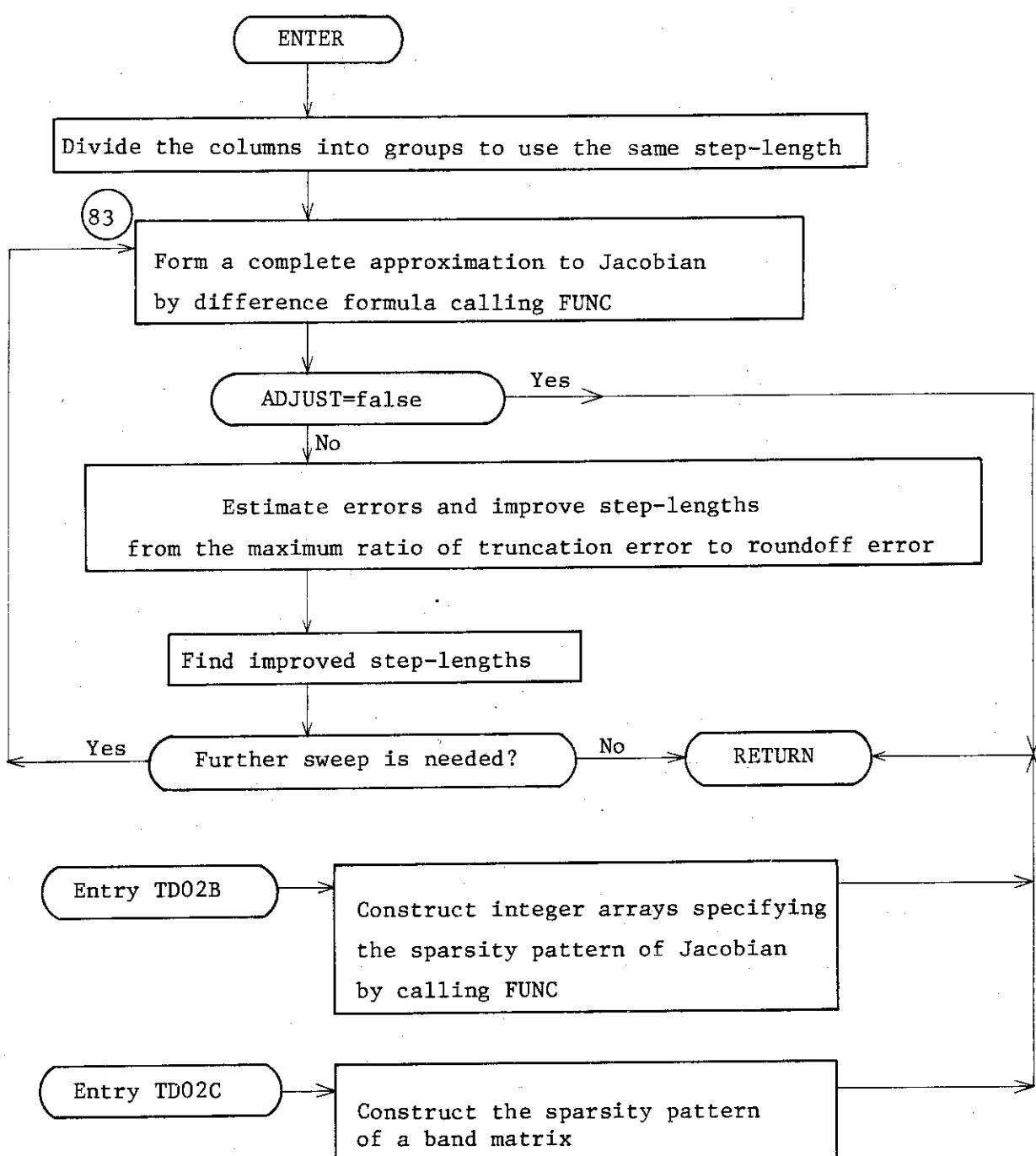


Fig. 5 Flow diagram of TD02A subsidiary to NS03A

数となる。H(N)が差分をとる際のステップの長さで、これはTD02Aで前述のように調整され、その値が出力としてセットされるようになっている。YはFUNCルーチンのためであるが、Fには $r(\underline{x})$ の値が入れられる。HMAXもNS03Aのと同じだが、もともとはNの大きさの配列で、ステップの長さの上限が入力されるようになっているが、HMAX(1)<0の時にはすべての上限が $|HMAX(1)|$ にとられ、配列の大きさも1でよいようになっている。下限は、上限のEPS1倍にとられる。Aは0でない微分がストアされる配列、IGは(2N+1)以上の大きさの整数配列で、TD02Aに最初に入る時にはIG(1)=0でなければならない。Wは大きさ(M+N)、Zは大きさNの配列で、IAは、AとIRNの配列の大きさを与える。一方、MBDにはバンド構造のヤコビアンのバンドの半幅が入力される。すなわち $|j-k| \geq MBD$ に対して $\partial r_j / \partial x_k = 0$ である。

¹⁵⁾ Newton 法の変形は Brown も提案している。実変数関数に対し(3)式を1度には1行のみを扱つて Taylor 展開により線形化し、ガウスの前方消去法で各行から1つづつ変数を消去している。このようにすると常に最新の情報をアルゴリズムの各ステップで用いることができる。

¹⁶⁾ すなわち i 反復過程の第 1 ステップでは

$$f_1(\underline{x}) = f_1(\underline{x}^i) + \sum_{j=1}^N (\partial f_1 / \partial x_j)_i (x_j - x_j^i) \quad 24$$

から、 $|\partial f_1 / \partial x_j|$ が最大になる 例えは j=N に対し、24式が 0 になるように

$$x_N = x_N^i - \sum_{j=1}^{N-1} [(\partial f_1 / \partial x_j) / (\partial f_1 / \partial x_N)]_i (x_j - x_j^i) - f_1(\underline{x}^i) / (\partial f_1 / \partial x_N)_i \quad 25$$

次の第 2 ステップでは25式の右辺を $L_N(x_1, \dots, x_{N-1})$ とおく時、

$$g_2(x_1, \dots, x_{N-1}) = f_2(x_1, \dots, x_{N-1}, L_N(x_1, \dots, x_{N-1})) \quad 26$$

について24式と同様に1次までの Taylor 展開をとり、偏微分が最大値を与える例えは x_{N-1} について26式と同様に解く。このようなステップを繰り返し、第 N ステップでは

$$g_N(x_1) = f_N(x_1, L_2, L_3, \dots, L_N) \quad 27$$

から x_1 を求めるようになる。この x_1 を x_1^{i+1} とし、 L_j を逆に解いていくことにより x_j^{i+1} が求められるわけである。偏微分はすべて

$$\partial f_k / \partial x_j = [f_k(\underline{x} + h\underline{e}_j) - f_k(\underline{x})] / h \quad 28$$

で近似するが、この際のステップ h を、局所的 2 位収束が保証されるように

$$h_j = \max \{ \alpha_{kj}, 5 \times 10^{-\beta+2} \} \quad 29$$

$$\alpha_{kj} = \min \{ \max(|f_1|, |g_2|, \dots, |g_k|), 0.001|x_j| \}$$

と選んでいる。ここで β は計算機の有効桁数である。

このアルゴリズムによるルーチン NONLIN は、その FORTRAN プログラムが Brown により発表されているので、¹⁶⁾ これの整備がなされた。そのプログラム・リストは付録 4 に、計算の流れは Fig. 6 に示した。このルーチンの呼び出しは以下による。

CALL NONLIN (N, NUMSIG, MAXIT, IPRINT, X, EPS)

ここでNは方程式の数, すなわち変数の数, NUMSIGは求める有効桁数で, MAXITは入力としては反復の上限回数, 出力としては要求された反復回数がセットされる。IPRINTはプリント出力のためには1にする。Xには解の推定値が入力され, 出力として計算結果の解がセットされる。EPSはすべての関数値の絶対値がこれ以下になったとき反復計算を終える収束判定値であるが, NUMSIGによっても収束判定がなされるので, 実際の計算の終了は, これらのいずれかによる。

付録4, あるいはFig. 6 から分るように, $\underline{f}(\underline{x})$ の形は AUXFCN ルーチンで定義されるが, 1つづつ $f_k = 0$ を解いていくので, 線形に近い f_k が先に扱われるよう順序付けるとよいことが指摘されている。反復あたりの f_k の計算回数は $(N^2 + 3N)/2$ で, Newton 法の $(N^2 + N)$ (この他に N^2 回の偏微分計算なども必要) よりも少ないが, L_k の計算が必要なので, 実際には f_k の計算が複雑な時のみ計算量が減少する。しかしアルゴリズムから分るように局所的に非常に安定した解法となっている。この方法も2位の収束をしており, 線形に近い非線形系に対して効率よい方法であることが示されている。

この他に任意の初期値から収束する手法として, Newton 法を常微分方程式に対する Euler 法と考え, その数値積分を改良する観点で開発された手法がある。最近では, Boggs による独立変数を無限領域 $[0, \infty]$ で定義した方法が注目されている。¹⁷⁾

今, $\underline{f}(\underline{x}) = 0$ を解くため, $\underline{G}(t, \underline{x}) = 0$ を, $\underline{G}(0, \underline{x}) = 0$ の解が推定値 \underline{x}_0 で, $t \rightarrow \infty$ で $\underline{G}(t, \underline{x}) \rightarrow \underline{f}(\underline{x})$ となるよう以下のように定義する。

$$\underline{G}(t, \underline{x}) = \underline{f}(\underline{x}) - \exp(-t) \underline{f}(\underline{x}_0) = 0 \quad (30)$$

これより

$$d\underline{x}/dt = -\underline{A}^{-1}(\underline{x}) \underline{f}(\underline{x}), \quad \underline{x}(0) = \underline{x}_0 \quad (31)$$

の形の初期値問題が得られる。これに対する数値積分の Euler 法は

$$\underline{x}_{i+1} = \underline{x}_i + h(d\underline{x}/dt)_i \quad (32)$$

なる反復を与えるが, これで $h = 1$ とおいたのが Newton 法となっている。Robb は van Melle に従い, (31)式を予測子 (predictor) のステップとして, 修正子 (corrector) として

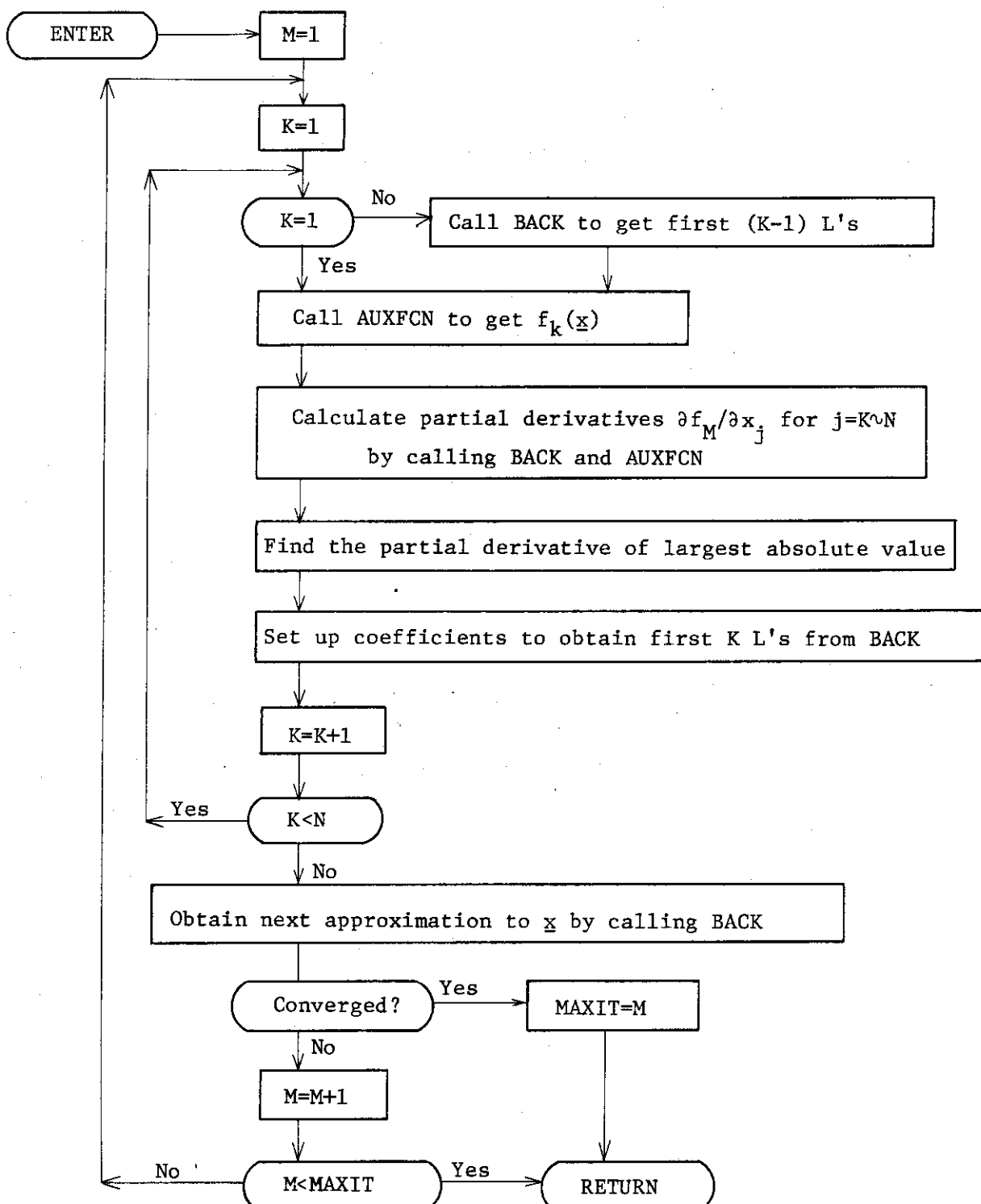
$$\underline{x}_{i+1} = \underline{x}_i + h[\alpha(d\underline{x}/dt)_{i+1} + (1-\alpha)(d\underline{x}/dt)_i] \quad (33)$$

¹⁸⁾ を用いている。もし $\alpha = 0$, $h = 1$ ならば, これも Newton 法となるが, $\alpha = 1$, $h \ll 1$ ならば収束に多くのステップを要するであろうが, 収束はより確かとなるであろう。Robb は(33)式を解く代りに, 近似的に以下のアルゴリズムを用いた計算プログラムを発表している。

$$\underline{x}_{i+1}^{(0)} = \underline{x}_i + h(d\underline{x}/dt)_i \quad (34)$$

$$A = [h \underline{J}^{-1} \underline{f}(\underline{x}_{i+1}^{(0)}) + h(d\underline{x}/dt)_i] / (1 + h \alpha) \quad (35)$$

$$\underline{x}_{i+1} = \underline{x}_{i+1}^{(0)} - \alpha A \quad (36)$$

Fig. 6 Flow diagram of NONLIN to solve $f(\underline{x})=0$ from an estimate of \underline{x}

$$h(\underline{dx}/dt)_{i+1} = h(\underline{dx}/dt)_i - A$$

(37)

すなわち、(34)が予測子のステップで、(35)～(37)が修正子ステップとなっている。

このルーチン INTECH の計算の流れは Fig. 7 に示したが、計算の効率を上げるために、変数を線形でしか現れないものとそれ以外に分類し、前者に対しては修正子ステップのみを適用している。またヤコビアン行列 B は、非線形の変数の数の 5 倍のステップ毎にのみ計算している。更に(36)～(37)式の α と h の選択を $|f|$ が 5 % 以上減少している限りは $\alpha=0$, $h=1$ の Newton 法を用いるが、そうでなければ $\alpha=1$, $h=0.01$ として計算をやりなおしている。その結果 $|f|$ が 2 % 以上減少するならば、 α は 0.8 倍とし、 h は $(1.7 - 0.85h + 0.15/h)$ 倍をとるようにしている。ただし $|f|$ が 100 倍以上に増加する時には $\alpha=1$, $h = \max(h/2, 0.2)$ として計算をやりなおし、0.98 倍と 100 倍の間の時には $\alpha=1$, h は $\min(1.3, 0.6/h)$ 倍して修正子ステップへ進むようになっている。

このルーチンは以下により呼ばれる。

```
CALL INTECH ( Y, YL, DY, PW, DEL, F1, YD, SAVE, YLSV, PWORK, N,
               NY, NL, NSEND )
```

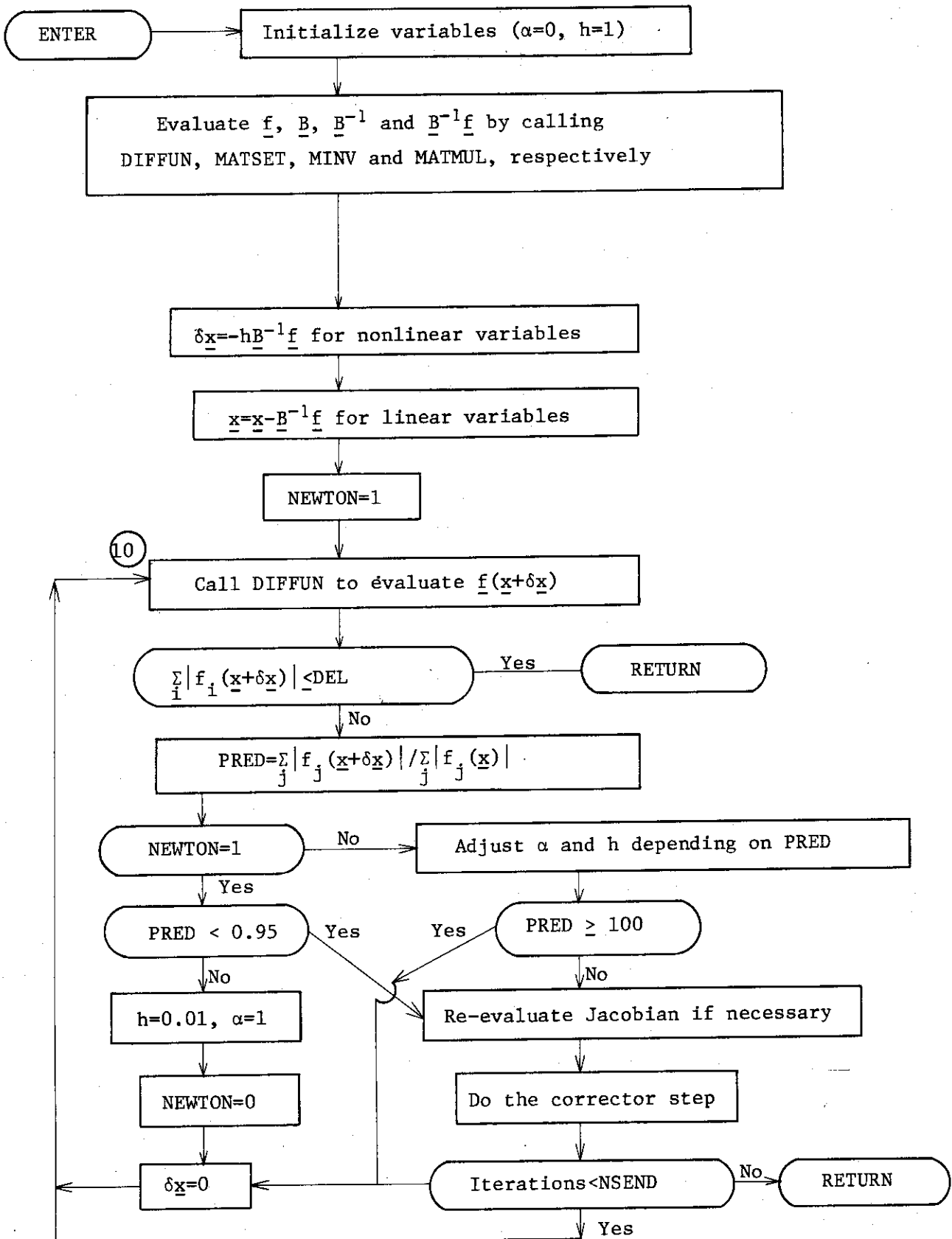
ここで Y は非線形の変数の初期値を入力する大きさ NY の配列、 YL は線形の変数の初期値を入力する大きさ NL の配列である。 DY は、付録 5 に例を示したように、DIFFUN ルーチンにより計算された関数値が入る $N=NY+NL$ の大きさの配列である。 PW は同じく付録 5 に示した MATSET ルーチンにより計算されたヤコビアン行列のための $(N \times N)$ の 2 次元配列で、MINV ルーチンにより逆行列の値もセットされる。 DEL は Fig. 7 にも示した関数の絶対値に要求する精度、 $F1$ は PW と DY の積のための大きさ N の配列、 YD は Y の δ_x のための大きさ NY の配列、 $SAVE$ は Y と YD をストアする $(2, NY)$ の 2 次元配列、 $YLSV$ は YL をストアする大きさ NL の 1 次元配列である。 $PWORK$ は MINV ルーチンのための大きさ N の配列だが、MINV ルーチンは原典と異なるため実際には使われていない。最後の $NSEND$ は反復回数の上限を与える入力パラメータである。

この INTECH ルーチンはすでに述べたように 4 つの補助ルーチン、DIFFUN, MATSET, MINV, MATMUL を用いている。DIFFUN (DY, Y, YL, N, NY, NL) と MATSET (PW, Y, YL, N, NY, NL) の引数は、INTECH のと同じである。MINV ($PW, DET, N, NZ, F1, PWORK$) は $PW(N, N)$ の逆行列を求めるルーチンで、原典には与えられていなかったので、すでに述べた FACOM SSL¹¹⁾ の書き出し法による MINV2S ルーチンをその中で呼ぶようにした。なお、MATMUL ($PW, DY, F1, N$) ルーチンでは

$$F1(J) = \sum_{k=1}^N PW(J, K) * DY(K), \quad J = 1 \sim N$$

(38)

を求めている。

Fig. 7 Flow diagram of INTECH to solve $\underline{f}(\underline{x})=0$ from an estimate of \underline{x}

3. 射影法 (projection method) ルーチン

射影法は、もともと n 次元連立 1 次方程式

$$\underline{A} \underline{x} = \underline{b} \quad (39)$$

を解く反復法として開発された。1 次元射影法は、 \underline{w}_k を単位ベクトルとする時、 i 番目の反復計算では、

$$\underline{x}_{i+1} = \underline{x}_i + d\underline{x}_i \underline{w}_k$$

のように一時に解ベクトルの 1 つの k 成分のみが補正される。すなわち i 番目の反復での残差ベクトル

$$\underline{r}_i = \underline{b} - \underline{A} \underline{x}_i$$

の 2 次形式 $\|\underline{r}_i\|$ を最小にするように、 \underline{A} の k 列目のベクトル \underline{a}_k を用い以下のように $d\underline{x}_i$ が決められる。

$$d\underline{x}_i = \underline{r}_i^T \underline{a}_k / \|\underline{a}_k\| \quad (40)$$

しかしこの 1 次元射影法は収束が遅い。2 次元射影法では、 k 番目と j 番目の成分を用い、

$$\alpha_k = \underline{r}_i^T \underline{a}_k / \|\underline{a}_k\|, \quad \alpha_j = (\underline{r}_i - \alpha_k \underline{a}_k)^T \underline{a}_j / \|\underline{a}_j\|,$$

$$d\underline{x}_{ik} = (\alpha_k - \alpha_j \underline{a}_k^T \underline{a}_j / \|\underline{a}_k\|) C_{jk},$$

$$d\underline{x}_{ij} = (\alpha_j - d\underline{x}_{ik} \underline{a}_k^T \underline{a}_j) C_{jk}, \quad C_{jk} = 1 / (1 - \cos^2 \theta_{jk}),$$

$$\cos \theta_{jk} = \underline{a}_j^T \underline{a}_k / (\|\underline{a}_j\| \cdot \|\underline{a}_k\|) \quad (41)$$

これより残差ベクトルは以下のように減少する。

$$\underline{r}_{i+1} = \underline{r}_i - d\underline{x}_{ik} \underline{a}_k - d\underline{x}_{ij} \underline{a}_j \quad (42)$$

この 2 次元射影法は 1 次元より収束が速い。収束に要求される条件は、1 次元、2 次元とも、行列 A が非特異ということのみである。

Tokko & Keller¹⁹⁾ は、これを拡張して、 k の 3 つの値に対して

$$\underline{r}_{i+1}^T \underline{a}_k = 0 \quad (43)$$

を要求する 3 次元射影法を示し、 k の選択は $\|\underline{r}_i\| - \|\underline{r}_{i+1}\|$ を最大にするようにしている。この 3 次元射影法は 2 次元のより更に収束が速くなっている。

Harms & Keller²⁰⁾ は、この 3 次元射影を k 次元へ一般化し、かつ Gauss-Seidel 法くらいの計算

速度をもつように改良することを考えている。 n 次元の(39)式を $(n+1)$ 次元射影法により、2つの $(n-1)$ 次元体系にする。この2つの $(n-1)$ 次元の係数行列は、対称正定値の同一の行列である。従ってこの $(n-1)$ 次元体系はGauss-Seidel法で収束するし、ガウス消去法も軸選択のない簡単な形で用いることが出来る。もう1つの方法としては、この1次元低減法を繰り返し適用して、(39)を1次元体系にしてしまう直接法を提案している。しかしこの方法は正確な解は与えるが、膨大な計算機容量と演算回数を要求するので、この点の改良が必要であると結論している。

この射影法の非線形系への応用については、まず MacEachern & Kellerの仕事がある。²¹⁾ $f(\underline{x}) = 0$ を1次元射影法で解いているので、 i 反復計算の k 番目のステップでは

$$\underline{x}_{ik} = (x_1^{i+1}, \dots, x_k^{i+1}, x_{k+1}^i, \dots, x_n^i)$$

となっている。反復

$$\underline{x}_{i,k+1} = \underline{x}_{ik} + d\underline{x}_{i,k+1}; \quad k=0 \sim n-1, \quad i=0, 1, 2, \dots$$

は、残差ベクトルのノルムの差

$$\|\underline{r}(\underline{x}_{ik})\| - \|\underline{r}(\underline{x}_{i,k+1})\|$$

が最大になるようにしている。すなわち微分を0にする条件から、アルゴリズムは以下のようになる。①初期近似ベクトル \underline{x}_{00} を選ぶ。②近似ベクトルに対する残差ベクトルを計算する。③ $A_{k+1}(\underline{x}_{ik})$ を \underline{x}_{ik} でのヤコビアン行列の $(k+1)$ 番目の列ベクトルとし、以下の計算をする。

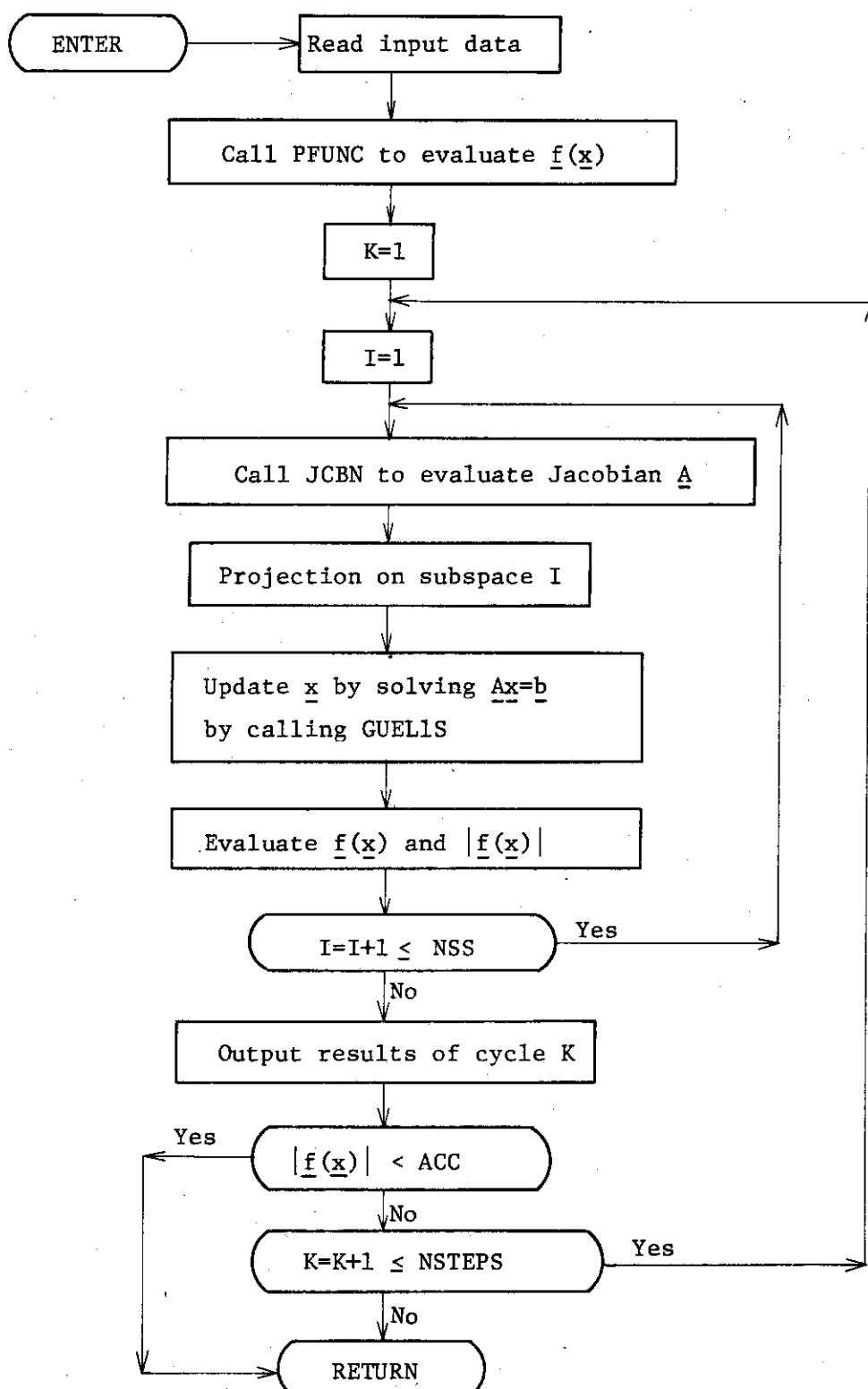
$$d\underline{x}_{i,k+1} = -\underline{r}(\underline{x}_{ik})^T A_{k+1}(\underline{x}_{ik}) / \|A_{k+1}(\underline{x}_{ik})\|,$$

$$\underline{x}_{i,k+1} = \underline{x}_{ik} + d\underline{x}_{i,k+1} \quad (44)$$

④収束の判定をし、収束していないければ、次の k に対して②から④までを繰返す。これのFORTRANプログラムと例題は、²²⁾ Georg & Kellerによって報告されている。又 Schmitzらは²³⁾ 1~3次元射影法による、線形、および非線形システムのためのAlgolプログラムのリストを示し、詳細な説明も付けている。

各ステップで近似ベクトルの k 個の成分が修正される、 k 次元の非線形射影法と、その収束について、Georg & Kellerがまとめている。²⁴⁾ この際には残差ベクトルが、前の近似解を使って計算されたヤコビアン行列の、 k 個の列ベクトルに直交するようにされる。従ってこの k 次元部分空間への残差ベクトルの射影の順序が重要となる。各反復毎に同じ順序で射影していく方法を定常的射影法と呼び、このFORTRANプログラムPROJAのリストが記されている。まだ最適なアルゴリズム確立まではいっていないが、数値例からNewton法などと同様に用いることが出来ることが示されている。このPROJAルーチンは、すでに当核設計研究室で整備されJSSLに登録¹⁴⁾されている。

このルーチンの計算の流れはFig. 8に示したが、これの呼び出しは、付録6に示したように以下による。

Fig. 8 Flow diagram of PROJA to solve $\underline{f}(\underline{x})=0$ from an estimate of \underline{x}

CALL PROJA(NDIM, NCOL, A, B, F, JFX, X, NMAX)

ここで入力はNMAXのみで、次元数以上の整数値を入れればよい。残りの仮引数はすべて作業領域で、NDIM(NMAX), NCOL(NMAX, NMAX)が整数型配列で、A(NMAX, NMAX), B(NMAX), F(NMAX), JFX(NMAX, NMAX), X(NMAX)が実数型配列である。ただしPROJAルーチンには入力カードが必要で、1枚目には(3 I 5)で次元数、反復計算回数(サイクル数)の上限、各反復過程での射影の回数が入力される。2枚目には(F10.5)で収束判定精度ACCが入力され、Fig.8にも示したように $|f(x)| < ACC$ で判定がなされる。3枚目のカードには(及び必要なときには次のカードにも続けて)(8 F10.5)で解ベクトルの近似値が入力される。次いで、まず最初に射影する部分空間の次元数が(I5)で入力され、その次のカードにはその部分空間に属する次元(ヤコビアンの列)を(16 I 5)で次元数だけ入力する。この射影部分空間に関する1組のカードが、1枚目のカードに入力した各反復過程での射影回数だけ繰り返えされる。

なお、 $f(x)$ の形は付録6に示したようにPFUNC(X, F, N)ルーチンで定義しなければならない。ここでXが変数、Fが関数で、それぞれNMAX(定数)の1次元実数型配列である。またヤコビアンは、JCBN(JFX, X, N)ルーチンで、大きさ(NMAX, NMAX)(これも定数で与える)の実数型配列JFX(J, K)に $\partial f_j / \partial x_k$ を定義しなければならない。なお線形系³³⁾式を解くGUEL-1Sは藤村によりJSSLとして整備された新しいルーチンである。¹⁴⁾

なおGeorg & Kellerは、最近、k次元部分空間への残差ベクトルの射影の順序を、ヤコビアンの列ベクトルと残差ベクトルとの間の角に基づいてdynamicalに選んでいくアルゴリズムを発表²⁵⁾している。また、Nguyen & Kellerは、各反復ステップでヤコビアンと残差を再計算するだけでなく、 x の全成分が1通り修正されるまでは再計算せずに使っていくprojection-based法を開発²⁶⁾し、普通の射影法より計算時間が短く、計算のサイクル数も少なくなることを示している。

4. ベンチマーク・テストと検討

前章まで連立非線形方程式の解法ルーチンとして、準Newton法のNS01A,⁹⁾ NS03A,¹²⁾ NONLIN,¹⁶⁾ INTECH,¹⁸⁾ 及び射影法のPROJAの5つのルーチンについて説明した。本章では、これらルーチンのベンチマーク・テスト結果について述べる。

テスト問題としては、すでに引用した文献中で用いられている9つを採用した。これらをTable 1にまとめた。例題1から7まではRobb¹⁸⁾が採用しているが、例題3はBroyden,⁶⁾ Shampine & Gordon⁷⁾も用いている。例題4は、初期値と解の間の点でヤコビアン行列が特異となるのが特徴である。例題5は f_1 と f_2 の係数の大きさの差(scaling)の関係で困難な問題とされており、Powell⁹⁾も、Brown¹⁶⁾も採用している。次の例題6は、よく知らされているRosenbrockの方程式で、Powell⁹⁾も採用している。Freudenstein & Roth²⁴⁾の方程式である例題7も、むつかしい問題としてPowell²⁴⁾も引用している。例題8はGrorg & Kellerのもので、最後の4次元系の例題9はBrown¹⁶⁾から採用した。

まずTable 2に準Newton法の4つの解法ルーチンにより求められた解を、FACOM 230/75

CALL PROJA(NDIM, NCOL, A, B, F, JFX, X, NMAX)

ここで入力はNMAXのみで、次元数以上の整数値を入れればよい。残りの仮引数はすべて作業領域で、NDIM(NMAX), NCOL(NMAX, NMAX)が整数型配列で、A(NMAX, NMAX), B(NMAX), F(NMAX), JFX(NMAX, NMAX), X(NMAX)が実数型配列である。ただしPROJAルーチンには入力カードが必要で、1枚目には(3 I 5)で次元数、反復計算回数(サイクル数)の上限、各反復過程での射影の回数が入力される。2枚目には(F10.5)で収束判定精度ACCが入力され、Fig.8にも示したように $|f(x)| < ACC$ で判定がなされる。3枚目のカードには(及び必要なときには次のカードにも続けて)(8 F10.5)で解ベクトルの近似値が入力される。次いで、まず最初に射影する部分空間の次元数が(I5)で入力され、その次のカードにはその部分空間に属する次元(ヤコビアンの列)を(16 I 5)で次元数だけ入力する。この射影部分空間に関する1組のカードが、1枚目のカードに入力した各反復過程での射影回数だけ繰り返えされる。

なお、 $f(x)$ の形は付録6に示したようにPFUNC(X, F, N)ルーチンで定義しなければならない。ここでXが変数、Fが関数で、それぞれNMAX(定数)の1次元実数型配列である。またヤコビアンは、JCBN(JFX, X, N)ルーチンで、大きさ(NMAX, NMAX)(これも定数で与える)の実数型配列JFX(J, K)に $\partial f_j / \partial x_k$ を定義しなければならない。なお線形系³³⁾式を解くGUEL-1Sは藤村によりJSSLとして整備された新しいルーチンである。¹⁴⁾

なおGeorg & Kellerは、最近、k次元部分空間への残差ベクトルの射影の順序を、ヤコビアンの列ベクトルと残差ベクトルとの間の角に基づいてdynamicalに選んでいくアルゴリズムを発表²⁵⁾している。また、Nguyen & Kellerは、各反復ステップでヤコビアンと残差を再計算するだけでなく、 x の全成分が1通り修正されるまでは再計算せずに使っていくprojection-based法を開発²⁶⁾し、普通の射影法より計算時間が短く、計算のサイクル数も少なくなることを示している。

4. ベンチマーク・テストと検討

前章までで連立非線形方程式の解法ルーチンとして、準Newton法のNS01A⁹⁾, NS03A¹²⁾, NONLIN¹⁶⁾, INTECH¹⁸⁾, 及び射影法のPROJAの5つのルーチンについて説明した。本章では、これらルーチンのベンチマーク・テスト結果について述べる。

テスト問題としては、すでに引用した文献中で用いられている9つを採用した。これらをTable 1にまとめた。例題1から7まではRobb¹⁸⁾が採用しているが、例題3はBroyden, Shampine & Gordon⁶⁾も用いている。例題4は、初期値と解の間の点でヤコビアン行列が特異となるのが特徴である。例題5は f_1 と f_2 の係数の大きさの差(scaling)の関係で困難な問題とされており、Powell⁹⁾も、Brown¹⁶⁾も採用している。次の例題6は、よく知らされているRosenbrockの方程式で、Powell⁹⁾も採用している。Freudenstein & Roth²⁴⁾の方程式である例題7も、むつかしい問題としてPowell²⁴⁾も引用している。例題8はGrorg & Kellerのもので、最後の4次元系の例題9はBrown¹⁶⁾から採用した。

まずTable 2に準Newton法の4つの解法ルーチンにより求められた解を、FACOM 230/75

Table 1 Test problems of nonlinear simultaneous equations and their solutions

Example	$f_i(x)$, $i=1, 2$ (or $i=1 \sim 4$)	Initial estimate	Solution
No. 1	$f_1 = 4+x_1+x_2-x_1^2+2x_1x_2+3x_2^2,$ $f_2 = 1+2x_1-3x_2+x_1^2+x_1x_2-2x_2^2$	(-2.057, -7.503) (0, 1)	$\sim(3.339, -2.984)$ $\sim(-1.5334, 0.061121)$
No. 2	$f_1 = x_1^2-x_2+1,$ $f_2 = x_1-\cos(\frac{\pi}{2}x_2)$	(1, 0), (-1, 1)	(0, 1), (-1/ $\sqrt{2}$, 1.5)
No. 3	$f_1 = [\sin(x_1x_2)-x_2/(2\pi)-x_1]/2$ $f_2 = [1-1/(4\pi)][\exp(2x_1)-e]+\exp_2/\pi-2\exp_1$	(0.4, 3.0)	$\sim(0.3000, 2.838)$
No. 4	$f_1 = x_1,$ $f_2 = 10x_1/(x_1+0.1)+2x_2^2$	(3, 1)	(0, 0)
No. 5	$f_1 = 10,000x_1x_2-1,$ $f_2 = \exp(-x_1)+\exp(-x_2)-1.0001$	(0, 1)	$\sim(1.098 \times 10^{-5}, 9.106)$
No. 6	$f_1 = 10(x_2-x_1^2),$ $f_2 = 1-x_1$	(-1.2, 1.0)	(1, 1)
No. 7	$f_1 = x_1(x_1(5-x_1)-2)+x_2-13,$ $f_2 = x_1(x_1(1+x_1)-14)+x_2-29$	(15, -2)	(4, 5)
No. 8	$f_1 = x_1^2+x_2^2-4,$ $f_2 = x_1^2-x_2^2$	(2, 3)	($\sqrt{2}$, $\sqrt{2}$)
No. 9	$f_1 = x_4x_1/3+x_4x_2/6-x_4^3/12,$ $f_2 = x_4x_1/6+x_2/3+(1-x_4)x_3/6-(x_4^2+x_4+1)/12,$ $f_3 = (1-x_4)x_2/6+(1-x_4)x_3/3+(x_4^3+x_4^2+x_4-3)/12,$ $f_4 = 3(x_3-x_1)x_4^2/2(x_3-x_2)x_4+x_3-x_2+(x_1^2-x_3^2)/2(x_1-x_3)$	(0, 0.01, 1, 0.75)	$\begin{pmatrix} -0.041666 \dots, \\ 0.208333 \dots, \\ 0.958333 \dots, \\ 0.5 \end{pmatrix}$

Table 2 Computation times (CPU msec) and solutions (in parentheses)
for 4 subroutines of quasi-Newton methods

Example	NSOLA	NS03A		NONLIN	INTECH
		HMAX=1	HMAX=0		
No.1a	64(3.3386, -2.9844)	124(3.3388, -2.9845)	53(3.3386, -2.9844)	13(-1.5334, 0.061121)	28(3.3386, -2.9844)
No.1b	48(-1.5335, 0.061113)	74(-1.5335, 0.061109)	32(-1.5334, 0.061121)	7(-1.5334, 0.061121)	23(-1.5334, 0.061121)
No.2a	34(0.000359, 0.99977)	43(0.001381, 0.99913)	39(0.000973, 0.99938)	8(-0.70710, 1.49999)	32(0.000781, 0.99950)
No.2b	27(-0.70757, 1.50020)	23(-0.70688, 1.49965)	21(-0.70711, 1.50000)	5(-0.70695, 1.49911)	8(-0.70702, 1.4999)
No.3	38(0.30002, 2.8377)	34(0.29923, 2.8369)	23(0.30071, 2.8401)	5(0.29917, 2.8363)*	29(0.29926, 2.8368)
No.4	241(-0.000447, -0.1508)	480(-0.000947, -0.2188)	49(-1.25×10 ⁻⁹ , -0.01439)	8(-5.9×10 ⁻⁵⁴ , 0.01566)	65(-2.4×10 ⁻⁶ , -0.3473)**
No.5	223(1.462×10 ⁻⁵ , 6.8398)	475(1.469×10 ⁻⁵ , 6.8057)	203(1.467×10 ⁻⁵ , 6.8174)	12(1.099×10 ⁻⁵ , 9.0966)	52(1.105×10 ⁻⁵ , 9.0386)
No.6	101(1.00000, 1.00003)	179(1.00000, 0.99990)	124(1.00000, 1.00000)	4(1.000002, 1.00012)	21(1.0000, 1.0000)
No.7	93(4.0000, 5.0000)	64(4.0000, 5.0000)	42(4.0000, 5.0000)	9(4.0000, 5.0000)	31(4.0000, 5.0000)
No.8	32(1.41421, 1.41422)	40(1.41417, 1.41425)	27(1.41421, 1.41421)	6(1.41421, 1.41421)	12(1.4142, 1.4143)
No.9	48(-0.042107, 0.21091) 0.95933, 0.50277	213(-0.057033, 0.26260) 0.97312, 0.55033	812(-0.087436, 0.38886)** 1.01531, 0.66177	15(-0.042187, 0.20896, 0.95843, 0.50055)	117(-0.042600, 0.21207) 0.95927, 0.50373

* Converged by reordering the equations, ** Converged only with DEL=0.25, *** Not converged even with 100 calculations of $\underline{r}(\underline{x})$.

によるCPU計算時間と共にまとめておいた。NS01Aについては、付録1に示した例題7に対するテスト・プログラムから分るように、微分を数値的に求めるためのステップSTEPは0.01、 $\|\underline{f}\|$ に要求する精度ACCは 10^{-6} 、 $\underline{f}(\underline{x})$ の計算回数上限MAXFUNは100、 $|\delta \underline{x}|$ の上限DMAXは10と、Powellと同様にとった。ただし例題4は、DMAX=10では計算が打ち切られるので30とした。まず例題1については、初期値が(-2.057, -7.503)の1aも、(0,1)の1bも特に問題なく、1aの場合はf(x)の計算回数は18、1bに対しては14回で収束している。例題2も初期値が(1,0)の2aに対して10回、(-1,1)の2bに対して8回の計算で解が求められており、例題3も11回の計算で収束している。なおRobbは例題3の解として $x_2 \sim 2.8$ を与えており、~2.838の方が正しい。例題4は上述のように、DMAX=10では、f(x)の勾配が小さくなり解をDMAXより遠方にもっていくようになるのでエラーとして計算が打ち切られる。DMAX=30の際の解への収束状態をFig.9に示したが、12, 13回目の計算で $\underline{x}=(2.8, -0.08)$ 近傍に来るが、それから非常にゆっくりと、特に $|x_1|$ の値が小さくなり、54回目で $\|\underline{f}\|$ が 3×10^{-6} となる。しかし x_1 が-0.1近傍になることもあります、 $\|\underline{f}\|$ が 10^{-6} 以下になるのは69回目である。正解は(0,0)だが、 $x_2 = -0.15$ とあまい結果を与えていた。次の例題5も困難な問題で、15回目くらいで x_1 は 10^{-5} のオーダーになるが、 x_2 は3程度で、それから徐々に増加して61回目で収束しているが、正解は求められていない。Powellは、STEP=0.001, DMAX=20, ACC= 10^{-10} で223回目で収束し、(1.106×10^{-5} , 9.038)を得ている。この場合でも77回目で $\underline{x}=(1.457 \times 10^{-5}$, 6.862), $\|\underline{f}\|=8.7 \times 10^{-7}$ となっている。(18式で述べたように微分を求める際のステップがすべての変数に対して同一なので、このようなscalingの点で問題のある方程式の正解を求めるには、 $\|\underline{f}\|$ に要求する精度を上げる必要があろう。例題6はFig.10に示したように、大体 $x_2=x_1^2$ に沿って、15回目くらいで $\underline{x}=(0.34, 0.09)$ に到達し、それから徐々に(1,1)に近づき28回目で収束している。例題7も初期値が解から相当離れていて、Fig.11に示したように x_1 がまず4近くになるが、 x_2 は-14くらいで、それが徐々に5に近づいていくため、26回目でようやく収束をみている。例題8,9は、両者とも10回目で収束しており、一応問題ないようである。

次にヤコビアンが疎の場合に対するNS03Aによる結果だが、Table 2には、HMAX(1)=1としてNS01Aの際同様、差分によりヤコビアンを求めた場合と、HMAX(1)=0として、与えた微分形により求めた場合の両者の結果を示してある。付録2あるいは3の例題5に対するテスト・プログラムから分るように、 $\|\underline{f}\|$ に要求する精度はNS01Aと同様SAC= 10^{-6} とし、f(x)の計算回数上限MAXFUNも100とっている。一方 $|\delta \underline{x}|$ に対する要求精度STPMINは0.0とおいたので、内部的な $|\delta \underline{x}| < 10^{-14} |\underline{x}|$ のみが要求されるが、 $\|\underline{f}\| < 10^{-6}$ の方が一般には先に満足されるので、この要求は一般には使われない。従って収束条件はNS01Aと同じと考えてよい。しかし倍精度ルーチンとなっている点が他とは異なっている。

例題1は、ヤコビアンにも23式のAにも0の要素はないので、特に疎である特徴は使っていない。(19式の t^* の計算のため、 t^* が0のまゝで収束する場合を除いて)r(x)を計算する回数が反復回数より多く、HMAX=1の時は、例題1aでは22反復で28回の計算、1bでは13反復で15回の計算を要求し、いずれも計算時間はNS01Aの2倍近くになっている。しかしHMAX=0の時には、1aで9反復で10回計算、1bでは $t^*=0$ のまゝで6反復で収束しており、計算時間もNS01Aより2~3割短くなっている。例題2はヤコビアンもAも、4要素のうち2要素が0で、

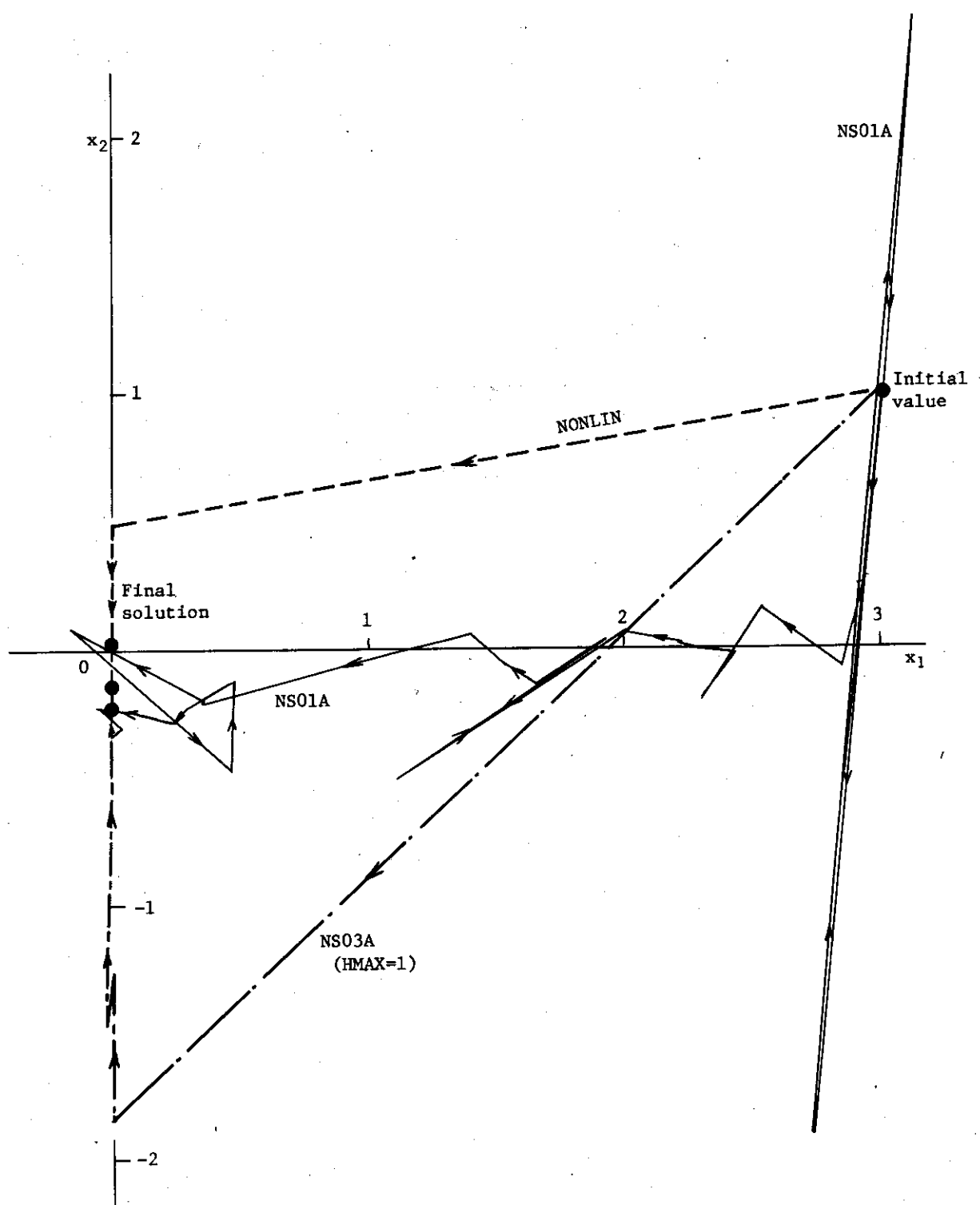


Fig. 9 Trajectories of searching a solution for Example No.4 by NS01A, NS03A (HMAX=1) and NONLIN

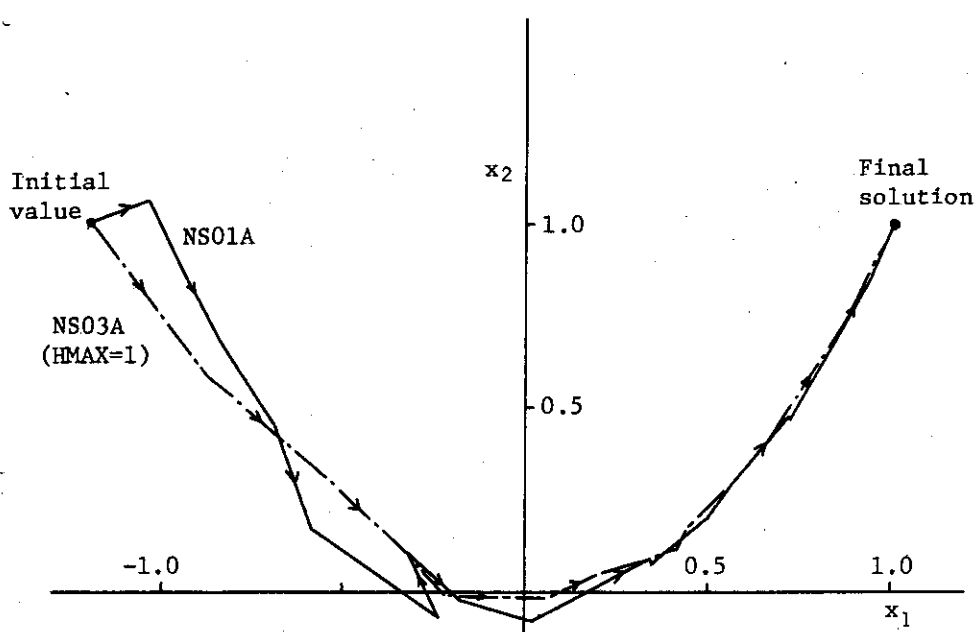


Fig. 10 Trajectories of searching a solution for Example No.6 by NS01A and NS03A (HMAX=1)

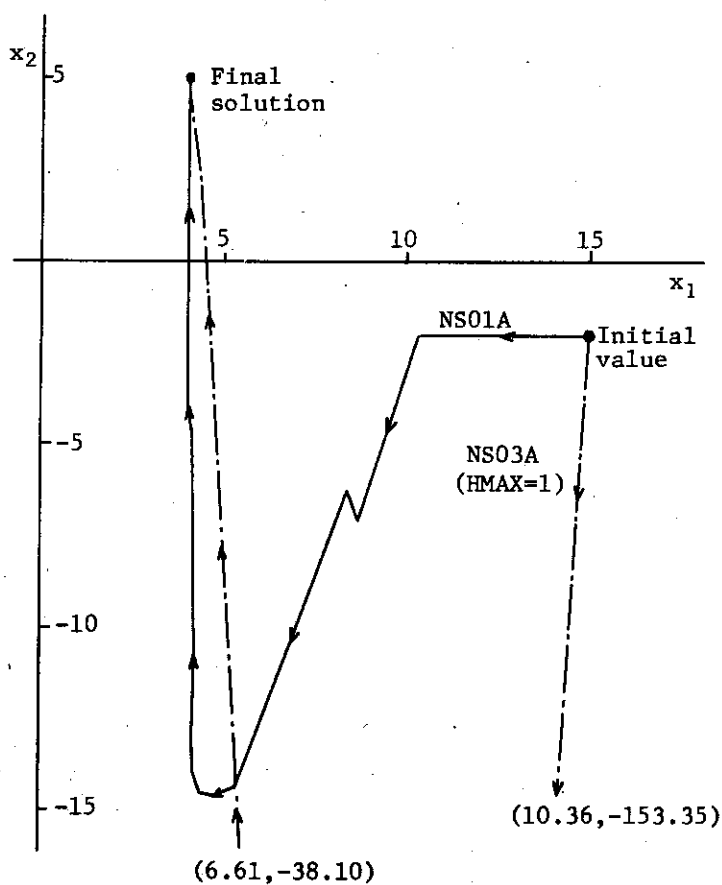


Fig. 11 Trajectories of searching a solution for Example No.7 by NS01A and NS03A (HMAX=1)

このため $HMAX=1$ の際でも、2a では 8 反復で 10 回計算、2b では 4 反復で 5 回計算で収束し、計算時間も NS01A と殆んど同じであるが、精度はいくらか甘いようである。 $HMAX=0$ では、2a に対して 7 反復の 7 回計算、2b に対しては $t^*=0$ のまゝで 4 反復で収束しているが、計算時間は $HMAX=1$ の際と比べ殆んど短縮されていない。例題 3 についてはヤコビアンの 1 要素のみが 0 だが、 $HMAX=1$ では 6 反復の 8 回計算で、NS01A より短時間で収束しており、 $HMAX=0$ では 4 反復の 5 回計算で、NS01A の殆んど半分の時間で収束している。例題 4 はヤコビアンの 2 要素、A の 3 要素が 0 で、 $HMAX=0$ の際には $t^*=0$ のまゝで 9 反復で収束し、NS01A の $1/5$ の時間で、より精度の高い結果が得られている。しかし $HMAX=1$ の際には、85 反復の 92 回計算で、NS01A の 2 倍の時間を要している。これは、Fig. 9 に示したように、10 反復目で $(-0.03, -1.4)$ 付近に来てから後、 x_2 の値が非常にゆっくりと 0 に近づいていくためである。

次の例題 5 はヤコビアンには 0 の要素はないが、A はすべて 0 要素である。しかし NS01A より収束は遅く、15 反復目で $(6 \times 10^{-5}, 1.7)$ 程度になった後、徐々に x_1 は減少し、 x_2 は増加していくが、結局 84 反復、92 回計算で、NS01A の 2 倍の時間を要し、NS01A 同様、正解からずれて収束している。 $HMAX=0$ では 37 反復、38 回計算で、NS01A と同様な結果を得ている。例題 6 はヤコビアンは 3 要素が 0、A は 2 要素が 0 であるが、 $HMAX=1$ の際には、Fig. 10 に示したように、NS01A の際同様、大体 $x_2 = x_1^2$ に沿って動くため、31 反復、32 回計算で収束し、計算時間は NS01A の 2 倍近くになっている。 $HMAX=0$ の際にも同様で、Fig. 12 に収束状態を示したように、22 反復、27 回計算で収束しているが、NS01A より長い計算時間を要している。例題 7 は、A には 0 要素がないが、ヤコビアンの 2 要素が 0 で、 $HMAX=1$ でも NS01A より短時間で収束している。Fig. 11 に示したように、 x_2 が -100 程度にまず下がるが、すぐに 5 反復目で $(5.5, -15)$ 付近に戻り、11 反復、12 回計算で収束している。 $HMAX=0$ の際も同様だが、 $t^*=0$ のまゝで 8 反復目で収束し、計算時間も NS01A の半分近くである。例題 8 はヤコビアンには 0 要素がないが、A は全部 0 で、 $HMAX=1$ の際には 7 反復、9 回計算で、 $HMAX=0$ の際には $t^*=0$ のまゝで 5 反復で、NS01A と同程度の計算時間で収束している。これに対し、例題 9 は、ヤコビアンは 16 要素のうち 3 つが 0、A には 8 つの 0 要素があるが、 $HMAX=1$ では 27 反復、35 回計算を要求して、計算時間が NS01A の 4 倍にもなっている上、精度も良くない。更に、 $HMAX=0$ の際には、98 反復目で MAXFUN=100 に到達したため、 $\|f\|$ はまだ 1.0×10^{-5} だがエラーとして計算が打ち切られ、計算時間もすでに $HMAX=1$ の際の 4 倍になっている。MAXFUN=200 で 198 回反復しても、 $\|f\|$ は 9×10^{-6} になるだけで、非常に収束が遅い。

次の Brown による NONLIN の結果であるが、これも要求精度としては、付録 4 の例題 3 に対するテスト・プログラムからも分るように、NS01A、NS03A の $\|f\| < 10^{-6}$ と同様、すべての $|f_k| < EPS = 10^{-3}$ ととった。求める有効数字の数 NUMSIG は 6 としたが、すべての例題について 6 術の精度になる前に EPS の条件で収束している。なお反復の上限回数 MAXIT は 100 ととった。Table 2 から分るように、NONLIN はすべての例題に対して最少の計算時間で収束している。例題 1 については、1a は 13 回反復、1b は 6 回反復で、初期値に依らず同一の解に収束している。例題 2 も、2a は 7 回反復、2b は 3 回反復で同一の解に収束しており、このように NONLIN は初期値に余り依存しないことが分る。

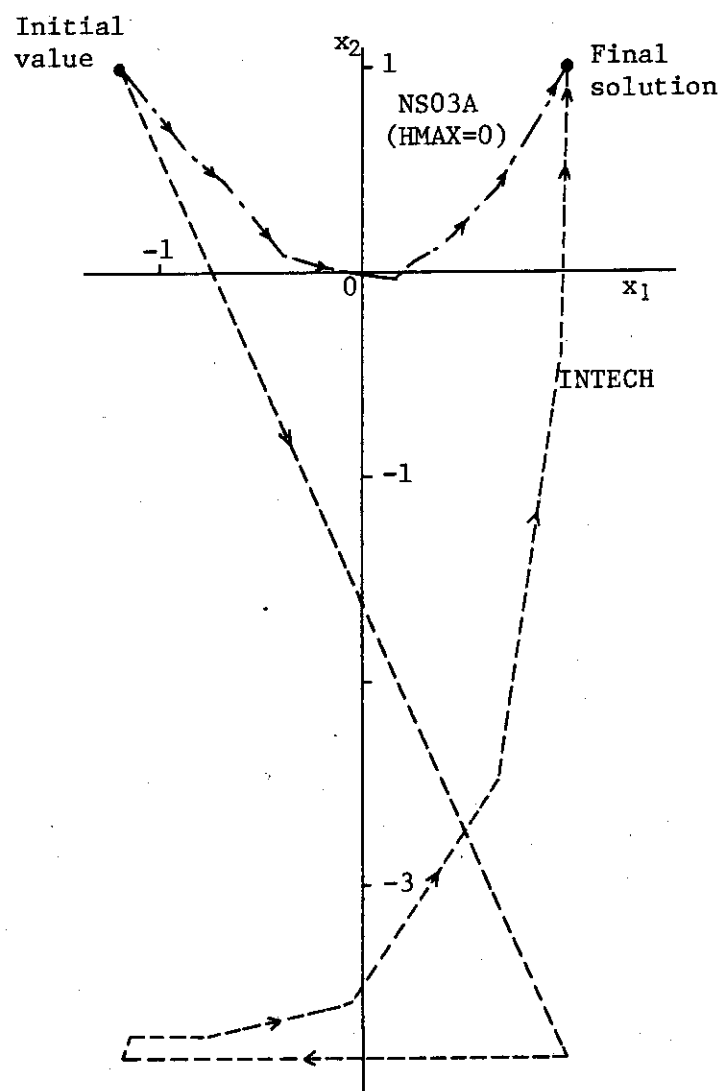


Fig. 12 Trajectories of searching a solution for Example No.6 by NS03A ($H_{MAX}=0$) and INTECH

第2章で述べたように、このBrownの方法では、線形に近い f_k が先に扱われるよう順序付けるとよい。例題3の場合、Table 1に示した f_1 と f_2 のどちらが線形に近いか一概に言いたいが、Table 1のまゝでは100回の反復でも収束の傾向がみられない。これに対し、 f_1 と f_2 を付録4に示したように交換すると、たった4回の反復で収束している。例題4に対しては、Fig. 9に示したように、最初の反復で $(2.1 \times 10^{-5}, 0.5)$ となり、全部で7回の反復で収束しており、他の方法と比べ格段の差がみられる。例題5についても同様で、最初の反復で $(1 \times 10^{-4}, 2.0)$ となり、11反復目で、NS01A, NS03Aでは求められなかった正解に収束しており、この例題がscalingの関係で困難な問題であると言われているのがうそのようである。例題6についても、他の手法ではFig. 10に示したように $x_2 = x_1^2$ に沿うため収束が遅いが、NONLINでは、最初の反復でいきなり $(1.000, -3.837)$ となり、その次の反復で収束してしまっている。例題7は最初の反復で $(9.34, -688)$ となり、次いで $(6.76, -29.0), (4.77, -35.6), (4.93, 21.0)$ を経て $(4.22, 2.81)$ となってから、全部で9反復目で収束しており、NS03Aの際と同様、 $|\delta x|$ が非常に長いのが目立つ。例題8は5反復目で、例題9も6反復目で収束しており、NONLINの有用性を顯示している。

次のINTECHに対しては、付録5の例題1aに対するテスト・プログラムからも分るように、収束判定は、 $\sum_k |f_k| < \text{DEL} = 10^{-3}$ と、他と同程度にとり、反復回数の上限NSENDも100と同様にとった。ただしこのルーチンには、ヤコビアンの微分形を与える必要があり、又主な変数は倍精度になっているので、NS03A ルーチンのHMAX=0に対応するが、線形でしか現われない変数を別個に扱うのが特徴である。しかし例題6と7以外には、線形変数は出てこない。まず例題1であるが、1a, 1bともヤコビアンの計算は4回行われ、1aは15回反復、1bは13回反復で収束している。計算時間はNS03A (HMAX=0) の半分近くである。例題2aは、18回反復、4回ヤコビアン計算で、NS03Aと同程度の時間で収束しているが、2bの方は、Newton法の4反復のみで、2回のヤコビアン計算で、NS03Aの半分以下の時間で収束している。例題3は、変形Newton法も用いて16反復、4回のヤコビアン計算で、NS03Aよりも長い計算時間を要している。

例題4については、まずFig. 9に示したNS01Aと同様な状態で8反復目には $(2.3, 0.2)$ 付近に来るが、それからは $(25, -255)$ とか $(-18615, 2.5)$ などと振動し、Table 2に示したように、ヤコビアンを5回計算した後の41反復目で $\sum_k |f_k| = 0.24$ までに到達する。しかしその後は、また、例えば $(-108510, 1110)$ とか $(3.5, -204)$ などとなり収束しない。これに対し、例題5の方は29反復、6回ヤコビアン計算で正解に収束しており、計算時間もNS03Aの1/4近くである。例題6は、 x_2 が線形にのみ現われており、11反復、2回のヤコビアン計算で、NS01Aの1/6の時間で収束している。この収束状態を図示したのがFig. 12で、NS03Aとは異なり、特に $x_2 = x_1^2$ に沿っていない。例題7も x_2 が線形にのみ現れており、Newton法のみの19反復、4回のヤコビアン計算で、NS03Aより短時間で収束している。収束過程は、NS03AのHMAX=0と同様、Fig. 11に示したNS03A (HMAX=1) と大体同じである。次の例題8, 9には線形のみに現われる変数はないが、例題8はNewton法の7反復、2回のヤコビアン計算で、NS03Aの半分以下の計算時間で収束している。例題9も、これはNewton法のみではないが、全部で53反復、11回ヤコビアン計算でNS03Aの1/7程度の計算時間で収束に到っている。

以上で準 Newton 法のルーチンによる結果を一通り見てきたが、ヤコビアンの微分形を与えないよい NS01A, NS03A (HMAX = 1), NONLIN の 3 つのルーチンについては、NONLIN が、線形に近い f_k を先に扱うように順序付ける必要はあるが、すべての場合に最少の計算時間で、初期値に余り依存しなく収束しており、特に困難な問題には有用である。NS03A は 23 式の $r(x)$ のヤコビアン、及び A が疎の場合の倍精度ルーチンであるので、これらが疎の問題は NS01A よりうまく解ける場合もあるが、大体において NS01A と同程度の性能をもっていると考えてよいだろう。ヤコビアンの微分形を与えないよい 2 つのルーチン、NS03A (HMAX = 0) と INTECH については、後者も主な変数は倍精度になっているので NS03A と同様だが、線形変数を別個に扱う特徴をもっている。従って線形変数のある問題には、INTECH の方が適しているが、大体において NS03A (HMAX = 0) と同程度の性能と考えられる。

次に射影法の PROJA ルーチンだが、付録 6 には 4 次元までの計算のため NMAX = 4 とした、例題 2 に対するテスト・プログラムが示されているが、反復計算回数（サイクル数）の上限は 100, $|f(x)|$ に要求する精度 ACC は 10^{-3} と、準 Newton 法ルーチンと同様にして計算した。PROJA も、NS03A の HMAX = 0, INTECH と同様、ヤコビアンの微分形を与えないよいが、計算はこれらと異なり、すべて単精度でなされている。

Table 3 に例題 1 から 8 までに対する結果をまとめたが、計算は射影の方法に依存するので、考えられるすべての射影を使っている。まず 1 次元射影には、各反復毎に、第 1 次元を射影して x_1 を修正し、次いで第 2 次元を射影して x_2 を修正する(1)(2)の射影法と、これの逆の(2)(1)の射影法がある。2 次元射影には、各反復毎に 2 つの次元を射影して (x_1, x_2) を修正する (1, 2) 射影法しかないが、1 次元と 2 次元射影の組み合わせは、Table 3 に示したように(1) (1, 2), (2) (1, 2), (1, 2)(1), (1, 2)(2) の 4 通りがある。

まず例題 1 については、1a も 1b も、すべての射影の方法に対して収束している。これらの収束に要した反復計算回数を Table 4 にまとめたが、1a の 1 次元射影のみを用いた(1)(2), (2)(1)以外はすべて数回で正解に到達している。但し(2) (1, 2) の場合は、1a も 1b も同一解に収束しているが、これらについては計算時間も NS03A (HMAX = 0), INTECH より短く問題はない。しかし 1a の(1)(2), (2)(1)の際には、3 反復目で (5, -4) くらいになってから後の収束が非常に遅く、正解に収束はしているが、他の射影法の 10 倍程度の反復回数、計算時間を要している。次の例題 2 も、Table 3 に示したように 2a に対する (1, 2)(1) 以外は収束しているか、あるいは収束値に近付いている。2a に対して (1, 2), (2)(1, 2), (1, 2)(2) は (-1, 2) という解に収束しているが、これも Table 1 には書かれていないが正解である。2b に対する(1)(2), (2)(1)は $|f(x)|$ がまだそれぞれ 1.2×10^{-3} , 3.2×10^{-3} で 10^{-3} 以下になっていないが、これらは更に反復を続けると、(1)(2)は 103 反復で (-0.70451, 1.49708) に、(2)(1)は 402 msec, 124 反復目で (-0.70957, 1.50294) に収束する。2a の (1, 2)(1) は、3 反復目で (8.30, 12.07) 付近にきた後、方程式が特異となって計算が打ち切られてしまっている。計算時間は、Table 3 から分るように、1 次元射影のみの場合には、2 次元射影をとり入れた場合の 2 倍から 20 倍も要している。2 次元射影をとり入れた場合の時間は、INTECH、あるいは NS03A (HMAX = 0) と同程度、あるいはそれ以下で、PROJA の有用性を示している。

例題 3 については、(1, 2), (2)(1, 2), (1, 2)(1), (1, 2)(2) の 4 つが最初から特異になって結

Table 3 Computation times (CPU msec) and solutions (in parentheses)
for various projections of PROJA subroutine

Example	(1)(2)	(2)(1)	(1, 2)	(1)(1, 2)
No.1a	173(3.3388, -2.9845)	172(3.3388, -2.9845)	22(3.3386, -2.9844)	20(3.3386, -2.9844)
No.1b	14(-1.53359, 0.06111)	19(-1.53344, 0.06112)	18(-1.53344, 0.06112)	15(-1.53340, 0.06113)
No.2a	39(-0.00148, 1.00067)	48(0.00144, 0.99908)	12(-1.00000, 2.00000)	18(0.00079, 0.99950)
No.2b	340(-0.70409, 1.49660)*	329(-0.71516, 1.50965)*	13(-0.70711, 1.50000)	18(-0.70711, 1.50000)
No.3	280(0.30151, 2.84185)	339(0.30374, 2.84769)*	**	14(0.29944, 2.83692)
No.4	352(-0.07016, -3.42839)*	317(-0.05715, 2.58211)*	**	**
No.5	341(0.00003, 3.78156)*	328(0.00003, 3.84599)*	**	**
No.6	315(0.46105, 0.21257)*	320(-0.64348, 0.42655)*	**	**
No.7	43(4.0000, 4.9999)	46(4.0000, 4.9995)	**	**
No.8	18(1.41421, 1.41421)	16(1.41421, 1.41421)	17(1.41421, 1.41421)	19(1.41421, 1.41421)

* Not converged even with 100 iterations
** Singular set of equations is generated

Table 3 (Continued)

Example	(2)(1,2)	(1,2)(1)	(1,2)(2)
No.1a	24(-1.53344, 0.06112)	16(3.3386, -2.9844)	21(3.3386, -2.9844)
No.1b	17(-1.53344, 0.06112)	14(-1.53344, 0.06112)	18(-1.53355, 0.06111)
No.2a	10(-1.00000, 2.00000)	**	10(-1.00000, 2.00000)
No.2b	15(-0.70711, 1.50000)	10(-0.70636, 1.49911)	11(-0.70711, 1.50000)
No.3	**	**	**
No.4	**	**	**
No.5	**	**	**
No.6	**	**	**
No.7	**	**	**
No.8	15(1.41422, 1.41421)	18(1.41421, 1.41421)	13(1.41422, 1.41421)

** Singular set of equations is generated.

果が求められていないが、(1)(1, 2)ではINTECH, NS03A (HMAX=0)の半分の時間で収束している。しかし1次元射影のみの場合には収束が遅く、(2)(1)では100回反復でも $|f(\underline{x})|$ が 2.1×10^{-3} で、115回、395 msecでようやく(0.30141, 2.84187)に収束している。例題4は、2次元射影をとり入れたすべての場合、最初の反復で x_1 が0,あるいはそれに近くなり、その後で方程式が特異になって結果が求められていない。1次元射影のみの場合も $|f(\underline{x})|$ が100回反復後で、(1)(2)の際0.070, (2)(1)の場合0.057で収束に達していない。更に200回まで反復しても両者とも殆んど動かず、(1)(2)では(-0.07015, -3.42793), (2)(1)では(-0.05713, 2.58110)になるに過ぎない。次の例題5から7までは、2次元射影法をとり入れたすべての場合、最初から方程式が特異になり不成功に終っている。また1次元射影法のみを用いた際でも、例題5, 6は200回反復でも収束に到っていない。例題5の方は、Table 3に示した100回反復では $|f(\underline{x})|$ が(1)(2)の際0.023, (2)(1)の際0.021となるが、200回反復でも、これらがそれぞれ0.014, 0.013になるに過ぎず、解は(0.00002, 4.27800), (0.00002, 4.30921)となるだけで殆んど改善されていない。例題6の方は更に悪く、100回反復では $|f(\underline{x})|$ が、(1)(2)の際0.539, (2)(1)の際1.648で、特に後者の場合、収束が非常に遅い。これを200回反復までもっていっても、それぞれ0.276, 0.345になり、解は(0.72391, 0.52405), (0.65600, 0.42700)となるに過ぎない。例題7については、1次元射影のみの場合は、Table 4に示したように13回の反復で、INTECH, NS03A (HMAX=0)と同程度の時間で正解に収束している。

これに対し例題8は、Table 3から分るように、すべての場合に3乃至4回の反復(Table 4参照)で正解に収束しているが、計算時間は、INTECHとNS03A (HMAX=0)との中間となっている。最後の4次元の例題9については、Table 5の下に示した射影法のうち、(1)(2, 3, 4), (2)(1, 3, 4)は最初の反復後、その他は最初から方程式が特異になり計算ができていない。1次元射影のみを用いた(1)(2)(3)(4)は、Table 5に示してあるように収束が非常に遅く、3次元と1次元の組み合わせ(1, 2, 3)(4)も、(1)(2)(3)(4)よりは良いが、100回反復を200回反復にしても殆んど改善がみえず、これ以上収束しそうもない。ただ(4)(1, 2, 3)のみが、たった2回の反復でINTECHの殆んど1/10の時間で、大体正解を与えていている。

以上から分るように、射影法のPROJAは、1次元射影のみを用いた方が解法としては安定しているが、一般に収束が非常に遅い。多次元射影をとり入れた際には、簡単な問題に対しては準Newton法のINTECH, NS03A (HMAX=0)より短時間で解が求められるが、一寸むつかしい問題では、すぐ方程式が特異となって計算ができない。例題9では、INTECHの1/10の時間で収束している例もあり、このようにうまくいく場合もあるが、まだ一般的には使えないようである。

5. 結論

連立非線形方程式の1つの解を、推定値から出発して反復により求める数値解法アルゴリズムを概観し、実変数の実関数に対する最近の計算プログラムの整備とベンチマーク・テストを実施した。対象としたプログラムは準Newton法のNS01A, NS03A, NONLIN, INTECH及び射

果が求められていないが、(1)(1, 2)ではINTECH, NS03A (HMAX=0)の半分の時間で収束している。しかし1次元射影のみの場合には収束が遅く、(2)(1)では100回反復でも $|f(\underline{x})|$ が 2.1×10^{-3} で、115回、395 msecでようやく(0.30141, 2.84187)に収束している。例題4は、2次元射影をとり入れたすべての場合、最初の反復で x_1 が0,あるいはそれに近くなり、その後で方程式が特異になって結果が求められていない。1次元射影のみの場合も $|f(\underline{x})|$ が100回反復後で、(1)(2)の際0.070, (2)(1)の場合0.057で収束に達していない。更に200回まで反復しても両者とも殆んど動かず、(1)(2)では(-0.07015, -3.42793), (2)(1)では(-0.05713, 2.58110)になるに過ぎない。次の例題5から7までは、2次元射影法をとり入れたすべての場合、最初から方程式が特異になり不成功に終っている。また1次元射影法のみを用いた際でも、例題5, 6は200回反復でも収束に到っていない。例題5の方は、Table 3に示した100回反復では $|f(\underline{x})|$ が(1)(2)の際0.023, (2)(1)の際0.021となるが、200回反復でも、これらがそれぞれ0.014, 0.013になるに過ぎず、解は(0.00002, 4.27800), (0.00002, 4.30921)となるだけで殆んど改善されていない。例題6の方は更に悪く、100回反復では $|f(\underline{x})|$ が、(1)(2)の際0.539, (2)(1)の際1.648で、特に後者の場合、収束が非常に遅い。これを200回反復までもっていっても、それぞれ0.276, 0.345になり、解は(0.72391, 0.52405), (0.65600, 0.42700)となるに過ぎない。例題7については、1次元射影のみの場合は、Table 4に示したように13回の反復で、INTECH, NS03A (HMAX=0)と同程度の時間で正解に収束している。

これに対し例題8は、Table 3から分るように、すべての場合に3乃至4回の反復(Table 4参照)で正解に収束しているが、計算時間は、INTECHとNS03A (HMAX=0)との中間となっている。最後の4次元の例題9については、Table 5の下に示した射影法のうち、(1)(2, 3, 4), (2)(1, 3, 4)は最初の反復後、その他は最初から方程式が特異になり計算ができていない。1次元射影のみを用いた(1)(2)(3)(4)は、Table 5に示してあるように収束が非常に遅く、3次元と1次元の組み合わせ(1, 2, 3)(4)も、(1)(2)(3)(4)よりは良いが、100回反復を200回反復にしても殆んど改善がみえず、これ以上収束しそうもない。ただ(4)(1, 2, 3)のみが、たった2回の反復でINTECHの殆んど1/10の時間で、大体正解を与えていている。

以上から分るように、射影法のPROJAは、1次元射影のみを用いた方が解法としては安定しているが、一般に収束が非常に遅い。多次元射影をとり入れた際には、簡単な問題に対しては準Newton法のINTECH, NS03A (HMAX=0)より短時間で解が求められるが、一寸むつかしい問題では、すぐ方程式が特異となって計算ができない。例題9では、INTECHの1/10の時間で収束している例もあり、このようにうまくいく場合もあるが、まだ一般的には使えないようである。

5. 結論

連立非線形方程式の1つの解を、推定値から出発して反復により求める数値解法アルゴリズムを概観し、実変数の実関数に対する最近の計算プログラムの整備とベンチマーク・テストを実施した。対象としたプログラムは準Newton法のNS01A, NS03A, NONLIN, INTECH及び射

Table 4 Number of iterations required for convergence
for various projections of PROJA subroutine

Example	(1)(2)	(2)(1)	(1,2)	(1)(1,2)	(2)(1,2)	(1,2)(1)	(1,2)(2)
No.1a	53	54	6	5	6	4	5
No.1b	3	5	5	3	4	3	4
No.2a	11	14	3	4	2	3	2
No.2b	103	124	3	4	3	2	2
No.3	82	115	*	3	*	*	*
No.4	>200	>200	*	*	*	*	*
No.5	>200	>200	*	*	*	*	*
No.6	>200	>200	*	*	*	*	*
No.7	13	13	*	*	*	*	*
No.8	4	4	4	4	3	4	3

* Singular set of equations is generated.

Table 5 Solutions of Example No.9 obtained with various projections of PROJA*

Projection	Number of iterations	CPU msec	Obtained solution	Achieved norm
(1)(2)(3)(4)	100**	470	0.88150, -0.24066, 1.61715, 0.33059	0.151
	200**	941	0.54207, -0.40712, 1.53103, 0.28757	0.111
(1,2,3)(4)	100**	466	-0.11646, 0.51313, 1.02618, 0.75662	0.004
	200**	978	-0.11625, 0.51213, 1.02593, 0.75585	0.004
(4), (1,2,3)	2	13	-0.03564, 0.18808, 0.95377, 0.48099	0.0004

* Singular set of equations is generated for projections: (1,2),(3,4);
(3,4),(1,2); (1),(2,3,4); (2,3,4),(1); (2),(1,3,4); (1,3,4),(2);
(3),(1,2,4); (1,2,4),(3); (1,2,3,4).

** Not converged.

影法のPROJAの5つで、NS03Aはヤコビアン行列が疎な系を扱うように、またINTECHは線形にのみ出てくる変数を別個に扱うように特徴づけられている。これらの計算ルーチンのうち、ヤコビアンの微分形を与える必要性はないのがINTECHとPROJAだが、NS03AもHMAX=0のオプションを用いる際には微分形が必要である。

ベンチマーク・テストは、他の文献でも用いられている8つの2次元問題、1つの4次元問題に対してなされた。結論としては、これらの5つのルーチンの中では、BrownによるNONLIN¹⁶⁾が、アルゴリズムの安定度、計算時間の両面から最善であった。ただしこのアルゴリズムは、解していく方程式の順序に依存し、線形に近いものを先に扱うように留意しなければならない。計算量がNewton法より減少するのは方程式が複雑な時のみで、計算効率の良いのは線形に近い非線形系に対してであると記述されているが、本報の例では困難とされている問題に対して、より有用であることが顯示されている。NONLINと同様、ヤコビアンの微分形を与えないといいNS-01AとNS03AのHMAX=1の2つは、性能としては大体同程度で、計算時間はNONLINの数倍以上を要求している。勿論NS03Aの特質から、ヤコビアン行列が疎な問題に対しては、NS03Aの方がNS01Aよりうまくいく場合がある。

ヤコビアンの微分形を与える計算ルーチンについては、射影法のPROJAは、準Newton法のINTECH、NS03AのHMAX=0と比較し、多次元射影を取り入れた場合、簡単な問題に対しては短時間で解が求められるが、一寸困難な問題では、すぐ方程式が特異となって計算できなくなる。INTECHとNS03AのHMAX=0は大体同程度の性能と考えてよいが、INTECHはその特質から線形変数をもつ系には適している。

²⁷⁾ なお最近の富士通のSSLには、ヤコビアンの微分形を必要としないNewton法のルーチン、単精度のNONLESと倍精度のNONLEDがあることを付記しておく。

謝 辞

準Newton法のNS03Aルーチンは、データが特殊な方法で格納されていたので、その整備には核設計研究室・筒井恒夫氏を煩わした。また、NONLINは同研究室の伊勢武治氏により整備されたものの提供を受け、PROJAの使用については藤村統一郎氏を煩わした。ここに、これら三氏に謝意を表す。

影法のPROJAの5つで、NS03Aはヤコビアン行列が疎な系を扱うように、またINTECHは線形にのみ出てくる変数を別個に扱うように特徴づけられている。これらの計算ルーチンのうち、ヤコビアンの微分形を与える必要性はないのがINTECHとPROJAだが、NS03AもHMAX=0のオプションを用いる際には微分形が必要である。

ベンチマーク・テストは、他の文献でも用いられている8つの2次元問題、1つの4次元問題に対してなされた。結論としては、これらの5つのルーチンの中では、BrownによるNONLIN¹⁶⁾が、アルゴリズムの安定度、計算時間の両面から最善であった。ただしこのアルゴリズムは、解していく方程式の順序に依存し、線形に近いものを先に扱うように留意しなければならない。計算量がNewton法より減少するのは方程式が複雑な時のみで、計算効率の良いのは線形に近い非線形系に対してであると記述されているが、本報の例では困難とされている問題に対して、より有用であることが顯示されている。NONLINと同様、ヤコビアンの微分形を与える必要性はNS-01AとNS03AのHMAX=1の2つは、性能としては大体同程度で、計算時間はNONLINの数倍以上を要求している。勿論NS03Aの特質から、ヤコビアン行列が疎な問題に対しては、NS03Aの方がNS01Aよりうまくいく場合がある。

ヤコビアンの微分形を与える計算ルーチンについては、射影法のPROJAは、準Newton法のINTECH、NS03AのHMAX=0と比較し、多次元射影を取り入れた場合、簡単な問題に対しては短時間で解が求められるが、一寸困難な問題では、すぐ方程式が特異となって計算できなくなる。INTECHとNS03AのHMAX=0は大体同程度の性能と考えてよいが、INTECHはその特質から線形変数をもつ系には適している。

²⁷⁾ なお最近の富士通のSSLには、ヤコビアンの微分形を必要としないNewton法のルーチン、単精度のNONLESと倍精度のNONLEDがあることを付記しておく。

謝 詞

準Newton法のNS03Aルーチンは、データが特殊な方法で格納されていたので、その整備には核設計研究室・筒井恒夫氏を煩わした。また、NONLINは同研究室の伊勢武治氏により整備されたものの提供を受け、PROJAの使用については藤村統一郎氏を煩わした。ここに、これら三氏に謝意を表す。

参考文献

- 1) 朝岡卓見：“高次代数方程式の数値解法プログラム（SSL の拡充とベンチマーク・テスト No.1）”，JAERI - M 7335 (1977)
- 2) 藤村統一郎：“連立一次方程式を解くプログラムの開発と整備（SSL の拡充とベンチマーク・テスト No.4）”，JAERI - M 7553 (1978)
- 3) Barnes J.G.P.: "An Algorithm for Solving Non-Linear Equations Based on the Secant Method", Computer J., 8, 66 (1965)
- 4) Broyden C.G.: "A Class of Methods for Solving Nonlinear Simultaneous Equations", Math. Comp., 19, 577 (1965)
- 5) Broyden C.G.: "Quasi-Newton Methods and Their Application to Function Minimisation", Math. Comp., 21, 368 (1967)
- 6) Broyden C.G.: "A New Method of Solving Nonlinear Simultaneous Equations", Computer J., 12, 94 (1969)
- 7) Shampine L.F., Gordon M.K.: "Solving Systems of Nonlinear Equations", SAND-75-0450 (1975)
- 8) McCue H.K.: "Programs NAES and SS: User-Oriented Programs for Solving Nonlinear Algebraic Equations and Ordinary Differential Equations", UCID-17267 (1976)
- 9) Powell M.J.D.: "A Fortran Subroutine for Solving Systems of Non-Linear Algebraic Equations", AERE-R 5947 (1968)
- 10) Haselgrove C.B.: "The Solution of Non-Linear Equations and of Differential Equations with Two-Point Boundary Conditions", Computer J., 4, 255 (1961)
- 11) 富士通：“FACOM 230-60 SSL（科学用サブルーチン・ライブラリ）使用方法解説書，FORTRAN 編”，(1972)
- 12) Reid J.K.: "Fortran Subroutines for the Solution of Sparse Systems of Non-Linear Equations", AERE-R 7293 (1972)
- 13) Reid J.K.: "Two Fortran Subroutines for Direct Solution of Linear Equations Whose Matrix Is Sparse, Symmetric and Positive-Definite", AERE-R 7119 (1972)
- 14) 藤村統一郎, 他(編)：“JSSL（原研版・科学用サブルーチン・ライブラリー）マニュアル”，JAERI - M 7102 (1977)
- 15) Brown K.M.: "A Quadratically Convergent Newton-like Method Based upon Gaussian Elimination", SIAM J. Numer. Anal., 6, 560 (1969)
- 16) Brown K.M.: "Computer Oriented Algorithms for Solving Systems of Simultaneous Nonlinear Algebraic Equations", in "Numerical Solution of Systems of Nonlinear Algebraic Equations" (Byrne G.D., Hall C.A., Ed.), Academic Press (1973)

- 17) Boggs P.T.: "The Solution of Nonlinear Systems of Equations by A-Stable Integration Techniques", SIAM J. Numer. Anal., 8, 767 (1971)
- 18) Robb J.H.: "Evaluation of an Integration Technique for the Solution of Nonlinear Equations", COO-1469-226 (1973)
- 19) Tokko M., Keller R.F.: "Optimal Three-Dimensional Projection Method for Solving Linear Algebraic Equations", IS-3039 (1972)
- 20) Harms D.W., Keller R.F.: "A Direct Method Based on Projections for Solving Systems of Linear Equations", IS-3396 (1974)
- 21) MacEachern A., Keller R.F.: "A Projection Method for Solving Non-Linear System of Equations", IS-3040 (1972)
- 22) Georg D.D., Keller R.F.: "A Computer Program for Solving Non-Linear Systems of Equations", IS-3174 (1973)
- 23) Schmitz J.A. et al.: "Interactive Computer Programs for Linear and Non-Linear Projection Methods", IS-3179 (1973)
- 24) Georg D.D., Keller R.F.: "A Projection Algorithm for Solving Non-linear Systems of Equations", IS-M-16 (CONF-740511-4) (1974)
- 25) Georg D.D., Keller R.F.: "Stepwise Development of Algorithms for the Nonlinear Projection Methods", IS-3595 (1975)
- 26) Nguyen L.V., Keller R.F.: "Projection-Based Methods for Solving Systems of N Nonlinear Equations in N Unknowns", IS-3546 (1975)
- 27) 富士通: "FACOM FORTRAN, SSL 使用手引書", (1976)

Appendix 1 FORTRAN Lists of NS01A Subroutine and its Test Program

ISN	ST-NO	SOURCE PROGRAM
1		DIMENSION X(2),F(2),AJINV(2,2),W(100)
2		X(1)=15,
3		X(2)=-2,
4		N=2
5		STEP=0.01
6		ACC=0.00001
7		MAXFUN=100
8		DMAX=10,
9		CALL CLOCKM(IJJ)
10		WRITE (6,202) IJJ
11		CALL NS01A (2,X,F,AJINV,STEP,DMAX,ACC,MAXFUN,1,W)
12		CALL CLOCKM(IJJ)
13		WRITE (6,202) IJJ
14	202	FORMAT (5X,'TIME',110,'MSEC')
15		STOP
16		END

ISN	ST-NO	SOURCE PROGRAM
1		SUBROUTINE CALFUN (N,X,F)
2		DIMENSION X(1),F(1)
3		F(1)=-13.+X(2)+((-X(1)+5.)*X(1)-2.)*X(1)
4		F(2)=-29.+X(2)+((X(1)+1.)*X(1)-14.)*X(1)
5		RETURN
6		END

ISN	ST-NO	SOURCE PROGRAM
1		SUBROUTINE NS01A (N,X,F,AJINV,DSTEP,DMAX,ACC,MAXFUN,IPRINT,W)
2	C	DIMENSION X(1),F(1),AJINV(N,N),W(1)
3	C	SET VARIOUS PARAMETERS
4	C	MAXC=0
5	C	'MAXC' COUNTS THE NUMBER OF CALLS OF CALFUN
6	C	NT=N+4
7	C	NTEST=NT
8	C	'NT' AND 'NTEST' CAUSE AN ERROR RETURN IF F(X) DOES NOT DECREASE
9	C	'DTEST' IS USED TO MAINTAIN LINEAR INDEPENDENCE
10	C	DTEST=FLOAT(N+N)-0.5
11	C	NX=N
12	C	NF=NX+N
13	C	NN=NF+N
14	C	MW=NW+N
15	C	NDC=MW+N
16	C	ND=NDC-N
17	C	THESE PARAMETERS SEPARATE THE WORKING SPACE ARRAY W
18	C	FMIN=0.
19	C	USUALLY 'FMIN' IS THE LEAST CALCULATED VALUE OF F(X),
20	C	AND THE BEST X IS IN W(NX+1) TO W(NX+N)
21	C	DD=0,
22	C	USUALLY DD IS THE SQUARE OF THE CURRENT STEP LENGTH
23	C	DSS=DSTEP*DSTEP
24	C	DMDMAX*DMAX
25	C	DMM=4.*DM
26	C	IS=5
27	C	'IS' CONTROLS A 'GO TO' STATEMENT FOLLOWING A CALL OF CALFUN
28	C	TINC=1.
29	C	'TINC' IS USED IN THE CRITERION TO INCREASE THE STEP LENGTH
30	C	START A NEW PAGE FOR PRINTING
31	C	IF (IPRINT) 1:1:85
32	85	PRINT 86
33	86	FORMAT (1H1)
34	C	CALL THE SUBROUTINE CALFUN
35	1	MAXC=MAXC+1
36	C	CALL CALFUN (N,X,F)
37	C	TEST FOR CONVERGENCE
38	F50=0,	
39	DO 2 I=1,N	
40	F50=F50+F(I)*F(I)	
41	2 CONTINUE	
42	IF (F50>ACC) 3:3,4	
43	C	PROVIDE PRINTING OF FINAL SOLUTION IF REQUESTED
44	3 IF (IPRINT) 5:5:6	
45	5 PRINT 7,MAXC	
46	7 FORMAT (//5X,'THE FINAL SOLUTION CALCULATED BY NS01A REQUIRED',	
47	115,' CALLS OF CALFUN, AND IS')	
48	PRINT 8,(I,X(I))*F(I):I=1:N)	
49	8 FORMAT (//4X,'I',7X,'X(I)',12X,'F(I)')//(15.2E17,8))	
50	PRINT 9,F50	
51	9 FORMAT (75X,'THE SUM OF SQUARES IS',E17,8)	
52	5 RETURN	
53	C	TEST FOR ERROR RETURN BECAUSE F(X) DOES NOT DECREASE
54	4 GO TO (10,11,11,10,11),IS	
55	10 IF (F50>FMIN) 15,20,20	
56	20 IF (DD-DSS) 12:12,11	
57	12 NTTEST=NTTEST+1	

ISN ST-NO SOURCE PROGRAM (NS01A)

```

42 IF (NTEST) 13,14,11
43 14 PRINT 16,N
44 16 FORMAT (//5X,'ERROR RETURN FROM NS01A BECAUSE',15,
45   1' CALLS OF CALFUN FAILED TO IMPROVE THE RESIDUALS')
46 17 DO 18 I=1,N
47   X(I)=W(NX+I)
48   F(I)=W(NF+I)
49 18 CONTINUE
50   FSQ=FMIN
51   GO TO 3
52 C   ERROR RETURN BECAUSE A NEW JACOBIAN IS UNSUCCESSFUL
53 13 PRINT 19
54 19 FORMAT (//5X,'ERROR RETURN FROM NS01A BECAUSE F(X) ',1
55   'FAILED TO DECREASE USING A NEW JACOBIAN')
56   GO TO 17
57 15 NTEST=N
58 C   TEST WHETHER THERE HAVE BEEN MAXFUN CALLS OF CALFUN
59 11 IF (MAXFUN-MAXC) 21,21,22
60 21 PRINT 23, MAXC
61 23 FORMAT (//5X,'ERROR RETURN FROM NS01A BECAUSE THERE HAVE BEEN',
62   15+', CALLS OF CALFUN')
63   IF (FSQ=FMIN) 3,17,17
64 C   PROVIDE PRINTING IF REQUESTED
65 22 IF (IPRINT) 24,24,25
66 24 PRINT 26,MAXC
67 26 FORMAT (//5X,'AT THE',15,', TH CALL OF CALFUN WE HAVE')
68   PRINT 8,(I,X(I),F(I),I=1,N)
69   PRINT 9,FSQ
70 24 GO TO (27,28,29,87,30),IS
71 C   STORE THE RESULT OF THE INITIAL CALL OF CALUFUN
72 30 FMIN=FSQ
73 31 DO 31 I=1,N
74   W(NX+I)=X(I)
75   W(NF+I)=F(I)
76 31 CONTINUE
77 C   CALCULATE A NEW JACOBIAN APPROXIMATION
78 32 IC=0
79 33 IS=3
80 34 IC=IC+1
81   X(IC)=X(IC)+DSTEP
82   GO TO 1
83 29 K=IC
84 30 DO 34 I=1,N
85   W(K)=(F(I)-W(NF+I))/DSTEP
86   K=K+1
87 34 CONTINUE
88   X(IC)=X(NX+IC)
89   IF (IC=N) 33,35,35
90 C   CALCULATE THE INVERSE OF THE JACOBIAN AND SET THE DIRECTION MATRIX
91 35 K=0
92 36 DO 36 I=1,N
93 37 DO 37 J=1,N
94   K=K+1
95   AJINV(I,J)=W(K)
96   W(ND+K)=0.
97 37 CONTINUE
98   W(NDC+K+1)=1,
99   W(NDC+1)=1.+FLOAT(N-1)
100 36 CONTINUE
101 37 CALL MINV2S (AJINV,N,N,,000001,Ill)
102 38 IF (ILL.EQ.0) GO TO 38
103 39 WRITE (6,138) ILL
104 138 FORMAT (//5X,'STOP BY MINV2S DUE TO ILL=',15)
105 38 STOP
106 C   START ITERATION BY PREDICTING THE DESCENT AND NEWTON MINIMA
107 39 DS=0,
108 40 DN=0,
109 41 SP=0,
110 42 DO 39 I=1,N
111   X(I)=0,
112   F(I)=0,
113   K=1
114 43 DO 40 J=1,N
115   X(I)=X(I)-W(K)*W(NF+J)
116   F(I)=F(I)-AJINV(I,J)*W(NF+J)
117   K=K+N
118 40 CONTINUE
119   DS=DS+X(I)*X(I)
120   DN=DN+F(I)*F(I)
121   SP=SP+X(I)*F(I)
122 41 CONTINUE
123 C   TEST WHETHER A NEARBY STATIONARY POINT IS PREDICTED
124   IF (FMIN*FMIN=DMIN*DS) 41,41,42
125   C   IF SO THEN RETURN OR REVISE JACOBIAN
126 42 GO TO (43+9,44),IS
127 44 PRINT 45
128 45 FORMAT (//5X,'ERROR RETURN FROM NS01A BECAUSE A NEARBY ',1
129   'STATIONARY POINT OF F(X) IS PREDICTED')
130 46 GO TO 17
131 43 NTEST=0
132 44 DO 46 I=1,N
133   X(I)=W(NX+I)
134 46 CONTINUE
135 47 GO TO 32
136 C   TEST WHETHER TO APPLY THE FULL NEWTON CORRECTION
137 48 IS=2
138 49 IF (DN=DD) 47,47,48
139 50 DD=AMAX1(DN,DS)
140 51 DS=0.25*DN
141 52 TINC=1,
142   IF (DN=DS) 49+58,58
143 53 IS=4
144 54 GO TO 80
145 C   CALCULATE THE LENGTH OF STEEPEST DESCENT STEP
146 55 K=0
147 56 DMULT=0,
148 57 DO 51 I=1,N
149   D=0,
150   DO 52 J=1,N
151   K=K+1
152   D=D+W(K)*X(J)
153 52 CONTINUE
154 55 DMULT=DMULT+D*D
155 51 CONTINUE

```

```

1 SN ST-NO SOURCE PROGRAM ( NS01A )

141      DMULT=DS/DMULT
142      DS=DS*DMULT+DMULT
143 C TEST WHETHER TO USE THE STEEPEST DESCENT DIRECTION
144      IF (DS=DD) 53,54,54
145      C TEST WHETHER THE INITIAL VALUE OF DD HAS BEEN SET
146      54 IF (DD) 55,55,56
147      55 DD=AMAX1(DS,AMIN1(DM+DS))
148      DS=DS/(DMULT*DMULT)
149      GO TO 41
150      C SET THE MULTIPLIER OF THE STEEPEST DESCENT DIRECTION
151      56 ANMULT=0,
152      DMULT=DMULT*SQRT(DD/DS)
153      GO TO 98
154 C INTERPOLATE BETWEEN THE STEEPEST DESCENT AND THE NEWTON DIRECTIONS
155      53 SP=SP*DMULT
156      ANMULT=(DD-DS)/((SP-DS)+SQRT((SP-DS)**2+(DN-DD)*(DD-DS)))
157      DMULT=DMULT*(1,-ANMULT)
158 C CALCULATE THE CHANGE IN X AND ITS ANGLE WITH THE FIRST DIRECTION
159      98 DN=0,
160      SP=0,
161      DO 57 I=1,N
162      F(I)=DMULT*X(I)+ANMULT*F(I)
163      DN=DN+F(I)*F(I)
164      SP=SP+F(I)*W(ND+I)
165      57 CONTINUE
166      DS=0.25*DN
167 C TEST WHETHER AN EXTRA STEP IS NEEDED FOR INDEPENDENCE
168      IF (W(NDC+1)-DTEST) 58,58,59
169      59 IF (SP*SP-DS) 60,58,58
170 C TAKE THE EXTRA STEP AND UPDATE THE DIRECTION MATRIX
171      60 IS=2
172      DO 61 I=1,N
173      X(I)=(NX+I)+DSTEP*W(ND+I)
174      W(NDC+1)=W(NDC+I+1)+1,
175      61 CONTINUE
176      W(ND)=1,
177      DO 62 I=1,N
178      K=ND+I
179      SP=W(K)
180      DO 63 J=2+N
181      W(K)=W(K+N)
182      K=N+K
183      63 CONTINUE
184      W(K)=SP
185      62 CONTINUE
186      GO TO 1
187 C EXPRESS THE NEW DIRECTION IN TERMS OF THOSE OF THE DIRECTION
188 C MATRIX, AND UPDATE THE COUNTS IN W(NDC+1) ETC.
189      58 SP=0,
190      K=ND
191      DO 64 I=1,N
192      X(I)=DW
193      DW=0,
194      DO 65 J=1,N
195      KK+1
196      DW=DW+F(J)*W(K)
197      65 CONTINUE
198      GO TO 66,66,IS
199      66 W(NDC+1)=W(NDC+I)+1,
200      SP=SP+DW*DW
201      IF (SP-DS) 64,64,67
202      67 IS=1
203      KK=I
204      X(I)=DW
205      GO TO 69
206      68 X(I)=DW
207      69 W(NDC+1)=W(NDC+I)+1+1,
208      64 CONTINUE
209      W(ND)=1,
210      C REORDER THE DIRECTIONS SO THAT KK IS FIRST
211      IF (KK=1) 70,70,71
212      71 KS=NDC+KK+N
213      DO 72 I=1,N
214      K=KS+I
215      SP=W(K)
216      DO 73 J=2,KK
217      W(K)=W(K-N)
218      K=N+K
219      73 CONTINUE
220      W(K)=SP
221      72 CONTINUE
222 C GENERATE THE NEW ORTHOGONAL DIRECTION MATRIX
223      70 DO 74 I=1,N
224      W(NW+I)=0.
225      74 CONTINUE
226      SP=X(I)*X(I)
227      K=ND
228      DO 75 I=2,N
229      DS=SQRT(SP*(SP+X(I)*X(I)))
230      DW=SP/DS
231      DS=X(I)/DS
232      SP=SP-X(I)*X(I)
233      DO 76 J=1,N
234      K=K+1
235      W(NW+J)=W(NW+J)+X(I-1)*W(K)
236      W(K)=DW*W(K+N)-DS*W(NW+J)
237      76 CONTINUE
238      75 CONTINUE
239      SP=1./SQRT(DN)
240      DO 77 I=1,N
241      K=K+1
242      W(K)=SP*F(I)
243      77 CONTINUE
244 C CALCULATE THE NEXT VECTOR X+, AND PREDICT THE RIGHT HAND SIDES
245      80 FNP=0,
246      K=0
247      DO 78 I=1,N
248      X(I)=W(NX+I)+F(I)
249      W(NW+I)=W(NF+I)
250      DO 79 J=1,N
251      K=K+1
252      W(NW+J)=W(NW+I)+W(K)*F(J)
253      79 CONTINUE
254      FNP=FNP+W(NW+I)**2
255

```

```

1SN  ST-NO      SOURCE PROGRAM   ( NS01A )

243    78 CONTINUE
244    C CALL CALFUN USING THE NEW VECTOR OF VARIABLES
245    C GO TO 1
246    C UPDATE THE STEP SIZE
247    27 DMULT=0.9*FMIN+0.1*FNP-FSQ
248    IF (DMULT> B2,B1,81
249    82 DD=AMAX1(DS5,0.25*DD)
250    TINC=1,
251    IF (FSQ-FMIN) 83+28+28
252    C TRY THE TEST TO DECIDE WHETHER TO INCREASE THE STEP LENGTH
253    81 SP=0,
254    SS=0;
255    DO 84 I=1,N
256    SP=SP+ABS(F(I)*(F(I)-W(NW+I)))
257    SS=SS+(F(I)-W(NW+I))**2
258    84 CONTINUE
259    PJ=1.+DMULT/(SP+ SQR(SP*SP+DMULT*SS))
260    SP=AMINI(4.,TINC,PJ)
261    DD=AMINI(DM,SP*DD)
262    GO TO 83
263    C IF F(X) IMPROVES STORE THE NEW VALUE OF X
264    87 IF(FSQ-FMIN) 83,50,50
265    FMIN=FSQ
266    DO 88 I=1,N
267    SP=X(I)
268    X(I)=W(NX+I)
269    W(NX+I)=SP
270    SP=F(I)
271    F(I)=W(NF+I)
272    W(NF+I)=SP
273    W(NW+I)=W(NW+I)
274    88 CONTINUE
275    C CALCULATE THE CHANGES IN F AND IN X
276    28 DO 89 I=1,N
277    X(I)=X(I)-W(NX+I)
278    F(I)=F(I)-W(NF+I)
279    89 CONTINUE
280    C UPDATE THE APPROXIMATIONS TO J AND TO AJINV
281    K=0
282    DO 90 I=1,N
283    W(MW+I)=X(I)
284    W(NW+I)=F(I)
285    90 CONTINUE
286    SP=0;
287    SS=0;
288    DO 92 J=1,N
289    DS=0,
290    DO 93 J=1,N
291    DS=DS+AJINV(J,I)*X(J)
292    93 CONTINUE
293    SP=SP+DS*F(I)
294    SS=SS+X(I)*X(I)
295    F(I)=DS
296    92 CONTINUE
297    DMULT=1,
298    IF (ABS(SP)-0.1*SS) 94,95,95
299    94 DMULT=0.8
300    95 PJ=DMULT/SS
301    PA=DMULT/(DMULT*SP+(1.-DMULT)*SS)
302    K=0
303    DO 96 I=1,N
304    SP=PJ*W(NW+I)
305    SS=PA*W(MW+I)
306    DO 97 J=1,N
307    K=K+1
308    W(K)=W(K)+SP*X(J)
309    AJINV(I,J)=AJINV(I,J)+SS*F(J)
310    97 CONTINUE
311    96 CONTINUE
312    GO TO 38
313    END
314

```

**Appendix 2 FORTRAN Lists of NS03A Subroutine and its Test Program
for HMAX=1**

ISN	ST-NO	SOURCE PROGRAM
1		IMPLICIT DOUBLE PRECISION (A=H,O-Z)
2		DIMENSION X(4),A(8),V(4),W(500),HMAX(2),IP(6),IPA(6),IRN(14),*
3		* IRNA(10)
4		M=2
5		N=2
6		MN=M+N
7		X(1)=0,
8		X(2)=1,
9		SAC=.000001
10		STPMIN=0.0
11		MAXFUN=100
12		IPRINT=-1
13		IW=500
14		HMAX(1)=1
15		CALL CLOCKM(IJJ)
16		WRITE (6,202) IJJ
17		DO 20 I=1,3
18		IP(I)=2*I-1
19		DO 30 I=1,2
20		IRN(I)=I
21		IRN(I+2)=I
22		IRNA(I)=0
23		30 IRNA(I+2)=0
24		WRITE (6,1000) (IP(I),I=1,3)
25		WRITE (6,1000) (IRN(I),I=1,4)
26		1000 FORMAT (5X,2015)
27		CALL CLOCKM(IJJ)
28		WRITE (6,202) IJJ
29		CALL NS03A (OUNC,M,N,X,SAC,STPMIN,MAXFUN,IPRINT,W,IW,
30		1,IRN,IP,A,IRNA,IPA,HMAX)
31		CALL CLOCKM(IJJ)
32		WRITE (6,202) IJJ
33		WRITE(6,100) (X(I),I=1,2)
34		DO 10 I=1,2
35		CALL NS03F(I,V)
36		10 WRITE(6,101) I,(V(J),J=1,2)
37		CALL CLOCKM(IJJ)
38		WRITE (6,202) IJJ
39		100 FORMAT (//' FINAL X',10X,1P2E20.5)
40		101 FORMAT (//' VARIANCE MATRIX OF COL.',13.5X,1P2E20.5)
41		202 FORMAT (5X,'TIME',10,'MSEC')
42		STOP
		END

ISN	ST-NO	SOURCE PROGRAM
1		SUBROUTINE FUNC (N,X,F,M,D)
2		IMPLICIT DOUBLE PRECISION (A=H,O-Z)
3		DIMENSION X(N),F(M),D(1)
4		F(1)=10000.*X(1)*X(2)-1.
5		F(2)=EXP(-X(1))+EXP(-X(2))-1.0001
6		RETURN
7		END
1		SUBROUTINE NS03A (OUNC,M,N,X,SAC,STPMIN,MAXFUN,IPRINT,W,IW,
2		1,IRN,IP,A,IRNA,IPA,HMAX)
3		IMPLICIT DOUBLE PRECISION (A=H,O-Z)
4		REAL STEP(2)
5	C	REAL*4 X(1),W(1),A(1),LAMDA
6	C	DOUBLE PRECISION
7	C	1 X(1),W(1),A(1),LAMDA,HMAX(1)
8	C	EQUIVALENCE (STEP(1),HH,IG1)
9	C	INTEGER IRN(1),IP(1),IRNA(1),IPA(1)
10	C	DATA ZERO/0.0/,TWO/2.0/,TEN/1E1/,EPS/1E-6/,LENRL/4/,BIG/1E50/
11	C	1,ONE/1E0/,PI/3.1415926535897932384626433832795028841971604338689/
12	C	DATA ZERO/0.0/,TWO/2.0/,TEN/1E1/,EPS/1D-14/,LENRL/4/,BIG/1D50/
13	C	1,ONE/1D0/,PI/3.1415926535897932384626433832795028841971604338689/
14	C	LAMINC IS .TRUE. IF A SPECIAL STEP IS BEING MADE PRIOR TO A
15	C	DECREASE IN D. CHANGE IS .TRUE. IF X HAS CHANGED SINCE THE LAST CALL
16	C	OF TD02. UPDATE IS SET .TRUE. IF S HAS INCREASED SUFFICIENTLY
17	C	LITTLE FOR IT TO BE APPROPRIATE TO USE THE SCHUBERT UPDATING FORMULA
18	C	ON THE APPROXIMATE JACOBIAN. REDIFF IS .TRUE. IF ANOTHER CALL OF
19	C	TD02 IS REQUIRED.
20	C	LOGICAL LAMINC,CHANGE,UPDATE,ADJUST,REDIFF
21	C	COMMON/TD02D /DUMMY(5),IDUMMY,ADJUST
22	C	COMMON /NS03B /RHO,SIG,HFAC,FAIM,LP
23	C	SET INITIAL VALUES FOR VARIOUS VARIABLES.
24	C	DA1M=BIG
25	C	DBIG
26	C	ALFA=(ONE-SIG)*PS
27	C	REDIFF=.FALSE.
28	C	ADJUST=.FALSE.
29	C	DNORM=ZERO
30	C	LAMINC=.FALSE.
31	C	LAMDA=ZERO
32	C	IT=0
33	C	NFUN=0
34	C	PARTITION THE STORAGE IN W, DURING THE ITERATION *(NS) ONWARDS
35	C	C IS AVAILABLE TO THE LINEAR EQUATION SOLVER.
36	C	NR=0
37	C	NF=0
38	C	IF(IPA(1).NE.0)NF=M+1
39	C	NPHI=NF+M
40	C	NB=NPHI+IP(N+1)-1
41	C	ND=NB+M
42	C	NDC=ND+N
43	C	NNR=NB
44	C	IF(IPA(1).NE.0)NNR=NDC
45	C	NH=NDC+M
46	C	N12=(N+4+4)/LENRL
47	C	IG=NH*N12
48	C	NS=IG+N12+1
49	C	IF(HMAX(1).EQ.ZERO)NS=NH
50	C	WRITE(6,1000)M,N,IT,NR,NF,NPHI,NB,ND,NDC,NNR,NH,N12,IG,NS
51	C	1000 FORMAT (5X,2015)
52	C	CALL NS03C (M,N,IRN,IP,IRNA,IPA+W,W,IW-2,NC)
53	C	THIS CALL PERFORMS PRELIMINARY ANALYSIS OF THE SPARSITY STRUCTURE
54	C	C AND HAS THE WHOLE OF W AS WORKSPACE. FOLLOWING THIS CALL *(NC)....
55	C	C *(IW-2) IS REGARDED AS PRIVATE WORKSPACE FOR NS03C.
56	C	IF(NS.GE.NC) GO TO 740

```

ISN ST-NO SOURCE PROGRAM [ NS03A ]
39 110 CALL FUNC(N,X,W(NF+1),M,W(NPH1+1))
40 NFUN=NFUN+1
41 IF(IPA(1),EQ,0) GO TO 130
42 DU 120 I=1,M
43 120 W(NR+1)=W(NF+1)
44 CALL MC09A(M,N,A,W(NR+1),.FALSE.,IRNA,IPA)
45 CALL MC02AS(W(NR+1),W(NR+1),S,M)
46 IF(HMAX(1),EQ,ZERO) GO TO 160
47 C SET PARAMETERS FOR FIRST TD02 CALL,
48 I=1
49 W(I+1)=HH
50 STEP(1)=HFACT*HMAX(1)
51 STEP(2)=HFACT*HMAX(1)
52 DO 150 I=1,N12
53 150 W(NH+1)=HH
54 IF(S,LE,SAC) GO TO 160
55 CALL TD02AC(M,N,IRNP,IP,BUNG+W(NH+1),X,T,W(NF+1),-HMAX(1),W(NPH1+1),
56 1 W(I+1),W(NB+1),W(NDC+1))
57 NFUN=NFUN+W(NB+1)
58 CHANGE=.FALSE.,
59 C COMMENCE ITERATION BY PROVIDING PRINTING.
60 160 IT=IT+1
61 CALL MC02AS(X,X,XNORM,M)
62 XNORM= SQRT(XNORM)
63 XNORM=D SORT(XNORM)
64 IPRTV=1
65 IF(CPRINT,EQ,0) GO TO 180
66 IF(MOD(IT-1,IABS(IPRTV)),NE,0)GO TO 180
67 IPRTV=2
68 WRITE(CL,P16.5) IT,NFUN,LAMDA,S,XNORM,DNORM
69 FORMAT(' AFTER ',I4,' ITERATIONS AND ',I4,' CALLS OF FUNC LAMDA IS',
70 1PE12.4,' AND THE SUM;',
71 1,' OF SQUARES OF RESIDUALS IS ',E12.4,' THE NORMS OF THE CURRENT',
72 1,' INTERATE X AND THE LAST CHANGE MADE TO IT ARE ',2E12.4)
73 IF(CPRINT,GT,0) GO TO 180
74 IPRTV=3
75 WRITE(CL,P17.0)(I,X(I),I=1,N)
76 FORMAT(' THE CURRENT ITERATE X IS ',5(I8,1PE16.8))
77 WRITE(CL,P17.5)(I,(XN+I),I=1,M)
78 FORMAT(' THE CURRENT VECTOR OF RESIDUALS IS ',5(I8,1PE16.8))
79 IF(S,LE,SAC) GO TO 750
80 IF(NFUN,GE,MAXFUN) GO TO 720
81 IF(CLAMINC) GO TO 190
82 CALL NS03D(W(NPH1+1),A,LAMDA,W(NB+1))
83 C THIS CALL FACTURISES THE CURRENT MATRIX,
84 CALL NS03E(W(NR+1),W(NB+1),W(D+1),IPRTV,PRED,DD,RJD,DG)
85 C THIS CALL SOLVES CURRENT LINEAR PROBLEM,
86 DNORM= DSQRT(DD)
87 DNORM= DSQRT(DD)
88 IF(DNORM,LE,EPS*XNORM ,OR, DNORM,LE,STPMIN) GO TO 750
89 GO TO 200
90 DU 195 I=1,M
91 195 W(NDC+1)=-W(NB+1)
92 IF(CPA(1),NE,0)CALL MC09A(M,N,A,W(ND+1),W(NDC+1),.FALSE.,IRNA,
93 1PA)
94 CALL MC02AS(W(NDC+1),W(NR+1),RJD,M)
95 CALL MC02AS(W(NDC+1),W(NDC+1),DJD,M)
96 UP=5
97 IF(DJD,GT,ZERO)U=RJD/DJD
98 C IF(ABS(U),GT,P9)U=SIGN(P9,U)
99 C IF(ABS(U),LT,P1)U=SIGN(P1,U)
100 IF(DABS(U),GT,P9)U=DSIGN(P9,U)
101 IF(DABS(U),LT,P1)U=DSIGN(P1,U)
102 DU 196 I=1,N
103 196 W(ND+1)=X(I)-U*W(ND+1)
104 CALL FUNC(N,W(ND+1),W(NDC+1),M,W)
105 FDD=ZERO
106 DU 197 I=1,M
107 FDD=FDD+(U*W(NB+1)+W(NF+1)-W(NDC+1))*2
108 W(NNR+1)=W(NDC+1)
109 H=BIG
110 C IF((FDD,NE,ZERO))H=ALFA* ABS(U)*(ONE-U)* SQRT(DJJD/FDD)
111 IF((FDD,NE,ZERO))H=ALFA*DABS(U)*(ONE-U)*DSQRT(DJJD/FDD)
112 DAIM=DNORM*N
113 MDIFF=CHANGE .AND, DNORM,LE,DAIM*FAIM
114 GO TO 291
115 C EVALUATE FUNCTION AT NEW POINT
116 DO 290 I=1,N
117 W(ND+1)=W(ND+1)+X(I)
118 CALL FUNC(N,W(ND+1),W(NNR+1),M,W(NPH1+1))
119 NFUN=NFUN+1
120 IF(IPA(1),EQ,0) GO TO 295
121 DO 292 I=1,M
122 W(ND+1)=W(NNR+1)
123 CALL MC09A(M,N,A,W(ND+1),W(NNR+1),.FALSE.,IRNA,IPA)
124 CALL MC02AS(W(NNR+1),W(NNR+1),SN,M)
125 C CALCULATE NEW VALUE FOR LAMDA
126 IF(CLAMINC) GO TO 297
127 RATIO=(S-SN)/PRED
128 IF(RATIO,GE,ONE)RATIO= TWO-EPS-RATIO
129 IF(RATIO,GT,SIG)GO TO 320
130 IF(MDIFF .AND, ADJUST) GO TO 750
131 IF(CHEFF)ADJUST=.TRUE.
132 IF(RATIO,GE,RHO) GO TO 300
133 IF(DNORM,GT,D*TWO) GO TO 325
134 IF(HMAX(EQ,ZERO)) GO TO 303
135 D=DNORM*P5
136 IF(DNORM,GT,DAIM*FAIM) GO TO 325
137 LAMINC=.TRUE.
138 GO TO 329
139 329 BETAB=BIG
140 DEN=S-U*SO-(U-ONE)*S
141 IF(DEN,NE,ZERO)BETA=P5*(SN-U*U*SO*(U-U-ONE)*S)/DEN
142 C D=AMAX1(P1,AMIN1(P5+BETA,H))*DNORM
143 D=AMAX1(P1,AMIN1(P5+BETA,H))*DNORM
144 LAMINC=.FALSE.
145 GO TO 325
146 D=DNORM
147 GO TO 329
148 300 D=DNORM
149 GO TO 329
150 303 FMAX1(TWO,AMIN1(TEN,TWO*(S-SN)/RJD))
151 FMDMAX(TWO,UMIN1(TEN,TWO*(S-SN)/RJD))
152 D=DNORM/F

```

ISN	ST-NO	SOURCE PROGRAM (NS03A)
133		GO TO 325
134	C320	D=DMIN1(D*TWO, SQR((ONE-SIG)/(ONE-RAT(IJ)*DNORM))
135	320	D=DMIN1(D*TWO,D*SQRT((ONE-SIG)/(ONE-RAT(IJ)*DNORM))
		REDIFF=.FALSE.
136	C325	LAMDA=AMAX1(LAMDA+(ONE-DNORM/D)*DD/DO+ZERO)
137	325	LAMDA=MAX1(LAMDA+(ONE-DNORM/D)*DD/DO+ZERO)
138	329	UPDATE=SN.LE.S*TWO
139		IF(SN,LE,S) GO TO 335
140		IF(CHMAX,EQ,ZERO) GO TO 110
141	331	DO 331 I=1,N
142		W(ND+I)=X(I)-W(ND+I)
143	332	DO 332 J=1,M
144		W(NB+J)=W(NB+J)-W(NF+J)
145		SO=SN
		GO TO 355
146		C STORE NEW ITERATE
147	335	DO 340 I=1,N
148		G=W(ND+I)-X(I)
149	340	X(I)=W(ND+I)
150		W(ND+I)=G
151		CHANGE=.TRUE.
152	350	DO 350 I=1,M
153		G=W(NF+I)-W(NB+I)
154		W(NP+I)=W(NB+I)
155		W(NR+I)=W(NNR+I)
156	350	W(NB+I)=G
157		SO=S
158		S=SN
159	355	IF(CHMAX,EQ,ZERO) GO TO 160
160		IF(CLAMIN) GO TO 160
161		IF(REDIFF) GO TO 155
162		IF(.NOT.UPDATE) GO TO 160
163		C CORRECT THE JACOBIAN
164	360	CALL MC09A(M,N,W(NPHI+1),W(ND+1)+W(NB+1)*,FALSE,,IRN,IP)
165		DO 360 I=1,M
166		W(NDC+I)=ZERO
167	360	DO 380 J=1,N
168		K1=IP(J)
169		K2=IP(J+1)-1
170		IF(K2.LT.K1) GO TO 380
171	370	DO 370 K=K1,K2
172	380	I=IRNK()
173		W(NDC+I)=W(NDC+I)+W(ND+J)**2
174		CONTINUE
175		DO 400 J=1,N
176		K1=IP(J)
177		K2=IP(J+1)-1
178		IF(K2.LT.K1) GO TO 400
179	390	DO 390 K=K1,K2
180		I=IRNK()
181	400	IF(W(NDC+I).GT.ZERO) W(NPHI+K)=W(NPHI+K)+W(NB+I)*W(ND+J)/W(NDC+I)
		CONTINUE
		GO TO 160
182		C
183	700	RETURNS
184		WRITE(LP,710)
185	710	FORMAT('+ERROR RETURN FROM NS03 BECAUSE')
186		GO TO 750
187	720	WRITE(LP,725)
188		NFUN=MAXFUN+1
189	725	FORMAT('//32X,* MORE THAN MAXFUN CALLS OF FUNC NEEDED')
190		GO TO 700
191	740	WRITE(LP,740)
192	745	FORMAT('//32X,* WORKSPACE W IS TOO SMALL')
193		GO TO 700
194	C750	W(IW)=AMAX1(W(IW),NS+IW-NC+ONE)
195	750	W(IW)=DMAX1(W(IW),NS+IW-NC+ONE)
196		W(IW-1)=NFUN
197		ADJUST=.TRUE.
198		IF(IPRNTV,NE,1,.OR.,NFUN.EQ.0,.OR.,IPRINT,NE,0)RETURN
199		WRITE(LP,1650)(1,NFUN,LAMDA+S*XNORM+DNORM)
200		IF(IPRINT,GT,0)RETURN
201		WRITE(LP,170)(1,X(I),I=1,N)
202		WRITE(LP,175)(1,W(NR+I),I=1,M)
203		RETURN
204		C ENTRY NS03F (I,X)
205		IF(NFUN,GT,0,AND.,NFUN,NE,MAXFUN+1) GO TO 770
206	760	FORMAT(' CALL TO NS03F DOES NOT FOLLOW A SUCCESSFUL NS03A CALL')
207		RETURN
208	770	IF(LAMDA,EQ,ZERO) GO TO 780
209		LAMDA=ZERO
210	780	CALL NS03G (W(NPHI+1),A,LAMDA+W(NB+1))
211	790	DO 790 J=1,N
212		X(J)=ZERO
213		X(I)=ONE
214		CALL NS03G (X)
		RETURN
		END

ISN ST-NO SOURCE PROGRAM

```

1      SUBROUTINE TD02A (M,N,IRN,IP,WUNC,H,X,Y,F,HMAX,A,[G,W,Z]
2      IMPLICIT DOUBLE PRECISION (A=H,O=Z)
3      COMMON/TD02D /UMIN,UAM,UUMAX,EPS,EP51,LP,ADJUST
4      INTEGER IRN(1),IP(1),[G(1)
5      REAL HMAX(1),[C(1),Z(1),TRUNC,ROUND,HH
6      DIMENSION X(N),F(M),A(1),Y(1),W(1)
7      LOGICAL REPEAT,ADJUST
8      C      DATA ZERO/0.,/ONE/1./
9      C      DATA ZERO/0.0/,[ONE/1.0/
10     C      IG(J) POINTS TO THE FIRST ENTRY OF GROUP J
11     NFUN=0
12     N1=N+1
13     C      [G(N1+J),J=1,2,..., ARE COLUMN NUMBERS FOR GROUP 1 THEN GROUP 2 ETC
14     C      IF([G(1)],NE.0)GO TO 70
15     C      ICC=1
16     DO 10 J=1,N
17     C      IG(J+1)=0
18     C      W(M+J)=ZERO
19     C      W(M+J) IS ZERO IF COLUMN J HAS NOT BEEN INCLUDED IN A GROUP YET
20     DO 60 NC=1,N1
21     C      IG(NC)=ICC
22     DO 20 I=1,M
23     C      W(I)=ZERO
24     C      W(I),I=1,M HOLDS THE BOOLEAN PATTERN OF THE UNION OF THE COLUMNS
25     C      SO FAR INCLUDED IN GROUP NC
26     DO 50 J=1,N
27     C      IF(W(M+J),NE.ZERO)GO TO 50
28     K1=IP(CJ)
29     K2=IP(CJ+1)-1
30     IF(K2,LT,K1)GO TO 50
31     DO 30 K=K1,K2
32     C      IF(W(IRNK)),NE.ZERO)GO TO 50
33     CONTINUE
34     C      ACCEPT COLUMN
35     DO 40 K=K1,K2
36     C      W(IRNK)=ONE
37     C      IG(N1+ICC)=J
38     C      ICC=ICC+1
39     C      W(M+J)=ONE
40     CONTINUE
41     C      IF(ICC,[G(NC))GO TO 70
42     C      PRESERVE X IN W(M+1),...,W(M+N). CHECK ALL H(J)
43     DO 82 J=1,N
44     C      HH=-HMAX(1)
45     IF(HM,LT,0.)HM=HMAX(J)
46     C      XJ=ABS(XCJ))
47     C      IF(ADJUST)H(J)=(XJ+A MAX1(EPS*XJ,AMIN1(H(J),HM)+EPS1*HM))-XJ
48     C      XJ=DABS(XCJ))
49     C      IF(ADJUST)H(J)=(XJ+D MAX1(EPS*XJ,DBLE(AMIN1(H(J),HM))+EPS1*HM))-XJ
50     Z(J)=X(J)
51     C      Z(J) HOLDS MAXIMUM OF ESTIMATED RATIO OF TRUNCATION ERROR TO
52     C      ROUND OFF ERROR IN COLUMN J,J=1,2,...,N
53     Z(J)=1.
54     C      FIND INITIAL APPROXIMATE DERIVATIVES
55     DO 105 NG=1,N
56     L1=[G(NG)
57     L2=[G(NG+1)-1
58     IF(L2,LT,L1)GO TO 110
59     DO 90 L=L1,L2
60     IF(H([G(L+N1)))90,90,93
61     CONTINUE
62     GO TO 105
63     DO 95 L=L1,L2
64     J=[G(L+N1)
65     H(J)=ABS(H(J))
66     X(J)=X(J)+H(J)
67     CALL FUNC(N,X,W,M,Y)
68     NFUN=NFUN+1
69     DO 100 L=L1,L2
70     J=[G(L+N1)
71     X(J)=X(J)-H(J)
72     K1=IP(CJ)
73     K2=IP(CJ+1)-1
74     IF(K2,LT,K1)GO TO 100
75     DO 98 K=K1,K2
76     I=IRNK()
77     A(K)=(W(C)-F(C))/H(J)
78     CONTINUE
79     DO 113 L=L1,L2
80     J=[G(N1+L)
81     X(J)=X(J)-H(J)
82     CALL FUNC(N,X,W,M,Y)
83     NFUN=NFUN+1
84     DO 110 L=L1,L2
85     J=[G(L+N1)
86     X(J)=X(J)-H(J)
87     K1=IP(CJ)
88     K2=IP(CJ+1)-1
89     IF(K2,LT,K1)GO TO 110
90     DO 123 K=K1,K2
91     I=IRNK()
92     DER=(F(C)-W(C))/H(J)
93     C      ROUND=EPS*(0.5*( ABS(W(C))+ABS(A(K)*H(J)+F(C))+AMAX1( ABS(A(K))
94     C      1, ABS(DER))*ABS(X(J))+H(J)))/H(J)
95     C      ROUND=EPS*(0.5*(DABS(W(C))+DABS(A(K)*H(J)+F(C))+D MAX1(DABS(A(K)
96     C      1,DABS(DER))*(DABS(X(J))+H(J)))/H(J)
97     A(K)=(A(K)+DER)/2
98     TRUNC=DER-A(K)
99     IF(ROUND,EQ.0.,)ROUND=1.
100    Z(J)=AMAX1(Z(J),ABS(TRUNC/ROUND))
101    CONTINUE
102    123

```

ISN	ST-NO	SOURCE PROGRAM (TD02A)
98	130	CONTINUE
99	133	CONTINUE
	C	FIND IMPROVED STEPS AND DECIDE WHETHER SWEEP IS NEEDED
100	135	REPLATE=.FALSE.
101	DO 160 J=1,N	
102	IF(H(J)),LT,0.)GO TO 160	
103	H(J)=H(J)	
	C	XJ=ABSC(X(J))
104	XJ=DABS(X(J))	
105	HM=HMAX(1)	
106	IF(HM.LT.0)HM=HMAX(J)	
107	IF(Z(J),LT,UMIN)GO TO 140	
	C	H(J)=(AMAX1(H(J))* SORT(UAIM/Z(J)), EPS*XJ,EPS1*HM)+XJ-XJ
108	H(J)=(DMA1(H(J))*DSORT(UAIM/Z(J)), EPS*XJ,EPS1*HM)+XJ-XJ	
109	IF(Z(J),GT,UMAX)GO TO 150	
110	H(J)=H(J)	
111	GO TO 160	
	C140	H(J)=(AMIN1(SORT(UAIM/Z(J))*H(J),HM)+XJ)-XJ
112	C150	IF(ABS(H(J)/H(J)-1),LE,0.001)GO TO 138
113	140	H(J)=(DMIN1(DSORT(UAIM/Z(J))*H(J),DBLE(HM))+XJ)-XJ
114	150	IF(DABS(H(J)/H(J)-1),LE,0.01D0)GO TO 138
	REPEAT=.TRUE.	
115	160	CONTINUE
116	IF(REPEAT)GO TO 83	
117	DO 170 J=1,N	
118	H(J)= ABS(H(J))	
119	W(I)=NFUN	
120	W(C2)=NC-1	
121	RETURN	
122	ENTRY TD02B(M,N+IRN+IP+QUNC,H,X+Y,F+W+IA)	
123	K*1	
124	DO 200 J=1,N	
125	XJ*X(J)	
126	X(J)=XJ+H(J)	
127	CALL FUNC(N,X,W,M,Y)	
128	X(J)=XJ	
129	IP(J)=K	
130	DO 200 I=1,M	
131	IF(W(I),EQ,F(I))GO TO 200	
132	IF(K.GT,IA)GO TO 223	
133	[RN(K)]=	
134	K=K+1	
135	200	CONTINUE
136	220	IP(N+1)=K
137	RETURN	
138	223	WRITE(LP,226)
139	226	FORMAT('!ERROR RETURN FROM TD02 BECAUSE IA IS TOO SMALL!')
140	IP(I)=-1	
141	RETURN	
142	ENTRY TD02C(N+IRN+IP+IA,MBD)	
143	K=1	
144	DO 230 I=1,N	
145	J1=MAX0(I,-MBD+1)	
146	J2=MIN0(N,I+MBD-1)	
147	IP(I)=K	
148	DO 230 J=J1,J2	
149	IF(K.GT,IA)GO TO 223	
150	[RN(K)]=J	
151	230	K=K+1
152	GO TO 220	
153	END	

```

1      SUBROUTINE NS03C (M,N,IRN,IP,IPNA,IPA,W,IN,IW,NS)
2      IMPLICIT DOUBLE PRECISION (A=0,O=2)
3      INTEGER IN(1),IRN(1),IPA(1),TRNA(1),IP(1)
4      REAL#4 W(1),PH(1),A(1),LAMDA,Y(1),R(1),D(1),S(1),V(1)
5      DOUBLE PRECISION
6      DATA LENINT/2/,LENRL/4/,EPS/1E-6/,ZERO/GEO/.ONE/1E0/
7      DATA LENINT/2/,LENRL/4/,EPS/1D-14/,ZERO/ODD/.ONE/1D0/
8      COMMON /NS03C/RMO,SIG+FAC,FAIM,LP
9      C THIS ENTRY PERFORMS PRELIMINARY WORK IN ANTICIPATION OF THE
10     C SOLUTION OF A SEQUENCE OF LINEARIZED PROBLEMS. W IS A WORKSPACE OF
11     C DIMENSION IW AND HAS IMPLICITLY BEEN EQUIVALENCED TO IN. FOLLOWING
12     C THIS ENTRY W(NS)....,W(IW) IS REGARDED AS PRIVATE WORKSPACE FOR
13     C NS03D/EVF. FAILURE (BECAUSE OF LACK OF STORAGE) IS INDICATED BY NS=-1
14     C AFTER A SUCCESSFUL ENTRY W(IW+2) IS SET TO INDICATE THE LEAST
15     C VALUE FOR IW.
16     C FIND THE SPARSITY PATTERN OF THE JACOBIAN MATRIX USING
17     C A LINKED LIST TO HOLD COLUMN NUMBERS AND ROW LINKS. IN(NP+I),I=1,M
18     C POINT TO ROW STARTS,
19     C      N1=N+1
20     C      IN=(IW*LENRL)/LENINT
21     C      N2=N1*2
22     C      N6=N1*6
23     C      NP=IN*M
24     C      IF(NP,LE,0) GO TO 740
25     C      L=-1
26     C      DO 10 I=1,M
27     C      IN(NP+I)=0
28     C      DO 50 J1=1,N
29     C      J=N1-J1
30     C      K1=IP(J)
31     C      K2=IP(J+1)-1
32     C      IF(K2,LT,K1) GO TO 30
33     C      DU 20 K=K1,K2
34     C      I=IRN(K)
35     C      L=L+2
36     C      IF(L,GE,NP) GO TO 740
37     C      IN(L)=J
38     C      IN(L+1)=IN(NP+I)
39     C      IN(NP+I)=L
40     C      IF(IPAC(I),EQ,0) GO TO 50
41     C      I=IRN(A)
42     C      IF((IN(NP+I),EQ,0) GO TO 35
43     C      IF((IN(IN(NP+I)),EQ,0) GO TO 40
44     C      L=L+2
45     C      IF(L,GE,NP) GO TO 740
46     C      IN(L)=J
47     C      IN(L+1)=IN(NP+I)
48     C      IN(NP+I)=L
49     C      CONTINUE
50     C      CONTINUE
51     C      USE A SIMILAR LINKED LIST STRUCTURE TO HOLD THE SPARSITY PATTERN
52     C OF THE UPPER-TRIANGULAR PART OF THE NORMAL MATRIX, EXCLUDING THE
53     C DIAGONAL.
54     C      NP=IN*N
55     C      LC=NP-1
56     C      DU 55 I=1,N
57     C      IN(NP+I)=0
58     C      DO 80 K=1,L+2
59     C      KJ=K
60     C      I=IN(KJ)
61     C      LI=IN(NP+I)
62     C      LL=NP+I-1
63     C      KJ=IN(KJ+1)
64     C      IF(KJ,LE,0) GO TO 80
65     C      IF(LI,LE,0) GO TO 73
66     C      IF((IN(LI))-(IN(KJ))>0,60,73
67     C      LL=LI
68     C      LI=IN(LI+1)
69     C      GO TO 65
70     C      IN(LL+1)=LC
71     C      IN(LC)=IN(KJ)
72     C      IN(LC+1)=LI
73     C      LL=LC
74     C      LC=LC+2
75     C      IF(LC>L)740,740,60
76     C      CONTINUE
77     C      LC=LC+2
78     C      JN=L+1+MAXD(M+1)*IN-LC+1
79     C      REORDER SPARSITY STRUCTURE TO FORM REQUIRED FOR MA17
80     C      KN=1
81     C      DO 95 I=1,N
82     C      IN(I)=KN
83     C      IN(N6+KN)=I
84     C      KN=KN+1
85     C      L=IN(NP+I)
86     C      IF(KN,GE,LC)GO TO 740
87     C      IF(L,LE,0)GO TO 95
88     C      IN(N6+KN)=IN(L)
89     C      KN=KN+1
90     C      L=IN(L+1)
91     C      GO TO 90
92     C      CONTINUE
93     C      IN(N1)=KN
94     C      L2=LENRL/LENINT+2
95     C      IA=(IN-N6)/L2
96     C      JN=MAXD(JN+N6+(KN+1)*L2)
97     C      NP=I*IA
98     C      IF((IA,LE,KN)GO TO 740
99     C      USE MA17A TO ANALYSE NORMAL MATRIX USING DUMMY MATRIX ELEMENTS.
100    C      DO 105 I=1,N
101    C      K1=IN(I)
102    C      K2=IN(I+1)
103    C      DO 100 K=K1,K2
104    C      W(NP+K)=ZERO
105    C      W(NP+K1)=ONE

```

```

ISN ST-NO SOURCE PROGRAM ( NS03C )
93      CALL MA17A (W(NP+1),IN(N6+1),IN,N,N1,IA)
94      IF(IN(N2),E0,-3) GO TO 740
95      C MOVE INTEGER ARRAYS TO END OF WORKSPACE,
96          KA=IN(N1)-1
97          JW=MAX0(JW,N6+KA*L2)
98          NS = IW-KA-((KA+N2)*LENINT)/LENRL-1
99          IF(NS,LE,0) GO TO 740
100         INRN=IN=KA
101         DO 107 I=1,KA
102             INC(INRN+I)=IN(N6+I)
103             INP=INRN-N2
104             DO 108 J=1,N2
105                 INC(INP+J)=IN(J)
106                 W(IW+2)=(JW*LENINT)/LENRL+1
107             RETURN
108             NS=-1
109             RETURN
110             C ENTRY NS03D (PHI,A,LAMDA,Y)
111             C FORM AND FACTORIZ LEAST SQUARES MATRIX, WORKSPACE Y HAS LENGTH M
112             EP=EPS
113             810 DO 820 I=1,M
114                 Y(I)=ZERO
115                 SSC=ZERO
116                 820 DO 930 J=1,N
117                     I=IN(NP+N1+J)
118                     KP1=IP(I)
119                     KP2=IP(I+1)-1
120                     DO 830 K=KP1,KP2
121                         Y(IRNK(K))=PHI(K)
122                         IF(IPA(1),E0,0) GO TO 850
123                         KA1=IPA(1)
124                         KA2=IPA(1+1)-1
125                         IF(KA2,LT,KA1) GO TO 850
126                         DO 840 K=KA1+KA2
127                             Y(IRNA(K))=Y(IRNA(K))+A(K)
128                             J1=IN(NP+I)
129                             J2=IN(NP+IN(NP+N1+I)+1)-1
130                             DO 890 KK=J1,J2
131                                 J=IN(NRN+KK)
132                                 PROD=ZERO
133                                 K1=IP(CJ)
134                                 K2=IP(CJ+1)-1
135                                 IF(K2,LT,K1) GO TO 870
136                                 DO 860 K=K1,K2
137                                 PROD=PROD+PHI(K)*Y(IRNK(K))
138                                 IF(IPA(1),E0,0) GO TO 890
139                                 K1=IPA(J)
140                                 K2=IPA(J+1)-1
141                                 IF(K2,LT,K1) GO TO 890
142                                 DO 880 K=K1,K2
143                                 PROD=PROD+A(K)*Y(IRNA(K))
144                                 W(NS+KK)=PROD
145                                 C SSC=AMAX1(SSC,W(NS+J1))
146                                 SSC=UMAX1(SSC,W(NS+J1))
147                                 IF(IRNK(K))=ZERO
148                                 900 IF(IPA(1),E0,0) GO TO 930
149                                 IF(KA2,LT,KA1) GO TO 930
150                                 DO 920 K=KA1+KA2
151                                 Y(IRNA(K))=ZERO
152                                 920 CONTINUE
153                                 C ADD MULTIPLE OF IDENTITY MATRIX
154                                 C SSC=AMAX1(SSC*EP ,LAMDA)
155                                 SSC=UMAX1(SSC*EP ,LAMDA)
156                                 DO 935 I=1,N
157                                     J=NS+IN(NP+I)
158                                     * (J=K1)*SSC
159                                     C FACTORIZE NORMAL MATRIX
160                                     CALL MA17C (W(NS+1),IN(NRN+1),IN(NP+1),N,N1)
161                                     J=IN(NP+2*N1)
162                                     IF(J,NE,4 ,AND, J,NE,5)RETURN
163                                     EP=EP*EP
164                                     WRITE(LP,940)
165                                     FORMAT(' MA17 ERROR IS BEING HANDLED BY NS03')
166                                     GO TO 810
167                                     C ENTRY NS03E (R,V,S,IPRINT,PRED,DD,DV,DG)
168                                     C SOLVE SYSTEM, ASSUMING FACTORIZATION KNOWN
169                                     DO 945 I=1,N
170                                     V(I)=ZERO
171                                     CALL MC09A (M,N,PHI,R,V,,TRUE,,IRN,IP)
172                                     IF(IPA(1),NE,0)CALL MC09A (M,N,A,R,V,,TRUE,,IRNA,IPA)
173                                     SS=SWRT(SS)
174                                     SS=DSQRT(SS)
175                                     WRITE(LP,960)SS
176                                     FORMAT(' THE NORM OF THE VECTOR V IS',1PE12.4)
177                                     IF(IPRINT,EQ,2)GO TO 968
178                                     WRITE(LP,965)(I+V(I),I=1,N)
179                                     FORMAT(' THE CURRENT VECTOR V IS',5(1PE16.8))
180                                     CALL MA17B (W(NS+1),IN(NRN+1),IN(NP+1),N,N1,S,1)
181                                     CALL MC02AS(S,V,DD,N)
182                                     CALL MC02AS(S,V,DV,N)
183                                     DO 969 I=1,N
184                                         V(I)=S(I)
185                                         CALL MA17B (W(NS+1),IN(NRN+1),IN(NP+1),N,N1,V,1)
186                                         CALL MC02AS(S,V,DG,N)
187                                         PRED=LAMDA*DD-DV
188                                         RETURN
189                                         C ENTRY NS036 (V)
190                                         CALL MA17B (W(NS+1),IN(NRN+1),IN(NP+1),N,N1,V,1)
191                                         RETURN
192                                         END

```

ISN	ST-NO	SOURCE PROGRAM
1		SUBROUTINE MA17A (A,IND,IW,N,NP,IA)
2		IMPLICIT DOUBLE PRECISION (A=H,D=Z)
3		INTEGER IND(1),IW(NP,6)
4		DIMENSION A(1),B(1)
5		COMMON/MA17D /LP
6	C	DATA ZERO/0./
7	C	DATA ZERO/0./DO/
8	C	MATRIX ELEMENTS ARE HELD IN A(K),K=1,2,...,KA.
9	C	ON ENTRY IND(K),K=1,KA HOLDS THE ROW NUMBER OF THE ELEMENT HELD IN
10	C	A(K). IN THE MAIN BODY OF THE SUBROUTINE IND(K),IND(K+1) HOLD THE
11	C	ADDRESS OF THE NEXT ELEMENT IN THE ROW/COLUMN IF THERE IS ONE AND
12	C	FOR THE LAST ELEMENT IN THE ROW/COLUMN HOLD CIA+. THE ROW/COLUMN
13	C	NUMBER. FINALLY IND(K) IS RESET TO THE ROW NUMBER OF THE ELEMENT
14	C	HELD IN A(K).
15	C	ON ENTRY AND ON EXIT IW(I,1) CONTAINS THE ADDRESS OF THE FIRST
16	C	ELEMENT OF COLUMN I AND IW(N+1,1) CONTAINS THE ADDRESS OF THE FIRST
17	C	UNUSED ELEMENT IN A. ON EXIT IW(I,2) HOLDS THE COLUMN NUMBERS IN
18	C	UNSUCCESSFUL ENTRY IW(N+1,2)=-(ERROR NUMBER). IN THE MAIN BODY OF THE
19	C	SUBROUTINE IW(I,1),IW(I,2) HOLD THE ADDRESS OF THE FIRST ELEMENT OF
20	C	C THE I TH ROW/COLUMN.
21	I	KAI=W(N+1)-1
22	C	IW(I,3) HOLDS THE POSITION IN THE ORDERING BY NUMBER OF
23	C	C NON-ZEROS OF THE LAST ROW/COLUMN TO HAVE LESS THAN I NON-ZERO
24	C	C ELEMENTS OR ZERO IF NONE HAVE LESS THAN I NON-ZERO ELEMENTS.
25	C	ON EXIT IW(I,3) HOLDS THE POSITION OF THE I TH ROW IN THE PIVOTAL
26	C	C PIVOTAL ORDER AFTER A SUCCESSFUL ENTRY IW(N+1,2)=N+1 AND AFTER AN
27	C	C ORDERING.
28	C	IW(I,4) HOLDS THE NUMBER OF NON-ZEROS IN THE I TH ROW/COLUMN.
29	C	IW(I,5) HOLDS THE POSITION OF THE I TH ROW/COLUMN
30	C	C IN THE ORDERING BY NUMBER OF NON-ZEROS.
31	C	IW(I,6) HOLDS ROW/COLUMN NUMBERS IN PIVOTAL ORDER FOR
32	C	C I.LT,IP AND IN ORDER OF INCREASING NUMBERS OF NON-ZEROS OTHERWISE.
33	N	N1=N+1
34	DO	10 I=1,N1
35	IW	IW(I,2)=IW(I,1)
36	IW	IW(I,6)=I
37	DO	10 J=3,5
38	IW	IW(I,J)=0
39	C	SET ROW AND COLUMN LINKS. FIND FIRST ELEMENTS
40	C	C OF THE ROWS AND COUNT THE NUMBER OF NON-ZEROS IN THE ROWS.
41	DO	30 J=1,N
42	C	TEMPORARILY WE USE IW(I,5) TO HOLD THE ADDRESS OF THE LAST NON-
43	C	C ZERO ENCOUNTERED IN THE I TH ROW.
44	K1	K1=IW(J,2)
45	K2	K2=IW(J+1,2)-1
46	C	CHECK THAT ALL DIAGONAL ELEMENTS ARE PRESENT.
47	IF	IF(IND(K1),NE,J)GO TO 600
48	IL	IL=0
49	DO	20 K=K1,K2
50	I	I=IND(K)
51	IF	IF(I,LE,IL)GO TO 520
52	IL	IL=I
53	IW	IW(I,4)=IW(I,4)+1
54	IF	IF(I,NE,J)IW(J,4)=IW(J,4)+1
55	IND	IND(K)>I+1A
56	IND	IND(K+1A)=C+1
57	KL	KL=IW(I,5)
58	IF	IF(KL,LE,0)IW(I,1)=K
59	IF	IF(KL,GT,0)IND(KL)=K
60	IW	IW(I,5)=K
61	IND	IND(K2+1A)=IA+J
62	C	C SET UP THOSE VECTORS IN IW ASSOCIATED WITH ORDERING BY NUMBERS
63	C	C OF NON-ZEROS.
64	CALL	CALL KB10AS(IW(1,4),IW(1,6),N)
65	DO	110 I=1,N
66	J	J=IW(I,6)
67	IW	IW(J,5)=I
68	NZ	NZ=IW(J,4)
69	IW	IW(NZ+1,3)=I
70	J	J=0
71	DO	130 I=1,N
72	IF	IF(IW(I,3),EQ,0)IW(I,3)=J
73	J	J=IW(I,3)
74	C	C NOW PERFORM THE MAIN ELIMINATION.
75	DO	298 IP=1,N
76	JP	JP=IW(IP,6)
77	C	JP IS THE PIVOTAL ROW/COLUMN NUMBER.
78	KP	KP=IW(JP,2)
79	C	KP IS THE ADDRESS OF THE PIVOT.
80	C	C MOVE THE PIVOTAL ROW/COL TO FRONT AND REPLACE ROW LINKS BY ROW
81	C	C NUMBERS.
82	K	K=IW(JP,1)
83	C	K IS USED TO SCAN THE PIVOTAL ROW/COLUMN.
84	LL	LL=1
85	C	LL=1,2 ACCORDING AS THE ROW/COLUMN LINKS ARE NEEDED TO SCAN THE
86	C	C PIVOTAL ROW.
87	140	MWK
88	LIA	LIA=IA*(2-LL)
89	M	M=IND(M+1A)
90	IF	IF(M,LE,IA)GO TO 142
91	L	L=M-IA
92	IF	IF(CL,EQ,JP)LL=2
93	C	C ON THE REMOVAL OF THE ELEMENT A(CL,JP) THE FOLLOWING
94	C	C INSTRUCTIONS ARE USED TO UPDATE THE NUMBERS OF ELEMENTS IN THE
95	C	C CORRESPONDING ROW AND COLUMN AND MAKE CONSEQUENT CHANGES TO THE
96	C	C ORDERING BY NUMBER OF NON-ZEROS.
97	IHL	IHL
98	DO	144 LM=1,2
99	NZ	NZ=IW(IHL,4)-1
100	IW	IW(IHL,4)=NZ
101	JPOS	JPOS=IW(NZ+1,3)+1
102	IPOS	IPOS=IW(IHL,5)
103	IF	IF(IPOS,EW,JPOS)GO TO 143
104	JR	JR=IW(JPOS,6)
105	JJ	JJ=IW(IPOS,6)
106	IW	IW(IPOS,6)=IW(JPOS,6)
107	IW	IW(JPOS,6)=JJ
108	JJ	JJ=IW(IHL,5)
109	IW	IW(IHL,5)=IW(JR,5)
110	IW	IW(JR,5)=JJ
111	IW	IW(NZ+1,3)=JPOS
112	143	143

```

ISN ST-NO SOURCE PROGRAM ( MA17A )

68      IF(L.EQ.JP) GO TO 157
69      144  IR=JP
C      NOW MAKE LINKS SKIP OVER PIVOTAL ROW/COLUMN.
70      KN=IW(L,3-LI)
71      IF(KN.NE.K) GO TO 150
72      IW(L,3-LI)=IND(K+LI)
73      GO TO 155
74      150  KL=KN
75      KN=IND(KL+LI)
76      IF(KN.NE.K) GO TO 150
77      IND(KL+LI)=IND(K+LI)
78      155  IND(K+LI)=IND(K+IA-LI)
79      157  IND(K)=L
80      K=IND(K+IA)
81      IF(K.LE.IA) GO TO 140
C      C      NOW LOOK FOR FILL-IN.
82      K=IW(JP,1)
83      194  L=IND(K)
84      IF(L.EQ.JP) GO TO 290
85      KL=IW(JP,1)
86      KL=IW(L,1)
87      196  JI=IND(K1)
88      IF(JI.EQ.JP) GO TO 280
89      199  M=KL
90      200  M=IND(M+IA)
91      IF(M.LE.IA) GO TO 200
92      JL=M+IA
93      IF(JI-JL).GT.210,280,270
C      C      CREATE A NEW NON-ZERO IN POSITION (L,JI)
94      210  KA=KA+1
95      IF(KA.GT.IA) GO TO 580
96      A(KA)=ZERO
97      IR=JI
98      IC=L
99      DO 250 LM=1,2
100     KM=IW(IC,LM)
101     KLAST=0
102     LI=IA-(LM-1)*IA
103     220  M=KM
104     225  M=IND(M+IA-LI)
105     IF(M.LE.IA) GO TO 225
106     IF(M-IA.GT.IR) GO TO 230
107     KLAST=KM
108     KM=IND(KM+IA)
109     IF(KM.LE.IA) GO TO 220
110     IND(KA-LI)=KM
111     IF(KLAST.NE.0) IND(KLAST+LI)=KA
112     IF(KLAST.EQ.0) IW(IC,LM)=KA
113     NZ=IW(IR,4)
114     IW(IN,4)=NZ+1
115     JPUS=IW(NZ+1,3)
116     JR=IW(JPOS,6)
117     IF(IK.EQ.JR) GO TO 240
118     IPOS=IW(IR,5)
119     JJ=IW(IPOS,6)
120     IW(IPOS,6)=IW(JPOS,6)
121     I=IPOS+6-JJ
122     JJ=IW(IR,5)
123     IW(IR,5)=IW(JR,5)
124     IW(JR,5)=JJ
125     240  IW(NZ+1,3)=JPOS-1
126     IR=IC
127     250  IC=JI
128     KL=KA
129     GO TO 280
130     270  KL=IND(KL)
131     IF(KL-IA).GT.199,199,290
132     K=IND(KI+IA)
133     IF(KI.LE.IA) GO TO 196
134     290  K=IND(K+IA)
135     IF(K.LE.IA) GO TO 194
136     298  CONTINUE
C      C      SCAN THE MATRIX SETTING UP ORDERING NUMBERS IN IND(I+IA) AND
C      C      POINTERS TO PIVOTS IN REORDERED MATRIX IN IW(I,4).
137     J=1
138     DO 340 I=1,N
139     IP=IW(I,6)
140     IW(IP,4)=J
141     K=IW(IP,1)
142     315  KN=IND(K+IA)
143     IND(K+IA)=J
144     J=J+1
145     K=KN
146     IF(K.LE.IA) GO TO 315
147     340  CONTINUE
148     IW(N1,4)=J
C      C      REORDER,
149     KA=J-1
150     DO 360 I=1,KA
151     IF(I.EQ.IW(IND(I+IA))) GO TO 360
152     AI=A(I)
153     II=IND(I)
154     J=I
155     350  K=IND(J+IA)
156     IND(J+IA)=J
157     A2=A(K)
158     I2=IND(K)
159     A(K)=A1
160     IND(K)=I1
161     A1=A2
162     I1=I2
163     JK
164     IF(K.NE.I) GO TO 350
165     360  CONTINUE
C      C      SET VECTORS IN PREPARATION FOR FACTOR AND OPERATE,
166     DO 370 I=1,N1
167     IW(I,1)=IW(I,4)
168     370  IW(I,2)=IW(I,6)
C

```

ISN ST-NO SOURCE PROGRAM (MA17A)

```

C REORDER THE COLUMN ELEMENTS INTO PIVOTAL ORDER.
169 DO 375 IP=1,N
170 IC=IW(IP,2)
171 K=IW(IC,1)
172 K1=k+1
173 K2=IW(IW(IP+1,2),1)-1
174 372 K=K+1
175 IF(K,GT,K2)GO TO 375
176 IF(IW(IND(K),5),GE,IW(IND(K-1),5))GO TO 372
177 AM=ACK)
178 ACK=A(K-1)
179 ACK-1)=AM
180 I=IND(K)
181 IND(K)=IND(K-1)
182 IND(K-1)=I
183 IF(K,NE,K1)K=K-2
184 GO TO 372
185 375 CONTINUE
C FACTOR ENTRY
186 ENTRY MA17C (A,IND,IW,N,NP)
187 N1=N+1
188 IF(IW(N1,2),EQ,-5, OR, IW(N1,2),EQ,-4)IW(N1,2)=N1
189 IF(IW(N1,2),NE,N1)GO TO 640
190 IFL=0
191 DO 410 IP=1,N
192 IR=IW(IP,2)
193 KP=IW(IR,1)
194 K2=IW(IW(IP+1,2),1)-1
195 IF(A(KP))377+560,378
196 377 IFL=IR
197 378 K1=KP+1
198 IF(K1,GT,K2)GO TO 410
199 DO 400 K=K1,K2
200 AL=ACK)/ACK(P)
201 JC=IND(K)
202 L=IW(IC,1)-1
203 DO 390 M=K,L
204 380 L=L+1
205 IF(IND(M),NE,IND(L))GO TO 380
206 390 ACK)=AL
207 400 ACK)=AL
208 CONTINUE
209 410 IF(IFL,GT,0)GO TO 620
210 RETURN
C OPERATE ENTRY
211 ENTRY MA17B (A,IND,IW,N,NP,B,MTYPE)
212 N1=N+1
213 IF(IW(N1,2),NE,N1,AND, IW(N1,2),NE,-5)GO TO 640
C FORWARD SUBSTITUTION.
214 DO 420 IP=1,N
215 IC=IW(IP,2)
216 KP=IW(IC,1)
217 K1=KP+1
218 K2=IW(IW(IP+1,2),1)-1
219 IF(MTYPE,EQ,2)GO TO 417
220 IF(K1,GT,K2)GO TO 416
221 DO 412 K=K1,K2
222 IR=IND(K)
223 415 B(IR)=B(IR)-ACK)*B(IC)
224 416 B(IC)=B(IC)/ACK)
225 GO TO 420
226 417 IF(K1,GT,K2)GO TO 419
227 DO 418 K=K1,K2
228 418 B(IC)=B(IC)+ACK)*B(IND(K))
229 419 B(IC)=B(IC)*ACK)
230 420 CONTINUE
C BACKWARD SUBSTITUTION
231 DO 430 II=1,N
232 IP=1+N-1
233 IR=IW(IP,2)
234 K1=IW(IR,1)+1
235 K2=IW(IW(IP+1,2),1)-1
236 IF(K1,GT,K2)GO TO 430
237 IF(MTYPE,EQ,2)GO TO 427
238 DO 425 K=K1,K2
239 425 B(IR)=B(IR)-ACK)*B(IND(K))
240 GO TO 430
241 427 DO 428 K=K1,K2
242 JC=IND(K)
243 428 B(IC)=B(IC)+ACK)*B(IR)
244 430 CONTINUE
245 IF(IW(N1,2),EQ,-5)GO TO 660
246 RETURN
C THE FOLLOWING INSTRUCTIONS IMPLEMENT THE FAILURE EXITS.
247 500 WRITE(CL,P,510)
248 510 FORMAT(//,ERROR RETURN FROM MA17 BECAUSE:,)
249 RETURN
250 520 WRITE(CL,P,530)K
251 IW(N1,2)=1
252 GO TU 500
253 530 FORMAT(//32X,'THE ELEMENT HELD IN A',I5,', IS OUT OF ORDER')
254 560 WRITE(CL,P,570)IR
255 570 FORMAT(//32X,'ZERO PIVOT FOUND IN ROW',I5)
256 IW(N1,2)=-4
257 GO TU 500
258 580 WRITE(CL,P,590)IP
259 590 FORMAT(//32X,'IA IS TOO SMALL, SPACE RAN OUT WHEN ELIMINATING'
1,'ON PIVOT',I5)
260 IW(N1,2)=-3
261 GO TU 500
262 600 WRITE(CL,P,610)J
263 610 FORMAT(//32X,'THE',I5,'TH DIAGONAL ELEMENT IS NOT PRESENT')
264 IW(N1,2)=-2
265 620 WRITE(CL,P,630)
266 630 FORMAT(//32X,'RESULTS MAY BE UNRELIABLE SINCE THERE IS A NEGATIVE'
1'PIVOT')
267 635 WRITE(CL,P,635)IFL
268 635 FORMAT(//,90X,'IN ROW',I5)
269 IW(N1,2)=-5

```

ISN	ST-NO	SOURCE PROGRAM (MA17A)
270		GO TO 500
271	640	WRITE(LP,650)
272	650	FORMAT(//32X,'PREVIOUS ENTRY GAVE ERROR RETURN')
273		GO TO 500
274	660	WRITE(LP,630)
275		GO TO 500
276		END

ISN	ST-NO	SOURCE PROGRAM
1		SUBROUTINE MC02AS(A,B,S,N)
2		[IMPLICIT DOUBLE PRECISION (A=H,O=Z)]
3		DIMENSION A(N),B(N)
4		S=0.0
5		DO 1 I=1,N
6		1 S=S+A(I)*B(I)
7		RETURN
8		END

ISN	ST-NO	SOURCE PROGRAM
1		SUBROUTINE MC09ALM,N,A*X*AX,TRANS,IRN,IP)
2		[IMPLICIT DOUBLE PRECISION (A=H,O=Z)]
3		INTEGER IRN(1),IP(1)
4		DIMENSION A(1),X(1),AX(1)
5		LOGICAL TRANS
6		K=M
7		IF(TRANS).NE.N
8		DO 50 J=1,N
9		K1=IP(J)
10		K2=IP(J+1)-1
11		IF(K1.GT.K2) GO TO 50
12		IF(TRANS).NE.2 GO TO 20
13		DO 10 K=K1,K2
14		I=IRN(K)
15	10	AX(I)=AX(I)+A(K)*X(J)
16		GO TO 50
17	20	DO 30 K=K1,K2
18		I=IRN(K)
19	30	AX(J)=AX(J)+A(K)*X(I)
20	50	CONTINUE
21		RETURN
22		END

ISN	ST-NO	SOURCE PROGRAM
1		SUBROUTINE KB10AS(ITAB,INDX,N)
2		DIMENSION ITAB(1),INDX(1)
3		DO 1 I=1,N
4		DO 2 J=1,N
5		IF(ITAB(INDX(I)).LE.ITAB(INDX(J))) GO TO 2
6		J1=INDX(J)
7		INDX(J)=INDX(I)
8		INDX(I)=J1
9	2	CONTINUE
10	1	CONTINUE
11		RETURN
12		END

ISN	ST-NO	SOURCE PROGRAM
1		BLOCK DATA
2		[IMPLICIT DOUBLE PRECISION (A=H,O=Z)]
3		COMMON/TD02D/UMIN,UAM1,UMAX,EPS,EPS1,LP,ADJUST
4		COMMON/NS03E/RHO,SIG,HFAC,FAIM,LL
5		COMMON/ML17D/LM
6		LOGICAL ADJUST
7	C	DATA UMIN/10./, UAM1/100./, UMAX/1000./, EPS/ 1E-6/, DATA UMIN/1.,U1/, UAM1/1.D2/, UMAX/1.D3 /, EPS/1.D-14/, 1 LP/6/,EPS1/1D-14/,ADJUST/.TRUE./
8	C	1 LP/6/,EPS1/1D-14/,ADJUST/.TRUE./
9	C	DATA LL/6/,RHO/.25 /,SIG/.75 /,HFAC/.001/,FAIM/.25 /, DATA LL/6/,RHO/.25 D0/,SIG/.75 D0/,HFAC/1D-6/,FAIM/.25 D0/ DATA LM/6/
10		END

Appendix 3 FORTRAN List of Test Program for HMAX=0 of NS03A Subroutine

ISN	ST-NO	SOURCE PROGRAM
1		IMPLICIT DOUBLE PRECISION (A-H,O-Z)
2		DIMENSION X(4),A(8),V(4),W(500),HMAX(2),IP(6),IPA(6),IRN(14),*
3		IRNA(10)
4		M=2
5		N=2
6		MN=M+N
7		X(1)=0,
8		X(2)=1,
9		SAC=.000001
10		STPMIN=0.0
11		MAXFUN=100
12		IPRINT=-1
13		IW=500
14		HMAX(1)=0
15		CALL CLOCKM(IJJJ)
16		WRITE (6,202) IJJJ
17		DO 20 I=1,3
18		IP(I)=2*I-1
19	20	IPA(I)=0
20		DO 30 I=1,2
21		IRN(4)=I
22		IRN(I+2)=I
23		IRNA(I)=0
24	30	IRNA(I+2)=0
25		WRITE (6,1000) (IP(I),I=1,3)
26		WRITE (6,1000) (IRN(I),I=1,4)
27	1000	FORMAT (5X,20I5)
28		CALL CLOCKM(IJJJ)
29		WRITE (6,202) IJJJ
30		CALL NS03A (@UNC,M,N,X,SAC,STPMIN,MAXFUN,IPRINT,W,IW,
31		1,IRN,IP,A,IRNA,IPA,HMAX)
32		CALL CLOCKM(IJJJ)
33		WRITE (6,202) IJJJ
34		WRITE(6,100) (X(I),I=1,2)
35		DO 10 I=1,2
36		CALL NS03F(I,V)
37	10	WRITE(6,101) I,(V(J),J=1,2)
38		CALL CLOCKM(IJJJ)
39		WRITE (6,202) IJJJ
40	100	FORMAT (//' FINAL X',10X,1P2E20.5)
41	101	FORMAT (//' VARIANCE MATRIX OF COL.',I3,5X,1P2E20.5)
42	202	FORMAT (5X,'TIME',I10,'MSEC')
		STOP
		END

ISN	ST-NO	SOURCE PROGRAM
1		SUBROUTINE FUNC (N,X,F,M,D)
2		IMPLICIT DOUBLE PRECISION (A-H,O-Z)
3		DIMENSION X(N),F(M),D(1)
4		F(1)=10000.*X(1)*X(2)-1.
5		F(2)=EXP(-X(1))+EXP(-X(2))-1.0001
6		D(1) =10000.*X(2)
7		D(2) ==EXP(-X(1))
8		D(3) =10000.*X(1)
9		D(4) ==EXP(-X(2))
10		RETURN
11		END

Appendix 4 FORTRAN Lists of NONLIN Subroutine and its Test Program

ISN	ST-NO	SOURCE PROGRAM	SEQUENCE
		C SOLUTION OF SIMULTANEOUS NONLINEAR EQUATIONS WITHOUT REQUIRING DERIVATIVES BY KENNETH M. BROWN DEPARTMENT OF COMPUTER, INFORMATION, AND CONTROL SCIENCES INSTITUTE OF TECHNOLOGY 114 MAIN ENGINEERING UNIVERSITY OF MINNESOTA MINNEAPOLIS, MINNESOTA 55455 C SAMPLE CALLING PROGRAM 1 DIMENSION X(2) 2 X(1)=.4 3 X(2)=3. 4 CALL CLOCKM(IJJJ) 5 WRITE (6,202) IJJJ 6 CALL NONLIN(2,6,100,1,X,1,E-3) 7 CALL CLOCKM(IJJJ) 8 WRITE (6,202) IJJJ 9 202 FORMAT (5X,'TIME',I10,'MSEC') 10 STOP C END SAMPLE CALLING PROGRAM C IMPORTANT! THE USER MUST FURNISH A SUBROUTINE NAMED AUXFCN C WHICH CONTAINS THE FUNCTIONS WHOSE ZEROS ARE SOUGHT. C AUXFCN SHOULD RETURN THE VALUE OF THE K-TH FUNCTION C OF THE SYSTEM EVALUATED AT THE VECTOR X. C NOTE: FOR MAXIMUM EFFICIENCY ORDER YOUR FUNCTIONS IN C AUXFCN SO THAT THE LINEAR FUNCTIONS COME FIRST, C THEN THE FUNCTIONS BECOME PROGRESSIVELY MORE C NONLINEAR WITH THE "MOST NONLINEAR" FUNCTION COMING C LAST, 11 END	

ISN	ST-NO	SOURCE PROGRAM	SEQUENCE
		CSAMPLE AUXFCN FOLLOWS 1 SUBROUTINE AUXFCN(X,Y,K) 2 DIMENSION X(2) 3 GO TO (1,2),K 4 1 Y = (1,-.25/3,1415926536)*(EXP(2.*X(1))-2.718281828)+2.718281828* * X(2)/3.1415926536-2.*2.718281828*X(1) 5 RETURN 6 2 Y = .5*(SIN(X(1)*X(2))-.5*X(2)/3.1415926536+X(1)) 7 RETURN 8 END	

ISN	ST-NO	SOURCE PROGRAM	SEQUENCE
		1 SUBROUTINE NONLIN (N,NUMSIG,MAXIT,IPRINT,X,EPS) C THIS SUBROUTINE SOLVES A SYSTEM OF N SIMULTANEOUS NONLINEAR C EQUATIONS, THE METHOD USED IS AT LEAST QUADRATICALLY CONVERGENT AND C REQUIRES ONLY (N**2/2 + 3*N/2) FUNCTION EVALUATIONS PER ITERATIVE C STEP AS COMPARED WITH (N**2 + N) EVALUATIONS FOR NEWTON'S METHOD. C THIS RESULTS IN A SAVINGS OF COMPUTATIONAL EFFORT FOR SUFFICIENTLY C COMPLICATED FUNCTIONS. THE METHOD DOES NOT REQUIRE THE USER TO C FURNISH ANY DERIVATIVES. C REFERENCES: 1. K. M. BROWN, SOLUTION OF SIMULTANEOUS NONLINEAR EQUATIONS, COMM. OF THE ACM, VOL. 10, NO. 11, NOV., 1967, PP. 728-729. 2. K. M. BROWN, A QUADRATICALLY CONVERGENT NEWTON-LIKE METHOD BASED UPON GAUSSIAN ELIMINATION, SIAM J. ON NUMERICAL ANALYSIS, VOL. 6, NO. 4, DECEMBER, 1969, PP. 560-569. C INPUT PARAMETERS FOLLOW, C N = NUMBER OF EQUATIONS (= NUMBER OF UNKNOWNs), C NUMSIG = NUMBER OF SIGNIFICANT DIGITS DESIRED, C MAXIT = MAXIMUM NUMBER OF ITERATIONS TO BE ALLOWED, C IPRINT = OUTPUT OPTION, OUTPUT IF = 1; HOWEVER, FAILURE C INDICATIONS ARE ALWAYS OUTPUT : MAXIT EXCEEDED AND C SINGULAR JACOBIAN. C X = VECTOR OF INITIAL GUESSES, C EPS = CONVERGENCE CRITERION, ITERATION WILL BE TERMINATED IF C ABS(F(I)) < EPS, I=1,...,N, WHERE F(I) DENOTES THE C I-TH FUNCTION IN THE SYSTEM. C NOTE!! CONVERGENCE CRITERION IS CONSIDERED TO BE MET IF EITHER C THE NUMBER OF SIGNIFICANT DIGITS REQUESTED IS ACHIEVED C OR THE EPS CRITERION ON THE FUNCTION VALUES IS SATISFIED. C TO FORCE THE ITERATION TO BE TERMINATED BY ONE OF THE C CRITERIA, SIMPLY SET THE OTHER ONE TO BE VERY STRINGENT. C OUTPUT PARAMETERS FOLLOW, C MAXIT = NUMBER OF ITERATIONS USED, C X = SOLUTION OF THE SYSTEM (OR BEST APPROXIMATION THERETO). 2 REAL X(30),PART(30),TEMP(30),COE(30,31),RELCON,F, 1FACTOR,H,FPLUS,DERMAX,TEST 3 DIMENSION ISUB(30),LOOKUP(30,30) C FOR EXPOSITORY PURPOSES, COE AND LOOKUP ARE DIMENSIONED AT C 30 X 31 AND 30 X 30 RESPECTIVELY. CONSIDERABLE C STORAGE CAN BE SAVED AT THE EXPENSE OF MAKING THE C PROGRAM MORE DIFFICULT TO READ; IN FACT THE 930 LOCATIONS C FOR COE REDUCE TO 495 AND THE 900 LOCATIONS FOR LOOKUP C REDUCE TO JUST 30, A LISTING OF THIS CORE-WISE MORE C EFFICIENT VERSION OF THE ALGORITHM IS AVAILABLE FROM THE AUTHOR. C DELTA WILL BE A FUNCTION OF THE MACHINE AND THE PRECISION USED: C 4 DELTA=1.E-7 5 RELCON=10.E+0**(-NUMSIG) 6 JTEST = 1 7 IF(IPRINT .EQ. 1) PRINT 48 8 48 FORMAT (1H1) 9 DO 700 M = 1, MAXIT 10 JQUIT=0	

ISN	ST-NO	SOURCE PROGRAM	(NONLIN)	SEQUENCE
11		FMAX = 0.		
12		M1 = M-1		
13		IF (IPRINT,NE, 1) GO TO 9		
14		PRINT 49, M1, (X(I), I = 1,N)		
15	49	FORMAT(15.3E18,8 / (E23.8 +2E18, 8))		
16	9	DO 10 J = 1,N		
17	10	LOOKUP (1,J) = J		
C		THE ARRAY LOOKUP PERMITS A PARTIAL PIVOTING EFFECT WITHOUT HAVING TO PHYSICALLY INTERCHANGE ROWS OR COLUMNS.		
18		DO 500 K = 1,N		
19		IF (K-1) 134,134,131		
20	131	KMIN = K-1		
21		CALL BACK (KMIN,N,X,ISUB,COE,LOOKUP)		
C		SET UP PARTIAL DERIVATIVES OF KTH FUNCTION..		
22	134	CALL AUXFCN (X,F,K)		
23		FMAX = AMIN1 (FMAX,ABS(F))		
24		IF (ABS(F),GE, EPS) GO TO 1345		
25		IQUIT=IQUIT+1		
26		IF (IQUIT,NE, N) GO TO 1345		
27		GO TO 725		
28	1345	FACTOR=.001E+00		
29	135	ITALLY = 0		
30		DO 200 I = K,N		
31		ITEMP = LOOKUP (K,I)		
32		HOLD = X(ITEMP)		
33		PREC = 5,E-6		
C		PREC IS A FUNCTION OF THE MACHINE SIGNIFICANCE, SIG, AND SHOULD BE COMPUTED AS PREC=5.*10.**(-SIG+2), IN THIS INSTANCE WE WERE DEALING WITH AN 8 DIGIT MACHINE.		
34		ETA = FACTOR*ABS(HOLD)		
35		H = AMIN1 (FMAX,ETA)		
36		IF (H ,LT, PREC) H=PREC.		
37		X (ITEMP)=HOLD+H		
38		IF (K-1)141,161,151		
39	151	CALL BACK (KMIN,N,X,ISUB,COE,LOOKUP)		
40	161	CALL AUXFCN (X,FPLUS,K)		
41		PART (ITEMP) = (FPLUS-F)/H		
42		X (ITEMP) = HOLD		
43		IF (ABS(PART(ITEMP)) .LT. DELTA) GO TO 190		
44		IF (ABS(F/PART(ITEMP)) .LE, 1.E+15) GO TO 200		
45	190	ITALLY = ITALLY+1		
46	200	CONTINUE		
47		IF (ITALLY ,LE, N-K) GO TO 202		
48		FACTOR = FACTOR*10.0E+00		
49		IF (FACTOR ,GT, 11.) GO TO 775		
50		GO TO 135		
51	202	IF (K ,LT, N) GO TO 203		
52		IF (ABS(PART(ITEMP)) .LT. DELTA) GO TO 775		
53		COE (K,N+1) = 0.0E+00		
54		KMAX = ITEMp		
55		GO TO 500		
C		FIND PARTIAL DERIVATIVE OF LARGEST ABSOLUTE VALUE..		
56	203	KMAX = LOOKUP (K,K)		
57		DERMAX = ABS (PART(KMAX))		
58		KPLUS = K+1		
59		DO 210 I = KPLUS,N		
60		JSUB = LOOKUP (K,I)		
61		TEST = ABS (PART(JSUB))		
62		IF (TEST ,LT, DERMAX) GO TO 209		
63		DERMAX = TEST		
64		LOOKUP (KPLUS,I) = KMAX		
65		KMAX = JSUB		
66		GO TO 210		
67	209	LOOKUP (KPLUS,I) = JSUB		
68	210	CONTINUE		
69		IF (ABS(PART(KMAX)) ,EQ, 0.0) GO TO 775		
C		SET UP COEFFICIENTS FOR KTH ROW OF TRIANGULAR LINEAR SYSTEM USED TO BACK-SOLVE FOR THE FIRST K VALUES OF X(I)		
70		ISUB (K) = KMAX		
71		COE (K,N+1) = 0.0E+00		
72		DO 220 J = KPLUS,N		
73		JSUB = LOOKUP (KPLUS,J)		
74		COE (K,JSUB) = -PART (JSUB)/PART(KMAX)		
75		COE (K,N+1) = COE (K,N+1)+PART (JSUB)*X(JSUB)		
76	220	CONTINUE		
77	500	COE (K,N+1) = (COE (K,N+1)-F)/PART(KMAX)+X(KMAX)		
C		BACK SUBSTITUTE TO OBTAIN NEXT APPROXIMATION TO X;		
78		X (KMAX) = COE (N,N+1)		
79		IF (N ,EQ, 1) GO TO 610		
80		CALL BACK (N-1,N,X,ISUB,COE,LOOKUP)		
81	610	IF (M-1) 650,650,625		
C		TEST FOR CONVERGENCE..		
82	625	DO 630 I = 1,N		
83		IF (ABS(TEMP(I)-X(I)) .GT, ABS(X(I))*RELCOM) GO TO 649		
84	630	CONTINUE		
85		JTEST = JTEST+1		
86		IF (JTEST-3) 650,725,725		
87	649	JTEST = 1		
88	650	DO 660 I = 1,N		
89	660	TEMP (I) = X(I)		
90	700	CONTINUE		
91		PRINT 173		
92	173	FORMAT(' NO CONVERGENCE, MAXIMUM NUMBER OF ITERATIONS USED.')		
93		IF (IPRINT,NE, 1) GO TO 800		
94		PRINT 1763		
95	1763	FORMAT('FUNCTION VALUES AT THE LAST APPROXIMATION FOLLOW:')		
96		IFLAG=1		
97		GO TO 7777		
98	725	IF (IPRINT,NE, 1) GO TO 800		
99	7777	DO 750 K = 1,N		
100		CALL AUXFCN (X,PART(K),K)		
101	750	CONTINUE		
102		IF (IFLAG,NE, 1) GO TO 8777		
103		PRINT 7788,(PART(K),K=1,N)		

ISN	ST-NO	SOURCE PROGRAM	(NONLIN)	SEQUENCE
104		7788 FORMAT(3E20.8)		
105		GO TO 800		
106		8777 PRINT 751		
107		751 FORMAT(//', CONVERGENCE HAS BEEN ACHIEVED, THE FUNCTION VALUES')		
108		PRINT T515,(PART(K),K = 1,N)		
109		7515 FORMAT(' AT THE FINAL APPROXIMATION FOLLOW!//(3E20.8))		
110		GO TO 800		
111		775 PRINT 752		
112		752 FORMAT(//'MODIFIED JACOBIAN IS SINGULAR, TRY A DIFFERENT')		
113		PRINT 7525		
114		7525 FORMAT('INITIAL APPROXIMATION.')		
115		800 MAXIT=M1 + 1		
116		RETURN		
117		END		

ISN	ST-NO	SOURCE PROGRAM	SEQUENCE
1		SUBROUTINE BACK (KMIN,N,X,ISUB,COE,LOOKUP)	
	C	THIS SUBROUTINE BACK-SOLVES THE FIRST KMIN ROWS OF A TRIANGULARIZED	
	C	LINEAR SYSTEM FOR IMPROVED X VALUES IN TERMS PREVIOUS ONES,	
2		DIMENSION X(30),COE(30,31)	
3		DIMENSION ISUB(30),LOOKUP(30,30)	
4		DO 200 KK = 1,KMIN	
5		KM = KMIN-KK+2	
6		KMAX = ISUB (KM=1)	
7		X (KMAX) = 0.0E+00	
8		DO 100 J = KM,N	
9		JSUB = LOOKUP (KM,J)	
10		X (KMAX) = X (KMAX)+COE (KM=1,JSUB)*X (JSUB)	
11	100	CONTINUE	
12		X (KMAX)=X (KMAX)+COE (KM=1,N+1)	
13	200	CONTINUE	
14		RETURN	
15		END	

Appendix 5 FORTRAN Lists of INTECH Subroutine and its Test Program

ISN	ST-NO	SOURCE PROGRAM
1	C	<pre> EXAMPLE 1A REAL*8 Y(2),DY(2),F1(2),YL(2),SAVE(2+2),YLSV(2)+DEL, * YD(2),PWORK(2) 2 DIMENSION PW(2+2) 3 NEX=1 4 X(1)=-2.057 5 X(2)=-7.503 6 N=2 7 NL=0 8 DEL=0.001 9 NY=N-NL 10 NSEND=100 11 WRITE (6,1) NEX 12 1 FORMAT (' EXAMPLE NO.',15//) 13 CALL CLOCKM(IJJ) 14 WRITE (6,202) IJJ 15 CALL INTECH(Y,YL,DY,PW,DEL,F1,YD,SAVE,YLSV,PWORK, * N,NY,NL,NSEND) 16 CALL CLOCKM(IJJ) 17 WRITE (6,202) IJJ 18 202 FORMAT (5X,'TIME',10,'MSEC') 19 STOP 20 END </pre>

ISN	ST-NO	SOURCE PROGRAM
1		<pre> SUBROUTINE DIFFUN(DY,Y,YL,N,NY,NL) REAL*8 DY(N),Y(NY),YL(NL) DY(1)=4.+Y(1)*Y(2)-Y(1)*Y(1)+2.*Y(1)*Y(2)+Y(2)*Y(2) DY(2)=1.+2.*Y(1)+Y(2)*Y(1)+Y(1)*Y(2)+2.*Y(2)*Y(2) RETURN END </pre>

ISN	ST-NO	SOURCE PROGRAM
1		<pre> SUBROUTINE MATSET(PW,Y,YL,N,NY,NL) REAL*8 Y(NY),YL(NL) DIMENSION PW(N,N) PW(1,1)=1.-2.*Y(1)+2.*Y(2) PW(1,2)=1.-2.*Y(1)+6.*Y(2) PW(2,1)=2.+2.*Y(1)+Y(2) PW(2,2)=3.+Y(1)-..+Y(2) RETURN END </pre>

ISN	ST-NO	SOURCE PROGRAM
1		<pre> SUBROUTINE MINV(PW,DET,N,NY,F1,PWORK) REAL*8 F1(N),PWORK(N),DET DIMENSION PW(N,N) CALL MINV2S(PW,N,N,1,L=10,ILL) IF (ILL.EQ.0) RETURN *WRITE (6,20) ILL 20 FORMAT (5X,'FAILED IN MINV2S WITH ILL = ',I7) STOP END </pre>

ISN	ST-NO	SOURCE PROGRAM
1		<pre> SUBROUTINE MATMUL(PW,DY,F1,N) REAL*8 F1(N),DY(N),SUM DIMENSION PW(N,N) DO 50 J=1,N SUM=0 DO 40 K=1,N 40 SUM=SUM+P*(J+K)*DY(K) 50 F1(J)=SUM RETURN END </pre>

ISN	ST-NO	SOURCE PROGRAM
1		SUBROUTINE INTECH(Y,YL,DY,PW,DEL,F1,YD,SAVE,YLSV, * PWORK,N,NY,NL,NSEND)
2		REAL*8 DY(N),F1(N),Y(NY),YL(NL),YD(NY),SAVE(2,NY),YLSV(NL), * PWORK(N),DMAX1,DMIN1,DEL,ALPHA,H,R,DET,SS,S,HOLD,DD,D,HH
3		DIMENSION PW(N*N)
C		PARAMETER LIST Y VECTOR OF NONLINEAR VARIABLES (INPUT) YL VECTOR OF LINEAR VARIABLES (INPUT) DY VECTOR OF FUNCTION VALUES , CALCULATED BY THE SUBROUTINE DIFFUN PW JACOBIAN MATRIX CALCULATED BY SUBROUTINE MATSET OR THE INVERS JACOBIAN AFTER CALLING MINV DEL ERROR CRITERION , SUPPLIED BY CALLING PROGRAM F1 VECTOR EQUAL TO PRODUCT OF PW AND DY YD THE VECTOR OF CHANGES TO BE APPLIED TO VECTOR Y SAVE TWO ROW VECTOR USED TO STORE VALUES OF Y AND YD BEFORE NEXT ITERATION , IN CASE RE-START NEEDED YLSV VECTOR USED TO STORE VALUES OF YL BEFORE NEXT ITERATION , IN CASE RE-START NEEDED PWWORK USED ONLY FOR STORAGE SPACE WITHIN SUBROUTINE MINV N THE TOTAL NUMBER OF VARIABLES (INPUT) NY THE NUMBER OF NONLINEAR VARIABLES (INPUT) NL THE NUMBER OF LINEAR VARIABLES (INPUT) NSEND THE MAXIMUM NUMBER OF ITERATION DESIRED (INPUT)
C		INITIALIZED VARIABLES
4		NOFAIL=1
5		JACOB=0
6		R=1
7		NZ=N
8		NJ=NY*2
9		IF(NJ.LT.10) NJ=10
10		NJJ=NJ/2
11		ALPHA=0
12		H=1
13		NS=0
14		Nw=0
C		PRINT HEADING
C		WRITE (6,1) N,NL,DEL
15	1	FORMAT(X,' N =',14,' NL =',14,' DEL =',D10,2)
16		WRITE (6,2)
17	2	FORMAT(X,' NS NW ALPHA H,BX,ERROR ',6X, * 'YC(J) AND YL(J)'),/)
C		INITIAL EVALUATION OF FUNCTION (DY)
C		NS=NS+1
19		CALL DIFFUN (DY,Y,YL,N,NY,NL)
C		INITIAL EVALUATION OF JACOBIAN (PW)
21		CALL MATSET (PW,Y,YL,N,NY,NL)
C		INITIAL EVALUATION OF INVERSE JACOBIAN (PW)
22		Nw=Nw+1
23		CALL MINV(PW,DET,N,NZ,F1,PWORK)
C		PRODUCT PW*DY IN VECTOR F1
24		CALL MATMUL (PW,DY,F1,N)
C		NORM STORED IN SS FOR STARTING VALUES
25		SS=0
26		DO 3 J=1,N
27	3	SS=SS+DABS(DY(J))
C		PRINT RESULTS OBTAINED WITH STARTING VECTOR
C		WRITE (6,13) NS,Nw,ALPHA,H,SS,(YC(J),J=1,NY)
28		IF(NL.GT.0) WRITE(6,14) (YL(J),J=1,NL)
C		PREPARE FOR THE INITIAL PREDICTOR STEP FOR Y, DO THE INITIAL CORRECTOR STEP FOR YL
30		DO 4 J=1,NY
31	4	YC(J)=H*F1(J)
32		IF(NL.LE.0) GO TO 6
33		DO 5 J=1,NL
34	5	YL(J)=YL(J)-F1(J+NY)
35		6 CONTINUE
C		SAVE PRESENT VECTORS Y AND YL
36		DO 7 J=1,NY
37	7	SAVE(1,J)=YC(J)
38		SAVE(2,J)=YD(J)
39		IF(NL.LE.0) GO TO 9
40		DO 8 J=1,NL
41	8	YLSV(J)=YL(J)
42		9 CONTINUE
C		INDICATE NEWTON'S METHOD IS IN USE BY NEWTON = 1
43		NEWTON=1
C		BEGIN MAIN ITERATION LOOP BY COMPLETING THE PREDICTION OF Y
44	10	DO 11 J=1,NY
45	11	YC(J)=YC(J)+YD(J)
C		EVALUATE THE FUNCTION (DY)
46		NS=NS+1
47		CALL DIFFUN (DY,Y,YL,N,NY,NL)
C		CALCULATE THE VALUE OF THE NORM (S)
48		S=0

```

ISN ST-NO SOURCE PROGRAM (INTECH)

49      DO 12 J=1,N
50      S=S+DABS(DY(J))
C      PRINT RESULTS FOLLOWING PREDICTOR STEP + THEN RETURN IF
C      NORM IS LESS THAN OR EQUAL TO DEL
C
51      WRITE (6,13) NS,NW,ALPHA,H,S,(Y(J),J=1,NY)
52      13 FORMAT (5X,14,I3,F6.2,2D11.2,2D15.5/(10X,4D15.5))
53      IF(NL.GT.0) WRITE (6,14) (YL(J),J=1,NL)
54      14 FORMAT (10X,4D15.5)
55      IF(S.LE.DEL) RETURN
C      CALCULATE PRED (RATIO OF NORM / PREVIOUS NORM)
C
56      PRED=S/SS
C      BEGIN PROCESS OF DETERMINING VALUES OF ALPHA AND R (FACTOR
C      BY WHICH H WILL BE MULTIPLIED) FOR NEXT ITERATION
C
57      IF(NEWTON.EQ.1) GO TO 35
58      IF(PRED.LT.100) GO TO 15
59      IF(NOFAIL.EQ.1) GO TO 30
60      15 CONTINUE
61      IF(PRED.LT.,98) GO TO 16
62      ALPHA=1
63      RDMIN1(1,300.0,600/H)
64      GO TO 17
65      16 R=1.7D0-.65D0*M+.15D0/H
66      ALPHA=0.8*ALPHA
C      SAVE PRESENT VECTORS AND VALUE OF H BEFORE NEXT ITERATION
C
67      17 DO 18 J=1,NY
68      SAVE(1,J)=Y(J)
69      18 SAVE(2,J)=YD(J)
70      IF(NL.LE.0) GO TO 20
71      DO 19 J=1,NL
72      19 YLSV(J)=YL(J)
73      20 CONTINUE
    HOLD=H
C      DETERMINE WHETHER JACOBIAN SHOULD BE RE-EVALUATED
75      IF(SS.GE.1,DO) GO TO 21
76      IF(JACOB.LT.NJJ) GO TO 22
77      21 CONTINUE
78      JACOB=JACOB+1
79      IF(JACOB.GT.0) GO TO 23
C      EVALUATE THE JACOBIAN (PW)
C
80      22 CALL MATSET (PW,Y,YL,N,NY,NL)
81      NW=NW+1
C      EVALUATE THE INVERSE OF JACOBIAN (PW)
C
82      CALL MINV(PW,DET,N,NZ,F1,PWORK)
    JACOB=NJ
C      FORM VECTOR F1 + THE PRODUCT PW*DY + THEN DO THE
C      CORRECTOR STEP FOR Y
C
84      23 CALL MATMUL (PW,DY,F1,N)
85      IF(ALPHALT.0.01) GO TO 25
86      DD=1.0D/(1+H*ALPHA)
87      DO 24 J=1,NY
88      D=(F1(J)+H*DY(J))/DD
89      Y(J)=Y(J)-ALPHA*D
90      24 YD(J)=R*(YD(J)-D)
91      GO TO 27
92      25 HHH=H*R
93      DO 26 J=1,NY
94      26 YD(J)=HHH+F1(J)
95      27 CONTINUE
96      IF(NL.LE.0) GO TO 29
C      DO THE CORRECTOR STEP FOR THE LINEAR VARIABLES IN YL
C
97      DO 28 J=1,NL
98      28 YL(J)=YL(J)-F1(J+NY)
99      SS=S
100     H=R*R
101     NOFAIL=1
102     IF(NS.GE.NSEND) GO TO 37
C      END OF MAIN ITERATION LOOP
C
103     GO TO 10
104     30 CONTINUE
C      CHANGE ALPHA, R, AND H FOR THE CASE (PRED.GT.100 AND NOFAIL=1)
C
105     ALPHA=1.0
106     IF(JACOB.LT.NJJ) JACOB=0
107     R=MAX1(0.5D0*0,2D0/HOLD)
108     H=HOLD*R
C      PREVIOUS VECTORS RESTORED AND NOFAIL SET TO ZERO BEFORE
C      RE-STARTING LAST STEP , BECAUSE OF LARGE INCREASE IN ERROR
C
109     31 DO 32 J=1,NY
110     Y(J)=SAVE(1,J)
111     32 YD(J)=SAVE(2,J)*R
112     IF(NL.LE.0) GO TO 34
113     DO 33 J=1,NL
114     33 YL(J)=YLSV(J)
115     34 CONTINUE
116     NOFAIL=0
117     GO TO 10
118     35 CONTINUE
C      IF (NEWTON=1 AND PRED.LT.95) GO BACK TO DO THE NORMAL
C      CORRECTION PROCESS + REMAINING IN THE NEWTON METHOD
119     IF (PRED.LT.0.95) GO TO 17
C

```

ISN	ST-NO	SOURCE PROGRAM (INTECH)
		C BUT IF PRED.GE.0.95 PRINT A MESSAGE, CHANGE ALPHA, H, R, C NEWTON, JACOB, THEN GO TO RESTOR PREVIOUS VECTORS AND C AFTER VALUE OF NOFAIL BEFORE RE-STARTING LAST ITERATION C
120		WRITE (6,36) S*(Y(J),J=1,NY)
121	36	FORMAT (5X,'NEWTON FAILED',9X,D11.2,2D15.5/(10X,4D15,5))
122		IF(NL.GT.0) WRITE(6,14) (YL(J),J=1,NL)
123		H=.01
124		ALPHA=1
125		R=.01
126		JACOB=0
127		NEWTON=0
128		GO TO 31
129	37	CONTINUE
		C IF THE NUMBER OF FUNCTION EVALUATIONS HAS EXCEEDED NSEND, C PRINT THE VECTORS DY, Y, YL, AND F1, THEN RETURN
130		WRITE (6,38) (DY(J),J=1,N)
131	38	FORMAT (5X,'-DY',/(5X,'**',4D14,6))
132		WRITE (6,39) (Y(J),J=1,NY)
133	39	FORMAT (5X,'-Y',/(5X,'**',4D16,8))
134		WRITE (6,40) (J,F1(J),J=1,N)
135	40	FORMAT (5X,'-F1',/3(5X,16,'**',D14,6))
136		RETURN
137		END

Appendix 6 FORTRAN List of Test Program for PROJA Subroutine

ISN	ST-NO	SOURCE PROGRAM
1		REAL*4 JFX(4,4)
2		DIMENSION NDIM(4),NCOL(4,4),A(4,4),B(4),F(4),X(4)
3		5 READ (5,100,END=99) NMAX
4		CALL CLOCKM(IJJJ)
5		WRITE (6,202) IJJJ
6		CALL PROJA(NDIM,NCOL,A,B,F,JFX,X,NMAX)
7		CALL CLOCKM(IJJJ)
8		WRITE (6,202) IJJJ
9		GO TO 5
10	100	FORMAT (I10)
11	202	FORMAT (5X,'TIME',I10,'MSEC')
12		99 STOP
13		END

ISN	ST-NO	SOURCE PROGRAM
1		SUBROUTINE PFUNC(X,F,N)
2		DIMENSION X(4),F(4)
3		F(1)=X(1)*X(1)-X(2)+1.
4		F(2)=X(1)-COS(3,1415926536/2,*X(2))
5		RETURN
6		END

ISN	ST-NO	SOURCE PROGRAM
1		SUBROUTINE JCBN(JFX,X,N)
2		REAL*4 JFX(4,4)
3		DIMENSION X(4)
4		JFX(1,1)=2,*X(1)
5		JFX(1,2)--1,
6		JFX(2,1)=1,
7		JFX(2,2)=SIN(3,1415926536/2.*X(2))*3,1415926536/2,
8		RETURN
9		END